

[12]发明专利申请公开说明书

[21]申请号 95108968.4

[43]公开日 1996年3月27日

[51]Int.Cl⁶

H04N 1/64

[22]申请日 95.7.21

[74]专利代理机构 中国国际贸易促进委员会专利商标事务所

[30]优先权

代理人 范本国

[32]94.7.22 [33]JP[31]170699 / 94

[71]申请人 株式会社日立制作所

地址 日本东京

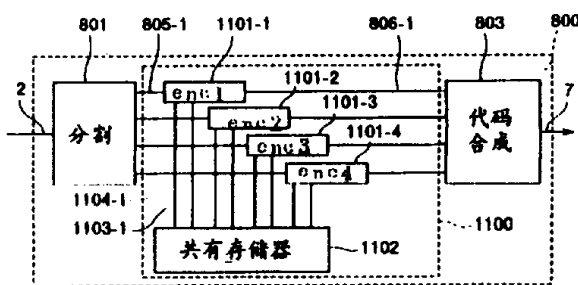
[72]发明人 木村淳一 木下泰三

权利要求书 4 页 说明书 57 页 附图页数 32 页

[54]发明名称 图像编码译码装置

[57]摘要

本发明为具有将画面分割并按各小区域进行编码或译码的分割图像电路的图像编码装置、图像译码装置或图像编码译码装置。上述装置包括将输入的图像分割为指定形状的小区域的图像分割电路、对分割的各小区域进行编码的小编码装置、将小区域的代码合成的代码合成电路和存储各编码装置局部译码后的图像的共有存储器电路。



权 利 要 求 书

1. 一种将输入图像分割为多个块、使用根据已编码的信号再生的图像生成分割的该块的预测图像，然后生成该输入图像与该预测图像的差分图像并对该差分图像进行编码的图像编码装置，其特征在于具有如下结构：

将输入图像分割为相互相邻的区域具有重叠区域的 N 个 ($N \geq 2$) 小图像的装置；

对上述各小图像分别进行上述预测图像生成、编码处理和图像的再生的 N 个编码处理部；

将由上述编码处理部再生的图像分配给相关连的其他编码处理部的共有信息处理部；

和将由 上述各编码处理部生成的代码串变换为小于 N 个的编码串的代码合成部。

2. 按权利要求 1 所述的图像编码装置，其特征在于：上述各编码处理部分别具有将由该编码处理部生成的代码量通知给其他编码处理部的装置，并根据其他编码处理部通知的上述代码量控制自己发生的代码量的控制装置。

3. 按权利要求 1 所述的图像编码装置，其特征在于：将具有隔行扫描结构的图像作为输入图像、采用切换按场单位进行动补偿的预测图像和按帧单位进行动补偿的预测图像的预测图像生成方法时，具有根据按场单位检测的动补偿矢量生成帧单位的动矢

量的装置。

4. 按权利要求1所述的图像编码装置，其特征在于：还具有输入2个时刻和该2个时刻之间发生的代码量的输入装置、计量在指定的时间内发生的代码量的计量装置和当由该计量装置计量的代码量与指定的代码量不一致时增加或减少代码量的代码增减装置。

5. 按权利要求1所述的图像编码装置，其特征在于：上述编码处理部具有输入画面内的权重系数的输入装置、根据该权重系数设定代码量在画面内的分配的设定装置和控制发生代码量以使成为设定的代码量的控制装置。

6. 一种对输入的代码进行译码、生成差分图像，利用由该输入代码另外指定的信息根据已译码的图像生成预测图像并将该差分图像与该预测图像进行加法运算生成新的译码图像的图像译码装置，其特征在于具有如下结构：

将输入代码分割成译码后的图像具有与相互相邻的区域重叠的区域的M个($M \geq 2$)的代码的装置；

对分割的代码进行上述预测图像生成和译码处理的M个译码处理部；

将由各译码处理部译码的图像传输给关联的译码处理部的共有译码信息处理部；

和将由各译码处理部译码后的图像合成为1个图像的图像合成部。

7. 按权利要求6所述的图像译码装置，其特征在于：上述译码处理部具有计算译码处理的步长量的计算装置，将得到的步长

量与标准的步长量进行比较的比较装置和当步长量不满足标准时使处理简化的简化处理装置。

8. 一种将输入图像分割为多个块、使用根据已编码的信号再生的图像生成分割的该块的预测图像、然后生成该输入图像与该预图像的差分图像，对该差分图像进行编码，并且对代码进行译码，生成差分图像、利用该输入代码另外指定的信息根据已译码的图像生成预测图像并将该差分图像与该预测图像进行加法运算生成新的译码图像的图像编码译码装置，其特征在于具有如下结构：

具有将输入图像分割为相互相邻的区域具有重叠区域的 N 个 ($N \geq 2$) 小图像的功能和对上述各小图像进行上述预测图像生成、编码处理和图像的再生的功能的 N 个处理装置；

将由上述处理装置再生的图像传输给关连的其他处理装置的共有信息处理部；

和将由 上述各处理装置生成的代码串变换为小于 N 个的代码串的代码合成部。

9. 一种将输入图像分割为多个块、使用根据已编码的信号再生的图像生成分割的该块的预测图像、然后生成该输入图像与该预测图像的差分图像，对该差分图像进行编码并且对代码进行译码生成差分图像、利用由该输入代码另外指定的信息根据已译码的图像生成预测图像并对该差分图像与该预测图像进行加法运算生成新的译码图像的图像编码译码装置，其特征在于具有如下结构：

具有将输入代码分割为译码时的图像具有与相互相邻的区域

重叠的区域的 M 个 ($M \geq 2$) 代码的功能和对分割的代码进行上述预测图像生成和译码处理的 M 个处理装置；

将由各处理装置译码后的图像传输给关连的处理装置的共有译码信息处理部；

和将由各处理装置译码后的图像合成为 1 个图像的图像合成部。

说 明 书

图像编码译码装置

本发明涉及图像编码装置或译码装置或者兼具两者功能的图像编码译码装置，特别是可以适用于数字广播或有线电视等的图像编码装置或图像接收终端装置以及图像存储装置中的实时编码输入装置、电视电话或电视会议等的图像通信装置的编码译码部分。

为了将图像信号数字化后直接传输及存储，对于普通的电视(TV)信号，需要 $100Mbps$ 以上的传输线或存储媒体，对于高清晰度 TV(HDTV)，需要 $1Gbps$ 左右的传输线或存储媒体。因此，削减图像信号的冗长度、将图像的信息量减少到 $1/10-1/100$ 左右的高效率编码研究正在兴起。其典型的代表有国际标准化组织(ISO)已将其标准化的 ISO/IEC 11172-2(92.11 通称为 MPEG1)及其扩展即 ISO/IEC CD13818-2(93.11 通称为 MPEG2)。下面，将 MPEG1 和 MPEG2 合称为 MPEG，以 MPEG 为中心说明现有的技术。关于其详细情况，由于在上述 ISO/IEC 11172-2 和 ISO/IEC CD 13818-2 中有详细的说明，所以，在本说明中只说明其概况。

图 1 是包括 MPEG1, 2 在内的现有的编码装置的框图。输入的数字图像 2 暂时存储到缓冲器 3 内后，分割为由称为宏块的亮度信号 $16 \text{ 像素} \times 16 \text{ 像素}$ 、色差信号 $R-Y 8 \times 8 \text{ 像素}, B-Y 8 \times 8$

像素构成的处理单位。各宏块由动补偿(MC)和离散余弦变换(DCT)电路4求出与将画面的移动修正过的预测信号的差分后，进行离散余弦变换，可以得到频率成分的一种即DCT系数8。DCT的运算按进一步将宏块的亮度信号一分为四的块(颜色及亮度均为8像素×8行)单位进行。进行DCT系数8和MC/DCT处理时得到的动矢量9等附加信息输入可变长编码(VLC)电路5，分别按照预先规定的顺序变换为规定的编码，输入编码缓冲器6。以和外部的传输机器或存储装置的读出速度一致的速度从编码缓冲器中读出编码7。由编码缓冲器按一定周期计算编码量，将发生编码量10通知给编码量控制电路212。由编码量控制电路调节量子化步长尺寸213，以使编码量成为指定的值，并将这些控制信息通知给MC/DCT电路4。

图2是以上所示的先有例的MC/DCT电路4的详细图。在说明图2之前，先利用图3说明MPEG1,2中的动补偿动作。在MPEG1和MPEG2中，是将TV的画面分为I图像、P图像、B图像这3种图像后进行编码的。I图像是将画面分割为宏块及块后对这些块直接进行DCT的编码方法。因此，与下面说明的P、B图像不同，I图像的信息可以单独再生1个画面。另一方面，P、B图像是根据事先已编码的画面作成预测图像，对与预测图像的差分进行DCT后进行编码的。

图3是用于说明B图像的预测图像生成的方法的图。在图3中，前方参照画面和后方参照画面是预先进行过编码的图像，前方参照画面在时间上位于现有进行编码的编码画面之前，后方参照画面在时间上位于其后。当对编码画面的1个编码宏块生成预

测图像时，在前方、及后方参照画面的相同位置的周边，搜索与编码宏块最类似的部分，生成预测宏块。将画面内的编码宏块的位置与预测宏块的位置的差分称为动矢量。对于预测信号的生成方法，有使用前方参照画面的预测宏块的前方预测、使用后方参照画面的预测宏块的后方预测、对这 2 个预测信号按每个像素求平均的内插预测和使预测信号都成为相同的固定值(128)的帧内预测。通常，在这 4 个预测模式中选择预测误差功率最小的作为预测信号。对于 P 图像，只能使用前方预测和帧内预测，禁止使用后方预测和内插预测。在 MPEG2 中，对于 P 图像，追加了将 2 个前方预测信号按每个像素求平均的预测(双原始预测)。

对于前方参照画面和后方参照画面，只使用 I 图像和 P 图像，在一组前方及后方参照画面之间不存在别的 I 图像和 P 图像，即只能连续地存在 B 图像。另外，还允许完全不存在 B 图像。I 图像、P 图像的间隔可以任意设定，但是，多数取为相隔 3 个画面以下的固定值。另外，I 图像作为随机存取的基点或错误时的复归点使用，其间隔可以任意设定。通常，以小于 0.5 秒的间隔固定地插入 I 图像，即，多数为相隔 12 或 15 帧的情况。在 MPEG 中，对于这些 I 图像的周期及 I 和 P 图像的周期的描述分别使用 N 和 M 的符号。例如，当取 $N=12$, $M=3$ 时，各帧以“BBIBBPBBPBBP”的周期进行编码。在实际进行编码时，第 3 个 I 图像的帧最先进行编码，接着是第 1，第 2 帧，然后是第 6 个 P 图像的帧，并且按照第 4，第 5 帧的顺序进行编码。并且，例如，第 6 个 P 图像的帧根据第 3 个 I 图像的帧进行预测，第 4 帧根据第 3 个 I 图像的帧和第 6 个 P 图像的帧进行预测。

现在再回到图 2, 进行先有的 MC/DCT 电路 4 的说明。输入的数字图像信号 11 输入图像存储器 201, 改排为上面说明的编码顺序。另一方面, 同时输给动检测电路 12, 在与已编码并存储在参照图像存储器 200 内的参照图像信号 202 之间, 检测每个宏块的动矢量。这时, 将由图像存储器 201 延迟过的图像信号 214 同时输入动检测电路 12, 根据参照图像数据 202 检测后方预测的矢量。由图像存储器 201 延迟指定时间的信号作为编码图像信号 203 输入动补偿电路 13。与此同时, 动补偿电路 13 根据由动检测电路 12 检测的动矢量 9, 从参照图像存储器 200 内读出参照图像信号 202, 作为预测信号, 对于 I 图像, 不读出该参照图像信号, 使用固定值。由动补偿电路将编码信号 203 与参照图像信号 202 按每个对应的像素求差分, 生成差分图像信号 204, 该差分图像信号 204 由 DCT 电路 205 变换为 DCT 系数, 然后, 由量子化电路 206 按照预先设定的量子化步长尺寸 213 进行量子化。经过量子化的 DCT 系数 8 与动矢量 9 一起供给可变长编码电路 5。进行编码的图像为 B 图像时, 经过 M/DCT 电路的处理即告结束, 但是, 若为 I 或 P 图像时, 为了后面的图像, 必须进行参照图像信号的再生处理。经过量子化的 DCT 系数 8 由反量子化电路 207 按照和量子化时相同的量子化步长尺寸进行反量子化处理, 其结果由反 DCT 电路 208 进行 DCT 的反变换。经过反变换的再生差分图像信号 209 由加法电路 210 与将该块的参照图像信号 202 延迟指定时间后的信号相加, 便可得到再生图像信号 211。再生图像信号 211 存储到参照图像存储器 200 内, 在进行后面的画面的编码时作为参照图像信号使用。

由图像译码装置进行译码后，通过进行从反量子化电路 207 到向参照图像存储器 200 内的存储的处理，便可再生出图像。

图 4 是图像存储器 201、参照图像存储器 200 和动检测电路 12 的详细图。图 4 的动作进行图 5 的时间流程图所示的动作。图 4 和图 5 与 M 从 1—3 的情况对应。即，与从没有 B 图像的模式 ($M=1$) 到 B 图像每次连续输入 2 个画面的模式 ($M=3$) 的情况对应。下面，以 $M=3$ 的情况为中心说明其动作。输入图像为 P 图像时，即图 5 的帧号为 3、6、9 时，在矢量检测电路 450—1 内，在与存储在参照图像存储器 200 内的 3 帧前的参照图像之间进行动矢量检测。在参照图像存储器 200 内具有前方及后方 2 个参照图像用的 2 个帧存储器 410 和 411，由选择电路 412 按照 M 帧周期进行切换，以使前方参照图像信号与参照图像信号 202—1 对应，使后方参照图像信号与 202—2 对应。经过动检测处理之后的图像，进行编码处理。即，由帧存储器 401 延迟约 1 帧时间的信号由选择电路 405 选择，作为编码图像信号 203 输出。经过编码及再生的图像信号 211 写入并存储到参照图像存储器内 2 个帧存储器 410 及 411 中存储着更早的参照信号的一个帧存储器内。通过使编码处理的开始时刻比在同一时间带内进行的动检测处理开始时刻提早若干时间，便可在动检测处理时刻将画面开头部分的参照图像信号预先存储到该帧存储器 410 或 411 内。

输入图像为 I 图像时，不进行矢量检测，和 P 图像一样，延迟 1 帧后作为编码图像信号 203 输出。

输入图像为 B 图像时，首先，在输入时和 P 图像一样，检测相对于前方参照图像的动矢量。延迟的帧数与 M 值相当，由选择

电路 406 切换 $M=2$ 和 $M=3$ 的情况。在 $M=1$ 时，由于不存在 B 图像，所以，不需要进行后方预测。经过后方预测的动检测处理的图像，立即进行编码处理。即，由帧存储器 403 或 404 延迟约 1 帧时间的信号由选择电路 405 根据 M 值选择后，作为编码图像信号 203 输出。

由矢量检测电路 450-1, 2 从参照信号 202-1 或 202-2 中检索与输入的信号 11 或 214 最类似的部分，并将这时的矢量值作为 451-1, 2 输出。输出的信号集中到总线内，作为动矢量信号 9 输出。

简单地说明动矢量检测电路的动作内容示于图 6，其动作时间图示于图 7。图 6 是从 $6 (=W) \times V (V > 3)$ 个参照画面中检索图 7 的下部所示的那样与 2×2 像素的编码块最类似的部分的例子。在图 6 中，检索开始时，开关 603 选择输入信号 11 或 214。输入信号 11 或 214 如图 7 所示的那样，在参照信号 0, 1, 6, 7 的时刻输入 A, B, C, D 的像素数据，在延迟电路 604-1-3 中，分别各延迟 1 个时钟。同时，在存储到 RAM 603、输入作为检测单位的 4 像素之后，切换开关 603，按 8 像素周期周期性地输入 4 个输入信号。在 8 像素周期中不存在数据的期间，不论是什么值都没有关系。另一方面，在输入信号的输入开始的同时，将参照图像中检索范围的数据作为参照信号 202 输入，这些信号输入检测电路 601-1-8，进行类似性检测。输入各检测电路的数据，参照信号都是相同的数据，输入信号分别输入各延迟 1 个时钟的数据。结果，如图 7 所示的那样，从输入开始经过 8 个时钟时，从各检测电路分别输出与位置各 1 像素不同的部分的类似度 614。由于该类似度的输出只是在 1

个时钟内的某 1 检测电路输出，最小值选择电路 602 通过对 1 个时钟各逐次进行最小值判断，可以检测出最类似的矢量。在类似度 614 中，也包括与参照画面的画面两端的边界相关的块(例如，由图 7 下部的序号 5、6、11、12 的像素构成的块)，所以，最小值选择电路 602 进行将与这样的边界相关连的块除外的处理。检测电路 601 的内部由差分电路 610 求两个信号的差分后，由绝对值电路 611 取绝对值，然后与寄存器 613 内存储的累积值 614 相加。在 4 像素的最初像素相加之前，通过将寄存器 613 清除为 0，在 4 个时钟之后，累积值 614 就成为表示与该部分的类似度的值。在图 6 和图 7 中，为了使说明容易理解，将通常按 16×16 像素单位进行的动矢量检测简化为 2×2 像素单位。在图 6 的电路中，进行 16×16 像素单位的检测时，通过增加检测电路数(约为参照画面的宽度 $W \times 16$ 个)便可与之对应。为了减少该检测电路数，已知的方法是省略与和参照画面的左右边界部相关连的部分对应的检测器，使用 $(W-16) \times 16$ 个检测电路进行矢量检索的方法。另外，已知的还有不是间歇式地输入输入信号，而是连续地输入，在电路内部延迟的方法。

以上，是先有的图像编码电路的概况。它们的处理量与单位时间内输入的像素数成正比。因此，在通常的 TV 信号中，由于是大约 $15M$ 像素/秒的输入像素数，所以，必须以大约 70ns 进行每 1 像素的处理。通常，在大约 $4\mu\text{s}$ 或 $16\mu\text{s}$ 的时间内按 8×8 像素或 16×16 像素单位进行一个处理，通过按流水线方式进行这些处理实现该条件。另一方面，在 HDTV 信号中，必须进行通常的 TV 信号的大约 4 倍到 5 倍的处理。在上述流水线处理中，需要非常高速

动作的运算元件，装置的成本将提高，电路规模也增大。因此，在 HDTV 中，也可将画面分割为多个小画面，对各画面分配多个小编码电路，进行并行处理。

图 8 是先有的分割处理的图像编码装置。输入图像信号 2 由图像分割电路 801 分割为图例的 4 个信号 805—1,2,3,4，分别由 4 个小编码装置 1—1,2,3,4 进行编码，从而可以得到代码 806—1,2,3,4，代码 806—1,2,3,4 由代码组合电路 803 组合为 1 个代码 7。这时，小编码装置的结构可以直接使用图 1 的结构。画面的分割方式有将画面按数条扫描线单位(例如将 1 画面的 1024 条扫描线进行各 256 条扫描线的 4 等份分割)进行分割的方法以及将画面进行纵横 4 等份分割的方法等。

图 9 是图 8 中的图像分割电路 801 的详细图。输入的图像信号 1 根据输出与图像的位置对应的切换信号 903 的切换控制电路 902 的指示，由开关 901 传输 4 个信号中的某个图像信号。

图 10 是图 8 中的代码组合电路 803 的详细图。由各小编码电路生成的代码 806 存储到先进先出存储器(FIFO)1001 内。另一方面，FIFO 的读出在该图像的代码存储结束之后开始。读出的代码 1011 通过开关 1003 作为代码 7 输出。该图像的代码从 FIFO 1001—1 中输出结束后，输出结束信号 1010—1，接收到结束信号的切换控制电路 1002 使 FIFO 1001—1 的读出结束，使 FIFO 1001—2 的读出开始。与此同时，将开关 1004 切换为输出 1011—2 一侧。以后，同样按照预先规定的顺序，顺序读出 4 个 FIFO 后，再次从 FIFO 1001—1 开始进行下一帧的代码的读出。

在上述先有的分割处理的图像编码装置中，存在以下 2 个课

题。第 1 个课题是，由于进行分割处理的各小编码电路是分别独立地进行编码处理的，所以，在区域的边界附近不能充分利用画面间的相关性进行编码，与使用 1 个编码电路进行编码的情况相比，编码效率降低。特别是在使用动补偿帧间预测的方式中，由于不能使用其他区域的图像作为预测图像，编码效率的恶化特别大。

第 2 个课题是，由于各小编码电路分别独立地进行编码处理，所以，只能在各小编码电路内调节发生代码量。因此，例如当在某一部分发生大量的信息量时，分割给担当对该部分进行编码的小编码电路以后的处理担当部分的代码量将减少，从而画面质量将降低，特别是在与周边区域的边界部分，恶化更明显。

本发明就是为了解决上述课题而提案的，目的旨在提供小型、低廉的图像编码装置、图像译码装置或图像编码译码装置。

为了达到上述目的，本发明首先设置将相互相邻的区域分割为具有重叠区域的多个小图像，并将写入重复区域部分的信号全部传输给对应的各小编码装置内的装置进行编码。其次，在担当相邻的区域的各小编码装置之间设置通知发生的信息量的装置，并且设置将由 1 个小 编码装置暂时发生的大量的信息量由相邻的小 编码装置吸收的装置。

特别是，达到上述本发明的目的的图像编码装置是将输入图像分配为多个块，使用从已编码的信号再生的图像生成分割的该块的预测图像，然后生成该输入图像与该预测图像的差分图像并对该差分图像进行编码的图像编码装置。利用具有如下结构的图像编码装置可以达到本发明的目的。即：该图像编码装置具有将输入图像分割为相互相邻的区域具有重叠区域的 N 个($N \geq 2$)小图像

的装置(801)、对上述小图像分别进行上述预测图像生成和编码处理以及图像的再生的N个编码处理部(1101)、将由上述编码处理部再生的图像传输给关连的其他编码处理部的共有信息处理部(1102)和将由各上述编码处理部分别生成的代码串变换为N个以下的代码串的代码合成部(803)。

另外，在本发明的图像编码装置中，在各编码处理部中分别设有将该编码处理部生成的代码量通知给其他代码处理部的通知机构和根据由其他编码处理部通知的上述代码量控制自己发生的代码量的控制机构。

另外，本发明的图像编码装置还具有当把具有间行扫描结构的图像作为输入图像采用切换按场单位动补偿的预测图像和按帧单位动补偿的预测图像的预测图像生成方法时根据按场单位检测的动补偿矢量生成帧单位的动矢量的装置。

另外，本发明的图像编码装置进而还具有输入2个时间和在这2个时刻之间发生的代码量的输入装置、计量在指定的时间内发生的代码量的计量装置和当由该计量装置计量的代码量与指定的代码量不一致时增加或减少代码量的装置。

另外，本发明的图像编码装置中的上述编码处理部具有输入画面内的权重系数的输入装置、根据该权重系数设定代码量在画面内的分配的设定装置和控制发生代码量使之成为设定的代码量的控制装置。

同样，达到本发明的目的图像译码装置是将输入的代码进行译码，生成差分图像，然后根据由该输入代码另外指定的信息已被译码的图像生成预测图像，将该差分图像与该预测图像进行加

法运算后生成新的译码图像的图像译码装置。利用具有如下结构的图像译码装置可以达到本发明的目的。即，该图像译码装置具有将输入代码分割为译码后的图像相互相邻的区域具有重叠区域的 M 个($M \geq 2$)代码的分割装置(1701)、对分割的代码进行上述预测图像生成和译码处理的 M 个译码处理部(1702)、将由各译码处理部进行过译码的图像传输给关连的译码处理部的共有译码信息处理部(1102)和将由各译码处理部进行过译码的图像合成为 1 个图像的图像合成部(1703)。

另外，在本发明的图像译码装置中，上述译码处理部具有计算译码处理的步长量的运算装置、将得到的步长量与标准的步尺量进行比较的比较装置和步长量不满足标准时使处理简化的装置。

同样，达到本发明的目的的图像编码译码装置是一种将输入图像分割为多个块、利用从已编码的信号再生的图像生成分割的该块的预测图像、然后生成该输入图像与该预测图像的差分图像，对该差分图像进行编码，并且对该代码进行译码、生成差分图像，并根据由该输入代码另外指定的信息已译码的图像生成预测图像，将该差分图像与该预测图像进行加法运算生成新的译码图像的图像编码译码装置。

利用具有如下结构的图像编码译码装置可以达到本发明的目的。即，该图像编码译码装置具有 N 个处理装置、共有信息处理部和代码合成部。 N 个处理装置具有将输入图像分割为相互相邻的区域具有重叠区域的 N 个($N \geq 2$)小图像的功能和对上述各小图像分别进行上述预测图像生成、编码处理和图像再生的功能；

共有信息处理部将由上述处理装置再生的图像传输给关连的

其他处理装置；

代码合 成部将由上述各处理装置分别生成的代码串变换为小于 N 个的代码串。

同样，达到本发明的图像编码译码装置是一种将输入图像分割为多个块、利用从已编码的信号再生的图像生成分割的该块的预测图像，然后生成该输入图像与该预测图像的差分图像并对该差分图像进行编码，并且对该代码进行译码，生成差分图像，根据由该输入代码另外指定的信息已译码的图像生成预测图像，然后将该差分图像与该预测图像进行加法运算生成新的译码图像的图像编码译码装置。利用具有如下结构的图像编码译码装置可以达到本发明的目的。即，该图像编码译码装置具有 M 个处理装置、共有信息处理部和图像合成部。 M 个处理装置具有将输入代码分割为进行译码后的图像相互相邻的区域具有重叠区域的 M 个 ($M \geq 2$) 代码的功能和对分割的代码进行上述预测图像生成和译码处理的功能；

共有信息处理部将由上述各处理装置译码后的图像传输给相关的处理装置；

图像合成部将由上述各处理装置译码后的图像合成为 1 个图像。

通过使在各小编码装置内具有重复的区域部分，在区域边界附近也可以利用画面内及画面间的像素间的相关性，与单一的编码装置相比，可以防止编码效率降低。另外，通过通知发生的信息量，可以把暂时发生的大量的信息量引起的画面质量的恶化分散到很广的范围，从而使画面质量恶化不明显。

本发明的优点还在于根据普通的技术即可明白本发明的如下说明和对替代装置的详细描述。

本发明采用相关的框图进行说明，目的只在于详细说明本发明及其替代装置，但是并不限于这些框图。

图 1 是说明先有的编码的装置的图。

图 2 是先有的 MC/DCT 电路的说明图。

图 3 是动补偿帧间预测的动作说明图。

图 4 是先有的图像存储器、参照图像存储器和动检测电路的结构，

图 5 是图 4 的动检测电路的动作时间流程图。

图 6 是先有的动矢量检测电路。

图 7 是图 6 的动矢量检测电路的动作时间流程图。

图 8 是利用先有的图像分割处理的图像编码装置。

图 9 是先有的分割电路图。

图 10 是先有的代码合成电路图。

图 11 是本发明的图像编码装置的结构图。

图 12 是本发明的小编码电路的结构图。

图 13 是本发明的共有存储器电路的结构图。

图 14 是本发明的存储器管理电路的结构图。

图 15A, B 是本发明的存储器管理方式的说明图。

图 16 是本发明的 MC/DCT 电路的结构图。

图 17 是本发明的图像译码装置的结构图。

图 18 是本发明的代码分割电路的结构图。

图 19 是本发明的小编码电路的结构图。

图 20 是本发明的图像合成电路的结构图。

图 21 是小编码电路的其他结构图。

图 22 是 MC/DCT 电路的其他结构图。

图 23 是图 22 的帧存储器电路的结构图。

图 24 是图 22 的动检测电路的结构图。

图 25 是图 24 的动矢量检测电路的结构图。

图 26A, B 是图 25 的动矢量检测电路的其他结构图。

图 27 是图 11 的图像编码装置的其他结构图。

图 28 是图 27 的小编码电路的其他结构图。

图 29 是图 28 的代码控制电路的结构图。

图 30 是设置代码量调整电路的小编码电路的结构图。

图 31 是设置代码量调整电路的小编码电路的其他结构图。

图 32 是图 30 的代码量调整电路的结构图。

图 33 是图 23、24 的帧存储器电路和动检测电路的其他结构图。

图 34 是图 33 的帧存储器电路和动检测电路的动作时间流程图。

图 35 是图 22 的动补偿电路的结构图。

图 36A, B, C 是图 35 的动补偿电路的动作说明图。

图 37 是图 35 的半像素电路的结构图。

图 38 是具有代码量控制电路的小编码电路的结构图。

图 39 是图 38 的具有代码量控制电路的小编码电路的其他结构图。

图 40 是图 11 的共有存储器电路的其他结构图。

图 41 是图 11 的共有存储器电路的其他结构图。

图 42 是生成预测图像的简化法的说明图。

图 43 是本发明的图像编码译码装置的说明图。

图 44 是图 11 的编码装置的其他结构图。

图 45 是图 44 的小编码电路的结构图。

图 46 是图 45 的小共有存储器的结构图。

图 47 是图 25 的动矢量检测电路的其他结构图。

图 48A, B, C 是图 47 的动矢量检测动作的说明图。

图 11 是使用本发明的实施例。图 11 是在图 8 的图像编码装置中应用本发明的例子。图中，示于 1100 的部分是本发明的部分，其他部分和图 8 的功能相同，所以，说明从略，下面以 1100 的部分为中心进行说明。

小编码装置 1101 将输入的图像信号 805 进行编码后输出代码 806，具有 2 种保存编码处理使用的画面的存储器。一种是存储编码图像的存储器，与各小编码装置的处理区域对应；另一种是存储参照图像的存储器，是与比各小编码装置的处理区域更广的相邻的区域和重复的区域对应的存储器。和先有情况一样，在各小编码装置 1101 内具有编码图像的存储器，在共有存储器电路 1102 内具有参照存储器。从小编码装置 1101 向共有存储器电路 1102 内的存取，使用存取信号 1103 和读出信号 1104。

图 12 是小编码电路 1101 的详细图。小编码电路 1101 的动作和图 1 的编码装置 1 几乎完全相同，不同的是在 MC/DCT 电路 1201 内增加了向共有存储器电路 1102 的写入信号 1103 和读出信号 1104。在图 12 的小编码电路内，作为重复区域分配预测图像存

储器。通过将预测图像分配给重复区域，还可以根据是先有该区域外的部分进行动补偿的预测，从而可以获得和单一编码处理装置时相同的编码效率。

图 13 是共有存储器 1102 的详细图。写入通过信号 1103—1104 进行，读出使用信号 1104—1—4 直接对存储器进行存取。从各小编码电路输入的写入信号 1103—1—4 输入存储器管理电路 1301。写入信号 1103 是使对存储器的控制信号与数据并行的信号串，例如，顺序传输写入开头地址、写入数据数、写入数据串。写入数据数约为 64 像素(8 像素×8 行：块数据)或 256 像素(16 像素×16 行)或 384 像素(6 个 8 像素×8 行信号：宏块数据)是适当的，将 2 维数据利用预先确定的扫描法变换为一维信号后进行传输。写入数据数为 8 像素或 16 像素的一维数据也可以。另外，在分割后的小画面的编码开始时传输表示画面开头的信号和表示画面大小的信号，然后，只按照编码顺序传输数据，也可以利用按照预先确定的存取顺序进行写入的方法。存储器管理电路 1301 利用写入地址判断相应的存储器，向存储器存取信号 1310—1—4 相应部分输出信号，写入存储器 1303 或存储器 1304 内。使用将输入的一维数据变换为原的二维数据的地址进行写入。

另一方面，读出时利用读出信号 1104 对存储器 1303 或 1304 进行存取。读出信号 1104 由读出地址线和数据线构成，可以和写入相互独立地进行读出。

图 14 是存储器管理电路 1301 的详细图。输入的写入信号 1103 中，地址部分通过开关 1401 存储到地址 FIFO 1402 内，数据部分存储到数据 FIFO 1403 内。存储的地址和数据利用开关 1404

和开关 1407 进行选择，同时写入相应的存储器内。这时，地址数据由地址变换电路 1405 变换为各小编码电路使用的地址。当利用写入信号 1103—1—4 进行的写入在时间上相重时，相重的信号中只写 1 个，其他信号的写入延迟到最初的写入结束之后进行，当 FIFO 有可能发生溢出时，就通知给相应的小编码电路，中止输入数据。

图 15A, B 是存储器管理电路的地址变换的例子，图 15A, B 是将水平 1920 像素、垂直 1024 行的画面 4 等分分割的例。在 MPEG 等图像编码方式中，为了对每个亮度信号 16 像素 × 16 行进行处理，分割的区域的大小最好水平垂直都是 16 的倍数的矩形。但是，关于包含画面的右端或下端的区域，也可以不是 16 的倍数。另外，在处理将隔行扫描图像的 2 个场按每 1 行合成功能形成的帧的编码装置中，区域的垂直方向的像素数在帧图像上最好是 32 的倍数。图 15A 的分割例子是按水平 4 等分分割的例子，图 15B 的分割例子是水平垂直分别 2 等分分割的例子。都是在与连接边界的相邻区域之间从边界开始具有 128 行或 128 像素的共有区域的例子。在以后的说明中，认为由 2 维地址指定存储器，只要未特别指定，就将垂直地址简单地称为地址。

对于图 15A 的分割例子，在将画面每隔 256 条扫描线进行分割的编码装置中，对于各存储器 1303 及 1304，实际装配的是垂直方向 512 条扫描线的存储器，不论哪个小编码电路都存储着对地址 0—255 进行编码处理的区域，在地址 256—511 内存储着共有区域。在第 1 存储器例如 1304—1 中将扫描线 256—383 存储在垂直地址 256—383 内，在存储器 1304—2 中，将区域 1 的扫描线

128—255 存储在垂直地址 384—511 内，将区域 3 的扫描线 512—639 存储在垂直地址 256—383 内。因此，例如扫描线 240 的数据在写入存储器 1304—1 的地址 240 内的同时，写入存储器 1304—2 的地址 496(240+256)内。另外，扫描线 300 的数据在写入存储器 1304—2 的地址 44(300—256)的同时写入存储器 1304—1 的地址 300(300—256+256)内。通常，分割为各为 P 条扫描线的小区域，对于连接边界的 1 个相邻区域，共有 Q 条扫描线的数据时，各存储器的垂直地址必须为 $P+2Q$ 。若用符号/表示除法运算后舍去小数点以下的处理，用符号%表示其余的计算，扫描线 Y 的数据写入区域 $n(=Y/P)$ 的地址 $Y(=Y\%P, 0 \leq y \leq P-1)$ ，当 $y < Q$ 时，与区域 $(n-1)$ 共有，存储到区域 $(n-1)$ 的存储器的地址 $(y+p)$ ，当 $y \geq P-Q$ 时，与区域 $(n+1)$ 共有，存储到区域 $(n+1)$ 的存储器的地址 $(y-(P-Q)+P+Q=y+2Q)$ ，上述计算在地址变换电路 1405 内进行，可以利用固定值的加减运算实现。特别是像 $P=256$ 、 $Q=128$ 那样，在 P 为 2 的幂次方、 Q 为其 $1/2$ 的例子中，如上述例子所示的那样，加减运算仅靠位操作就可以实现，减小电路规模的效果很大。当 P 为 2 幂次方、 Q 小于其 $1/2$ 时，通过分配和 Q 为 P 的 $1/2$ 时相同的地址，也可以仅靠位操作进行运算。这时，在地址的中途存在不进行存取的区域，但是，对于该区域不论分配实际的存储器元件与否都可以。

在图 15B 的分割例子中，将画面分割为 960×512 像素的 4 个小画面。这时，编码的区域存储到存储器的地址 0—511，在地址 512 以后存储共有区域的数据。在存储器 1304—1 的例子中，将区域 3 的 960 像素 \times 128 行(扫描线 512—639 行)存储到地址 512—

639；将区域 2 的 128 像素×512 行(扫描线 0—511 行)的垂直、水平地址交换后的数据存储到地址 640—767；将区域 4 的 128 像素×128 行(扫描线 512—639 行)存储到地址 768—960。写入时，例如区域 1—4 都共有的部分的数据同时写入存储器 1304—1—4 内。在地址变换电路 1405 中，进行以上的地址变换扫描。在水平垂分割中，与水平分割相比，地址变换电路 1405 稍许复杂一些。另一方面，当实现相同的共有范围(距离边界相同像素数的范围)时，各存储器 1303、1304 的容量减少。在图 15A,B 的例子中，变为 3/4 的容量。上述说明是以亮度信号为例进行的，但是，对于颜色信号或亮度信号与颜色信号都可以适用。

从图 11—图 15A, B 的说明，是将画面的分割数取为 4 进行的，但是，显然，也可以适用于画面的分割数是 4 以外的某个值。当分割数增多时，由于每个小编码装置的处理量减少，所以，可以使用更低处理能力的电路，相反，利用相同处理能力的电路可以对更大面积的图像进行编码。但是，当 1 个小图像编码装置对某一画面编码结束之后为了开始进行下一个画面的编码，必须等到具有共有区域的所有的小编码装置的处理结束。例如，在水平分割的情况下，在区域 1 的信号输入结束的时刻，小编码装置 1101—1 开始进行处理，在区域 2 输入结束的时刻，小编码装置 1101—1 开始进行处理，具有使处理开始时间按每个小编码装置偏移的方法可以使延迟减小，从而使延迟修正用的缓冲器容量也减少的优点。在这样的方法中，小编码装置 1101—1 为了开始进行下一个编码，如果不等到小编码装置 1101—2 的处理结束，同样，小编码装置 1101—2 必须等到小编码装置 1101—3 结束，小编码装置 1101

—3 必须等到小编码装置 1101—4 结束。换言之，就是在输入前一个小编码装置的画面之前，必须使编码处理结束。结果，各小编码装置实际进行编码处理的时间成为 $3/4$ ，若以总体的处理量为 1 时，各小编码装置的处理能力不是 $1/4$ ，而变为 $1/3$ ($=1/4 * 4/3$)。当增加分割数进而增加共有的区域的小编码装置数量，若不等到相应的所有小编码装置结束，便不能开始进行下一个画面的编码。因此，当增加分割数，从而共有的区域扩大时，也不一定会降低各小编码装置的处理能力。图像编码的处理单位，对于亮度信号为 16×16 像素的点，动矢量的检索范围约为 -15 — $+15$ ，由于可以补偿大部分动矢量，所以，共有区域的扫描线数取为距离边界为 16 行(边界的上下 32 行由 2 个区域所共有)最合适。但是，由于垂直方向的画面的相关性不太强，所以，即使将共有区域取为 8 行，对画面质量的影响也很小。共有区域小于 16 行时，上述等待编码开始时间的影响很小。

通常，由于水平方向的画面的相关性比较强，所以，在水平方向将全部像素作为相同区域进行处理可以提高编码效率。小编码装置的数和分割区域的数也可以不一致。当小编码装置的数少时，处理结束后的小编码装置就对同一画面的其他区域进行编码。小编码装置的数多时，可以减少每个小编码装置的处理，但是，实际上由于如果前一画面的编码未结束，就不能开始进行下面的编码，所以，在共有区域约为 16 行的例子中，设区域分割数为 R ，则小编码装置的处理能力必须为 $1/(R-1)$ 。但是，像 B 图像那样，对于其他画面的预测不使用的画面的编码，利用 $1/R$ 的处理能力就可以对应。

以上共有存储器的写入操作具有如下效果。在各小编码装置 1101 中，由于可以存取相邻的小编码装置的参照图像，所以，动补偿的范围可以取为和单一编码装置时一样，从而可以弥补分割编码方式的缺点。通过同时写入共有区域，每单位时间内向存储器的写入次数变为和使用单一编化装置时相同的次数。因此，存储器管理电路及存储器可以采用和使用单一编码装置时相同动作速度的电路及元件，特别是不必使用高速元件和复杂的电路。

图 16 是图 12 有 MC/DCT 电路 1201 的详细图。MC/DCT 电路的全体动作和先有的 MC/DCT 电路 4 基本上相同，所以，说明从略。在图 16 的 MC/DCT 电路 1201 中，与图 2 的参照图像存储器 200 相当的部分设在外部的共有存储器电路 1102 中的是涉及本发明的部分。因此，增加了写入信号 1103 和读出信号 1104。除了这部分外，MC/DCT 电路 1201 与 MC/DCT 电路 4 完全相同。

这样，应用本发明的图像编码装置 800 便可保持着与单一编码装置相同的编码效率，通过将画面分割为 4 等份，各小编码装置的处理量变为约 $1/3$ — $1/4$ ，仅使用低速元件就可以进行编码处理。结果，可以实现低速小规模或低速低成本，从而可以实现整个装置的小型化或低成本化或两者兼而有之。另外，作为小编码装置 1101 进行处理器等的软件处理时，本发明的效果很大。利用现在的处理器的能力，难于用单一的处理器对普通的 TV 信号进行编码。另一方面，只要利用软件处理可以实现编码处理，除了可以很容易进行处理方法的改进以及与新编码方式对应外，还可以减少装置的开发及维修的时间和麻烦。通过应用本发明，可以发挥软件处理的优点，并且可以获得与使用单一硬件的编码效率相同的效果。

率。这时，各小编码装置 1101 标有固定的序号，只要根据该序号设定编码区域位置和地址变换方法等，就可以使所有的小编码装置采用相同的结构，利用硬件处理实现时，可以提高装置的基板或 LSI 等的生产效率和检查效率；利用软件实现时，除了提高上述生产效率外，还可以减少执行软件的传输时间和麻烦。

图 17 是应用本发明的第 2 实施例。在图 17 中，将本发明应用于图像译码装置 1700。图像译码装置 1700 是输入由图像编码装置 1 或 800 等生成的代码串、再生出原来的 图像的装置。输入代码串 7 输入代码分割电路 1701，分割为与预先分割的区域对应的代码 1710—1—4。分割的代码 1710 输入小译码装置 1702，再生出图像 1702。再生的图像 1702—1—4 在图像合成电路 1703 中合成为 1 副图像 2。

图 18 是代码分割电路 1701 的详细图。输入的代码 7 在标题检测电路 1802 中检测并分析其标题部分，检查是画面上哪个位置的编码。切换控制 电路 1803 根据该位置信息 1811 利用控制信号 1810 切换开关 1801。

图 19 是译码电路 1702 的详细图。输入的代码 171—0 暂时存储到代码缓冲器 1901 内后，利用可变长译码电路 1902 进行读出和译码。译码的结果、差分图像的 DCT 系数 8 和动矢量 9 等译码信息输入 MC/iMCT 电路 1903。在 MC/iDCT 电路 1903 中，对 DCT 系数 8 进行反量子化处理之后，利用 DCT 反变换(iDCT)再生出差分图像。另一方面，根据共有存储器电路 1102 内存储的参照图像利用读出信号 1713 生成利用动矢量 9 等信息所示的预测图像，与再生的差分 图像相加。如前面所述，这些处理和从图 3 的

反量子化 207 到向参照图像存储器 200 内的存储的处理相同。通过这一操作，可以得到再生图像。再生图像存储到输出缓冲器 1904 内，与显示同步地读出，并在 TV 的画面上进行显示。同时，通过写入信号 1712 存储到共有存储器电路 1102 内。

图 20 是图像合成电路 1703 的详细图。切换控制电路 2002 监视显示时刻，利用开关 2001 选择与显示部分对应的区域的再生图像信号 1711—1—4，读出像素数据，向输出图像信号 2 输出。

以上，是本发明如图 27 那样也可以应用于图像译码装置。以往，进行分割处理的译码装置，只要不是禁止根据其他小区域进行预测的特殊符号，就不能再生图像。通过应用本发明，便可不受此限制，并且和编码装置的情况一样，还可以获得减小电路规模的效果。另外，和编码装置的情况一样，特别是进行软件处理时，其效果更大。图像的分割方式，水平分割时，垂直方向的行数必须是 16 的倍数，在隔行扫描的图像的情况下，必须是 32 的倍数。

下面，说明上述 2 个实施例的变形例子。显而易见，以下的变形例子或者以下变形例的组合都包括在本发明中。

图 21 是小编码电路 1101 的变形例。在图 21 的编码电路中，在 MC/DCT 电路 4 与可变长译码电路 5 之间，设置暂时存储 DCT 系数 8 和动矢量 9 等信息的缓冲器 2101。MC/DCT 电路 4 的处理如前面说明的那样成为与像素数成正比的处理量，所以，希望利用硬件实现在预先固定的时间内进行 1 个处理单位(8×8 块的处理或宏块的处理)的处理。另一方面，可变长编码电路 5 的处理量与发生的代码量有关，与上述每 1 处理单位的处理量不同。当对这种性质不同的 2 个处理进行流水线处理时，例如，如果

可变长编码的处理时间比 MC/DCT 处理的时间长，即使 MC/DCT 的 1 处理单位的处理已结束，可变长编码的相应处理还未结束，MC/DCT 电路 4 存在等待下一次的处理开始的问题。作为解决的措施，已知有 2 种方法，一种是使用高速可变长编码电路的方法，以使在 MC/DCT 电路 4 的 1 处理单位时间内使可变长编码电路 5 的相应的处理结束；另一种方法是使 MC/DCT 电路 4 的处理高速化，以使即使发生可变长编码处理的等待时间，也可以在规定的时间内进行规定的处理。不论哪一种方法，由于都需要高速处理电路，所以，对装置的低成本及小型化不适合。像图 21 那样，通过设置缓冲器 2101，可以吸收 MC/DCT 和可变长编码两种处理的处理量的不均衡，从而两个电路都可以利用低速进行处理。缓冲器的容量最好是最大可以存储 1 个画面的信息的容量，即可以存储与 1 个画面的像素数相同数量的 DCT 系数和动矢量信息等，但是，实际上具有 1 个画面的像素数的大约 $1/2$ — $1/4$ 的容量也就够了。在实际动作时，在预先确定的数量的 DCT 系数输入到缓冲器 1201 内的时刻，就使可变长编码电路 5 开始进行处理。另外，如果本发明与图 11 所示的实施例进行组合后使用，还可以进一步减小电路规模，即使应用于使用单一的小编码电路的图像编码装置，也可以获得同等程度的减小电路规模的效果。

图 22 是图 16 的 MC/DCT 电路 1201 的变形例。与图 16 不同的第 1 点，是将延迟后的输入图像 2210 输入动检测电路 2203，而不是参照图像 1104。通常，由于参照图像和与其对应的输入图像的差别很小，所以，对于本来使用参照图像 1104 进行动检测的地方，可以使用使输入图像延迟后的信号 2210 进行动检测。在图 22 的实

施例中，为了吸收利用参照图像的检测与利用输入图像的检测的误差，在动补偿电路 2202 内进行使用参照图像的小范围的动检测。

图 23 是图 22 中的帧存储器电路 2201 的详细图。以往，如图 4 所示的那样，使用存储输入图像 11 的存储器 2301、2302 代替输入参照图像 211 的存储器 410,411。存储器 2301, 2302 需要在各小区域内加上共有区域的部分的容量，存储的像素数比其他存储器 401—404 多。这可以通过预先使整个画面的图像数据进入信号 11 内，由存储器 401、2301、2302 只写入需要的部分而实现。输入的图像由选择电路 2303 将 2210—1 改排为前方预测用的信号、将 2210—2 改排为后方预测用的信号后输出。

在图 16 的实施例中，利用图 22 和图 23 的处理，可以大幅度地减少进行动检测时参照图像的读出次数。参照图像在前面的图像编码和局部的译码结束之后到对相应的部分进行编码的期间，必须进行读出和动检测。因此，要求高速地读出和大量的数据传输。通过使用输入图像代替参照图像进行动检测，可以减少读出信号 1104 的信号线数和实现共有存储电路 1102 的读出电路的低速化以及存储器元件 1303, 1304 的低速化，从而可以减小电路规模和降低成本。虽然如果不是在参照图像写入之后就不能进行动检测处理，但是，由于可以与参照图像的写入独立地进行动检测，所以，可以提高电路结构的自由度，并且可以进一步减小电路规模，降低成本。另外，可以将帧存储器 2201 和动检测电路 12 与图像编码装置分离开，在时间上或空间上或在这两方面都另外进行处理。具有这种功能的图像编码装置或图像编码方法也包含在本发明中。

具体地讲，就是在脱机状态下进行图像的排列及动矢量的检测和存储，通过与编码装置的动作连动地利用信号线 203 和 9 输入存储的图像和动矢量数据，可以实现本发明。显而易见，这些变形例也可以应用于使用单一的编码电路的图像编码装置。如果与图 11 所示的实施例组合后使用，可以获得更高的效果。即，在图 11 中，编码装置部分以输入的像素速率的数分之一的处理速率而动作，但是，共有存储器电路 1102 要求与输入的图像的像素速度成正比的处理速率。通过应用图 22 的发明，可以利用小编码装置内的低速处理进行该处理速率高的位置的一部分处理，从而可以实现整个装置的小型化。

图 24 是图 22 的动检测电路 203 的详细图。与图 4 的电路的不同点是与隔行扫描的图像对应。输入隔行扫描图像时，分离为将 1 个 16 像素×16 行的宏块保持其原形而检测的矢量 2410 和分离为只有奇数行的 16 像素×8 行以及只有偶数行的 16 像素×8 行后分别检测的矢量 2411, 2412 这 3 种矢量从 1 个动矢量检测电路 2401 输出。输出的矢量分别存储到缓冲器 2402, 2403, 2404 内，通过信号 9 读出。在动检测电路 2203 内，设置有前方预测用的动检测电路 2401-1 和后方预测用的动检测电路 2401-2。另一方面，当输入非隔行扫描图像即场图像等的顺序扫描图像时，将 1 个 16 像素×16 行的宏块保持其原形而检测的矢量 2410 和分离为宏块的上半部的 16 像素×16 行和下半部的 16 像素×16 行后分别检测的矢量 2411, 2412 这 3 种矢量从 1 个动矢量检测电路 2401 输出。利用这些功能，便可使用有限的电路规模对具有各种扫描结构的图像实现高的预测效率。

图 25 是图 24 的动矢量检测电路 2401 的详细图。其整体动作与图 6、图 7 所示的电路相同。检测单位是 16×16 像素，但是，检测电路的数量如在先有例中说明的那样随检测范围而异，所以通用地采用 N 个。本发明的特征在于：各检测电路 2501 内部的信号处理为 2 个系统，最小值选择电路 2503, 2504, 2505 为 3 个。在检测电路 2501 内，计算宏块的各像素的差分值的绝对值和，利用开关 2550 将由绝对值电路 611 计算的差分的绝对值在加法器 612 和以器 2551 中切换输出对象。若根据奇数行和偶数行进行该切换方法，则可实现与上述隔行扫描信号对应的动矢量检测；若按上部 8 行和下 8 行进行切换，则可实现 16×8 像素的动矢量检测。加法器 612 和 2551 的加法计算结果分别存储到寄存器 613 和 2552 内。在 1 个宏块即 256 像素的运算结束的时刻，偶数行或上部 8 行的差分值存储到寄存器 613 内，奇数行或下部 8 行的差分值存储到寄存器 2512 内。由加法器 2553 对这 2 个差分值进行加法运算，便可得到整个宏块的差分值 2511。将这 3 个差分值输入各自对应的最小值选择电路 2503, 2504, 2505，只要在各最小值选择电路内独立地选择了最小值，在所有的处理结束的时刻便可得到与整个宏块对应的矢量 2410、与奇数行或上部 8 行对应的矢量 2412 和与偶数行或下部 8 行对应的矢量 2411 这 3 个矢量。在图 25 中，通过改变开关 2550 的切换方式，便可很容易地实现上面说明过的分割以外的分割方法，例如宏块的左右分割等。另外，这些动作与检索范围及检测单位的大小无关，并且，在动矢量检测电路的先有例的项目中所述的检测方法的变形例全部可以应用。

另外，如果增加分割加法器 2551 及寄存器 2552 的信号处理

系统和最小值检测电路的数量，并且使用与其对应的开关 2550 和加法器 2553，就可以增加 1 个宏块的分割数量。例如，如图 26A 所示的那样，如果使用开关 2601 将误差信号分割为 4 个系统等，切换开关 2601 以使左上部 8×8 像素成为累积加法器 2560—1、右上部 8×8 像素成为累积加法器 2560—2、左下部 8×8 像素成为累积加法器 2560—3 和右下部 8×8 像素成为累积加法器 2560—4，则如图的右边所示的那样，便可用 1 个电路同时检测宏块内的 4 个 8×8 的块单位的矢量和 1 个 16×16 的矢量共计 5 个矢量。另外，如图 26B 所示的那样，通过设置对累积加法结果 2610—1,2 进行加法运算的加法器 2603 和对累积加法结果 2610—3,4 进行加法运算的加法器 2604，并使用这些加法运算结果，除了图 26A 的例子外，还可求出重新将宏块按上下分割为 2 个单位的动矢量。图 26C 是使用 2 个开关 2605, 2606 进行误差信号的分割的例子。通过改变开关 2605, 2606 的切换方法，便可进行例如利用图的右边所示的不同的 2 个分割法分割 1 个宏块的单位的动矢量检测。这里，通过比较累积加法信号 2601—1,2 的最小值之和与累积加法信号 2601—3, 4 的最小值的和，便可从这 2 个分割法中选择最佳的方法。利用这些变形例子，只略增大电路规模，便可求多种分割法的动矢量，从而可以提高图像的预测效率。在图 26A, B 中，取开关 2601 的输出数为 3 或 5 以上的值 N_s 个，使用与其相同的 N_s 个累积加法电路 2560 进行 N_s 个区域单位的动矢量检测的方法或电路也包含在本发明内。另外，除了开关 2605, 2606 外，通过设置 1 个以上的开关，使总共 M_s 个开关采用相互不同的切换方法，来检测与 M_s 个分割方法对应的动矢量和最佳的分割方法的方法

或电路也包括在本发明内。进而，将它们进行组合而检测分割为 N 个区域的 M 个方法的各动矢量和最佳的分割方法的方法或电路也包括在本发明内外， M 个分割方法中区域的分割数也可以不相同。

图 27 是图 11 的编码电路 800 的变形例子。与图 11 不同的地方是在各小编码电路 2701—1—4 之间增加了通知代码量控制的信息的信号线 2710—2715。利用这些信号线得到其他小编码电路的代码量控制信息后，进行与其相应的代码量控制，可以防止由于暂时发生大量的代码而使 1 个小编码电路编码的画面质量显著地恶化，相反，可以防止由于代码发生很少，而比周边区域的画面质量显著提高。设小编码装置的数量为 C 时，可以认为各小编码电路间的通知的组合最多为 $C * (C - 1)$ 条信号线。但是，画面质量显著不同的是 2 个区域的边界部分，所以，如果只通知在画面上担当连接边界的区域的小编码电路间的代码量控制的信息，便可减少信号线条数，从而可以减小电路规模。在水平分割的例子中，设小编码装置的数量为 C 时，使用 $2 * (C - 1)$ 条信号线可以获得与 $C * (C - 1)$ 条信号线时基本上相同的效果。另外，即使只通知担当画面上的距离小于一定值的区域的小编码电路间的代码量控制的信息，也可以获得和上述一样的效果。

图 28 是图 27 的编码电路 2701—2 的详细图。和其他编码电路 2701—1, 3, 4 进行基本上相同动作。现在正在进行编码的画面的代码量通过信号线 10 输入代码控制电路 2801。在代码控制电路 2801 中将预先确定的值与发生代码量进行比较，如果发生代码量大，就向减少代码量的方向控制，如果发生代码量少，就向增加

代码量的方向控制。即，将与预先确定的值与发生代码量之差对应的值作为代码量控制信息向信号线 2711, 2713 输出，通知给相邻的小编码电路。另一方面，从相邻的小编码电路通过信号线 2710, 2712 输入的代码量控制信息加到上述代码量 10 上进行控制。

图 29 是图 28 的编码控制电路 2801 的详细图。将由相邻的小编码电路通知的代码量控制信息 2710, 2712 分别由系数电路 2902, 2901 乘以 K_2 倍, K_1 倍后与现在正在编码的画面的代码量 10 进行加法运算。然后求出加法运算的结果 2910 与预先设定的代码量 2915 的差分。如果该差分值 2911 的绝对值大于一定值，控制电路 2907 就通过控制线 2912, 2913 控制系数电路 2906, 2908 的系数值 K_3, K_4 ，并将差分值 2911 的 K_3 倍及 K_4 倍的值分别作为代码量控制信息 2711, 2713 向相邻小编码电路输出。另一方面，差分信息 2911 与根据现在的量子化步长尺寸和系数 K_3, K_4 以及画面内的位置信息等计算的控制信息 2914 组合，利用预先确定的计算方法可以得到并输出量子化步长尺寸 213。这里， K_1, K_2, K_3, K_4 都是小于 1、大于 0 的值，最好 K_3+K_4 也小于 1 大于 0。另外，还控制 K_3, K_4 ，以使代码量控制信息不会在 2 个相邻的小编码电路之间发生往复振荡，以及当信号 2710 的值为大的正数时信号 2711 不会成为大的正值，当信号 2712 的值为大的正数时信号 2713 不会成为大的正值，同样，当信号 2710 的值为绝对值大的负数时信号 2711 不会成绝对值大的负值，当信号 2712 的值为绝对值大的负数时信号 2713 不会成为绝对值大的负值。作为具体的数值例子，可以举出 $K_1=1, K_2=1, K_3+K_4=0.25$ 等。

通过将信号 2713 的输出系统由延迟电路 2907 进行延迟，吸

收小编码电路 2702—2 与 2702—3 的处理开始时刻的时间差，可以在画面上从基本上相同的水平位置进行控制。相反，在信号 2711 到达的时刻，由于小编码电路 2701—1 已结束该水平位置的编码处理，所以，作为控制的对象的位置便在画面上偏移向右边。

图 30 是小编码电路 1101 的变形例子，与图 12 的电路的不同之处是设置了代码调整电路 3001。另外，图 31 是小编码电路 1001 的另一变形例子，与图 30 的电路的不同之处在于设置代码调整电路 3101 的位置。图 30，图 31 的代码调整电路 3001，3101 具有操作从可变长编码电路 5 输出的代码 3010 使之成为指定的代码量的功能。代码量的设定从编码装置外部进行，例如，通过设定 1 帧的代码量的最大值和从某一帧到另外一帧间的代码量的值而进行。代码量的调整主要利用前面说明过的代码量控制电路 212 等进行。但是，难于正确地进行控制，并且将产生某种程度的代码量的误差。代码调整电路 3001，3101 调整该误差，进行高精度的代码量的控制。

图 32 是代码量调整电路 3001 的详细图。输入的代码 3010 顺序输入移位电路 3201。在移位电路 3201 中，在输入指定的位数的时刻将输入的信号按并行代码 3210 进行输出。利用表 3202 判断并行代码 3210 的哪一部分为可变长代码的分界点，并输出该位数 3211 和表示一系列代码串的分界代码的信号 3212。例如，设可变长代码为 10、11、010、011、0010、0011 这 6 种(A—F)，代码 0001 为分界信号(z)，则表 3202 的内容具有 4 位的输入值，与各输入值对应地预先设定以下的输出值。

表 3202 的设定例 1

输入值	输出值(位数)	输出值(分界代码)
A 10XX	2	0
B 11XX	2	0
C 010X	3	0
D 011X	3	0
E 0010	4	0
F 0011	4	0
Z 0001	3	1
	0011	0(未使用)

其中，输入值用 2 进制数表示，符号 X 表示即可以是 0，也可以是 1。即，输入值 01X 表示为输入值 010 和 011 这两种值。另外，分界代码输出为 1 时，表示代码为分界代码。在本例中，输入的代码 3010 从输入值的 3 位(左侧)开始填写。从表 3202 输出的位数 3211 输入移位电路 3201，数据只移位位数 3211 的位数。这时，如果需要，可以输入代码 3010。另一方面，并行代码 3210 和与其对应的位数 3211 分别输入并存储到代码 FIFO 3203 和代码长度 FIFO 3204 内。其中，不论实际的代码长度(位数 3211)如何，在代码 FIFO 3203 内，都有存储着并行代码 3210 的全部位数，即，在上述表的例子中，存储着 4 位。另一方面，当该代码为分界代码时，使通过表示分界代码的信号线 3212 通知给控制电路 3205。在通常的情况下，代码 FIFO 3203 和代码长度 FIFO 3204 存储的信号在指定的时刻向信号线 3213 和 3214 输出，由并/串变换电路 3206 根据代码 3213 和代码长度 3214 再生出可变长代码串 3011，其中，控制电路 3205 根据分界代码的位置控制并/串变换电路 3206，进

行代码的增加及删除的调整，以便其成为指定的代码量。下面，给出调整的例子。

发生的信息为“AEAD_zAAB_z”时，输入代码成为“10 0010 10 011 0001 10 10 11 0001”共 25 位。代码串表示左侧为开头即先传输的值。为了容易看，在代码的分界部分插入空白代码。但是，实际上是输入连续的代码串。这时，代码按照表 3202 进行分离，下面的数据顺序输入代码 FIFO 3203 和代码长度 FIFO 3204。

	代码 FIFO	代码长度 FIFO	(分界代码)
1	1011	2(A)	0
2	0010	4(E)	0
3	1001	2(A)	0
4	0110	3(D)	0
5	0001	4(z)	1
6	1010	2(A)	0
7	1011	2(A)	0
8	1100	2(B)	0
9	0001	4(z)	1

其中，通过删除分界代码的前 1 个代码来减少代码量。即，删除第 4 个信息 D 和第 8 个信息 B。结果，输出的可变长代码串 3011 就成为“10 0010 10 0001 1010 0001”共 20 位。通常，如果减少代码，就会使再生的信号质量变差。并且，当质量恶化的图像作为预测图像使用时，由于编码装置的预测图像和译码装置的预测图像会因该质量恶化而有若干不同，所以，该质量恶化还会波及以后的画面。因此，通过对以下的情况优先进行代码删除，可以将图像恶化在

视觉上抑制到最小限度。(1)B 图像的 DCT 系数；(2)振幅小的 DCT 系数(即 +1, -1 的情况)；(3) 高频率的 DCT 系数。

另外，不删除代码，而通过置换为代码字长短的代码也可以获得同样的效果。例如，可以通过使高频率的 DCT 系数或直流成分的振幅减小 1 个电平而实现。

为了增加代码量，可以通过用并/串变换电路 3206 在译码装置中插入译码不使用的挤入代码而实现。例如，在 MPEG 的情况下，有在表示代码同步的起始代码之前插入 8 的倍数个 0 位的方法。另外，通过置换为表示相同信息并且代码字长更长的代码，也可以获得同样的效果。例如，在 MPEG 的情况下，将 2 位—17 位的可变长代码分配给一部分 DCT 系数，同时，也可以分配 20 位或 28 位的固定长代码。因此，通常，通过将作为小于 17 位的可变长代码而编码的 DCT 系数置换为 20 位或 28 位的固定长代码，可以增加代码量。在该代码的增加处理中，不会直接使图像质量恶化。

通过组合这些代码量的增减的调整处理，可以微调为指定的代码量。代码调整电路 3001, 3101 在可变长编码电路 5 中也可以与编码同时进行。另外，代码 FIFO 3203 和代码长度 FIFO 3204 也可以是移位寄存器、缓冲器和环形缓冲器。

代码调整电路 3101 的结构和代码调整电路 3001 基本上相同。不同之处是在图 30 中通知代码缓冲器 6 通知的代码发生量 10 的功能。由于在代码缓冲器的输出之后进行代码量的调整，所以，在 1 画面的编码结束并将代码全部存储到缓冲器 6 内，发生代码量成为已知之后，便可进行代码量的调整。因此，可以进行 1 画面单位等比较大的单位的高精度的调整。

通过进行这种代码量的高精度的调整，可以进行将代码串中的一部分置换为别的代码的操作。即，在电视的数字广播中，相当于在某一图像的广播中将广告或临时新闻等插入到其一部分之中的情况。在这样的置换操作中，如果被置换的部分与置换成的部分的代码量不同，则在译码装置中暂时存储代码的缓冲器 1901 将发生上溢或下溢，从而导致图像质量恶化。利用本发明的高精度的代码量调整，便可防止发生这种恶化或者将恶化的概率抑制到最小限度。

前面所示的表 3202 利用下面的变形例子，可以减少其数据容量。即，将并行代码 3201 分离为与其开头连续的代码 0 的个数和排列在最早的代码 1 之后的代码进行输入。在上述代码的例子中，由于与开头连续的 0 的个数最多为 3 个，排在最早的代码 1 之后的代码长度最多为 1 位，所以，表的数据种类与上述设定例 1 的情况(16 种 4 位)相比，可以减少一半，成为 8 种 3 位。这时，在移位电路中需要和与开头连续的 0 的个数相等的计量电路。下面，给出按照本变形例的表 3202 的设定例子。在输入值一项中，左半部 2 位表示代码 0 的连续个数的 2 进制数，右边的 1 位表示排在最早出现的代码 1 之后的代码。

表 3202 的设定例 2

输入值	输出值(位数)	输出值(分界代码)
A 00 0 (10XX)	2	0
B 00 1 (11XX)	2	0
C 01 0 (010X)	3	0
D 01 1 (011X)	3	0

E	10 0 (0010)	4	0
F	10 1 (0011)	4	0
Z	11 X (0001)	3	1
(— — 0000)		1	0(未使用)

在该表的设定例中,为了对“0000”的代码进行译码,必须使表示 0 的连续个数的位再增加 1 位,但是,在 *MPEG* 等中,全部由 0 构成的代码有可能会与同步代码混同,通常是禁止的,所以没有问题。本变形例越设定与开头连续的 0 的连续个数长的代码,表的数据数减少的效果越大。例如,由于除了最末尾的代码位外, *MPEG* 的 *DCT* 系数的可变长代码最长有 16 位的代码,所以,必须有 2^{16} (65536) 个表数据。但是,与该代码的开头连续的代码 0 的个数最多为 11 个(4 位),排在最早出现的代码 1 之后的代码长度最多为 5 位,所以,总共为 9 位,即使用 2^9 (512) 个表数据就够了,从而可以将表尺寸减小为 1/128。通过减小表尺寸,可以减小例如实现大规模集成电路(*LSI*)化时的芯片尺寸,从而可以降低 *LSI* 制造成本,实现表存取的高速化,所以,可以利用相同的电路规模实现更高速的处理,或者在相同的处理速度下可以采用更小型、价格低的电路结构。

图 32 所示的移动电路 3201 和表 3203 的电路结构也可以应用于译码装置的可变长译码电路。这时,表 3203 的结构既可以应用设定例 1,也可以应用设定例 2,如果应用设定例 2,可以获得与在上述代码量调整电路的说明部分所示的相同的效果。应用本发明的可变长译码电路既可以应用于由多个小译码电路 1702 构成的译码装置,也可以应用于由单一的译码电路构成的译码装置。

图 33 是图 23 的帧存储器电路 2201 和图 24 的动检测电路 2203 的变形例。本变形例的特征在于：使图 23 的帧存储器电路 2201 和图 24 的动检测电路 12 成为存储场单位的图像，这样，只与帧单位的编码处理对应的电路就变成也可以与场单位的编码处理对应了。具体地说，就是由于在构成 1 帧的 2 场之间可以进行预测处理，所以，在动矢量大的图像编码时也可以实现和通常的图像时大约相同的编码效率。在动检测电路 2203 中，通过与后面所述的图 35 的动补偿电路组合应用，如图 25 的动矢量检测电路那样，即使不使用检测场/帧两种矢量的检测电路，也可以使用先有的图 6 那样的动矢量检测电路检测场/帧单位的动矢量。另外，由于对每 1 帧进行动检测，所以，检测单位可以为 16×8 像素，使用帧单位检测时的一半就够了。因此，动矢量检测电路 450 内的检测电路数可以使一半即 $N/2$ 个进行检测，从而动矢量检测电路的电路规模可以减小为约一半。

图 33 的动作与图 23 的动作基本上相同。在图 33 中，将图 23 的各存储器 401—404 和参照图像用的存储器 2301, 2302 分割为 2 个，分别存储数据量为一半的场图像。进行编码处理的图像与图 23 的情况一样，由选择电路 405 进行选择，处理 1 帧中哪一场，使用开关 3301 或开关 3302 或开关 3303 进行选择。对图像按帧单位进行编码时，这些开关例如按每一行进行切换，按场单位进行编码时，将各开关设定为下侧（401—2, 403—2, 404—2 的输出一侧）。另一方面，参照用的图像存储到存储器 2301、2302 内，根据图 34 所示的时间控制选择电路 3304。信号线 3350、3354 输出构成帧的 2 场中时间上位于前方的场（场 A）的参照图像，信号线 3351

输出位于后方的场(场 B)的参照图像。这些参照图像的切换时间如图 34 所示的那样，在 I 图像或 P 图像(图中用粗线包围输入信号的图像) 输入结束的时刻进行切换。但是，信号线 3350 在从输入结束延迟 1 场时间后进行切换。这些参照信号都由动检测电路 2203 检测动矢量，但是，动矢量检测电路 3321 主要检测场 A 的参照图象的后方预测矢量，动矢量检测电路 3322 主要检测场 B 的参照图像的后方预测矢量，动矢量检测电路 3323 检测场 A 的参照图像前方预测矢量，动矢量检测电路 3324 检测场 B 的参照图像的前方预测矢量。另外，动矢量检测电路 3321 利用 帧存储器电路 2201 内的选择电路 3306 暂时地切换信号，也可以应用于 P 图像内的场间预测，即将场 6A 作为参照图像、将场 6B 作为输入图像的前方预测矢量(图 34 中的 * 符号)。检测的矢量分别存储到缓冲器 3325—3328 内，作为临时的动矢量 2211 从后面的动补偿电路读出。

图 35 是图 22 的动补偿电路 2202 的详细图。在动补偿电路 2202 中，根据动检测电路 2203 检测的临时动矢量 2211 从帧预测/场预测中确定最佳的预测方法和最佳的矢量 9，并输出差分图像信号 2212。同时，也进行半像素精度的动矢量检测。下面，使用图 36A, B, C 说明确定最佳的预测方法的例子。

图 36A 是说明按每场进行编码时的预测方法的选择法的图。图中的圆圈符号表示 1 条扫描线(水平方向的像素串)，纵方向与画面的垂直方向对应，横方向与时间轴对应。图示是场中只取出包含相同的宏块中的 4 行进行描述的，由于采用隔行扫描的结构，所以，第 1 场和第 2 场成为在垂直方向只错开半行的结构。图中，示出了 4 场的图像，左侧的 2 场表示参照图像(参照 A, 参照 B)的

场，右侧表示进行编码的图像(代码 A, 代码 B)的场，右侧 2 场、左侧 2 场分别是在时间上连续的场，但是参照场和编码场不一定连续。但在本图中省略了参照与编码场之间的场。图中的箭头表示由图 33 的动检测电路检测的动矢量的垂直分量。本来应在对应的所有扫描线间标上箭头(图中，每条代码扫描线应标上 2—3 条，共计为 16—24 条)，但是，在本图中，为了容易看，选择其中的代表，标在容易看位置。因此，例如图中标着 $fA0$ 的预测的矢量，从标为参照 A 的场的第 1 条扫描线画到标为代码 A 的场的第 1 条扫描线，但是，实际上方向和大小相同的箭头分别在第 2—4 条扫描线间也存在，只是省略了这 3 条。图中箭头旁边附加的 3 字符的符号，第 1 个字符表示前方预测矢量(f)或后方预测矢量(b)；第 2 个字符表示第 1 参照场(A)或第 2 参照场(B)；最后 1 个字符表示预测的种类(参照→代码 A:0, 参照→代码 B:1, 代码 A→代码 B:2)。即，头 2 个字符的 4 种组合与图 33 的动矢量的缓冲器 3325—3328 对应，最后一个字符表示存储到缓冲器内的顺序。在每 1 场的编码中，代码 A 的场进行编码时，使用矢量 $fA0$ 从参照 A 场或使用矢量 $fB0$ 从参照 B 场的预测中选择预测误差小的进行编码。同样，在代码 B 的场进行编码时，使用矢量 $fA2$ 从代码 A 场(在场单位的编码中，代码 A 场的编码结束之后成为代码 A 场的新的参照场)或使用矢量 $fB1$ 从参照 B 场的预测中选择预测误差小的进行编码。这些处理在按场单位编码的 B 图像中也相同。但是，在 B 图像的前方预测中，由于不能进行代码 A→代码 B 的预测，所以，使用矢量 $fA1$ 取代矢量 $fA2$ 。在进行后方预测时，使用将前方预测时的矢量的符号 f 置换为 b 的矢量，同样可以进行。这些场单位编

码时的预测，都是将 16×8 像素单位的预测作为基准的。即，是将 16×16 的宏块分割为上下两部分的预测，每 1 个宏块需要 2 个动矢量。这 2 个动矢量的值相同时，可以置换为 16×16 像素单位的预测。图中和以后将使用矢量 $fA0$ 根据参照 A 场生成的预测图像表述为 $R(A, fA0)$ 。

在按帧单位的编码中，主要使用帧单位的预测和分割为 2 场的预测。在一般的图像中，由于静止部分及水平方向的动作较多，所以，图中水平的矢量（参照 $A \rightarrow$ 代码 A ，参照 $B \rightarrow$ 代码 B ）多，这些包含在帧单位的预测中。另一方面，在除此以外的动作中，根据时间上相近的场的预测即根据参照 B 的预测增多，这些包含在场单位的预测中。因此，利用帧单位的预测和根据参照 B 的预测可以覆盖大部分动作。帧单位的前方 (P, B 图像) 预测时的矢量使用 $fA0$ 或 $fB1$ 。在理想的情况下，这 2 个矢量的值相同。但是，实际上也有若干不同的情况。因此，生成与 2 个矢量 $fA0, fB1$ 对应的帧预测信号，选择预测误差小的。在选择之后，检测根据参照 B 的场预测信号的预测误差，选择三者中最佳的。帧单位的后方预测时，使用将前方预测时的矢量的符号 f 置换为 b 的矢量，同样可以进行。但是，场预测时使用矢量 $bA0, bA1$ 根据参照 A 场生成预测信号。

现在再返回到图 35，控制电路 3510 根据输入的矢量 2211（上述 $fA0$ 等）将 4 种图 36 右边中央的表所示的参照图像信号存储到 4 个存储器 3502—3504 内。信号存储时，存储将由动矢量所示的部分 16×8 像素和其左右 1 像素、上下 2 像素组合后的 18×12 像素。图 36A, B, C 的右侧的表中，用或表示的信号使用矢量检测时

误差小的。图 36B 的情况，是将矢量检测时的误差信号与矢量值一起存储到缓冲器 3327 等内，当矢量 $fA0$ 的误差小于矢量 $fB1$ 的误差时，将 $R(B, fA0)$ 存储到存储器 3503 内，矢量 $fB1$ 的误差小时，将 $R(A, fB1)$ 存储到存储器 3503 内。从存储器 3502—3504 存储的信号中同时读出需要的信号，由预测信号电路 3505 生成 2 种预测信号 3520, 3521。预测信号 3520 是帧预测信号（图 36A, B, C 的预测信号框内的第一或第 2 预测信号），预测信号 3521 是场预测信号（图 36A, B, C 的预测信号框内的 3 预测信号）。预测信号 3520, 3521 输入半像素电路 3507—1—9，生成矢量 2211 的 ± 0.5 像素范围的半像预测信号 3530—1—9 和 3531—1—9。这些信号由检测器 3506—1—9 取出编码图像信号 203 和每个像素的差分，计算 16×8 像素全体的误差功率 3551 和 3552。最小值选择电路 3554 选择误差功率 3551, 3552 中小的，将选择信息和误差功率输给信号线 3523—1。最小值选择电路 3508 将各检测器 3506—1—9 的输出 3523—1—9 的误差功率进行比较，选择最小的。选择结果作为预测的模式和半像素单位的动矢量向信号线 9 输出。另一方面，各半像素预测信号 3530—1—9 和 3531—1—9 以及编码图像信号 203 存储到选择差分电路 3509 内，选择误差最小的预测信号，按每个像素作为差分图像信号 2212 而输出。

预测信号生成电路 3505 从存储器 3502—3504 内顺序读出图 36 图 B, C 右端所示的预测信号组（符号 | 两侧所示的组），按每 1 行（18 像素）而输出。图 36A, B, C 右端所示的预测信号组中，第 1 组和第 2 组表示帧预测信号，第 3 组表示场预测信号。如前面所述的那样，第 1 组和第 2 组根据动矢量检测时误差的大小只使用

其中的某 1 组。

图 37 是半像素电路 3507 的详细图。输入的帧预测信号 3520 由延迟电路 3710 和 3701—3708 延迟指定的时间后，由平均值电路 3709 计算其一部分的平均值，输出半像素帧预测信号 3530。75 像素输入结束时刻的各信号线 3720_{a-i} 、 $A-I$ 和块的位置关系如下：

帧预测信号	场预测信号
$z z z z \dots z$	$I H G x \dots x$
$i h g x \dots x$	$x x x x \dots x$
$f e d x \dots x$	$F E D x \dots x$
$c b a x \dots x$	$x x x x \dots x$
$x x x$	$C B A$

$a-i$ 、 $A-I$ 分别表示信号线 3720_{a-i} 、 $A-I$ 保持着该位置的像素， x 表示保持在延迟电路内， z 表示已经废弃。在 75 像素输入结束的时刻，输入编码图像信号 202。即，编码图像信号的第 1 像素与由前面的动矢量的 e 或 E 所示的位置的像素对应。按照半像素信号的生成法，例如与编码图像信号的第 1 像素对应的预测信号值当半像素的矢量为 $(-0.5, -0.5)$ 时，在帧预测中成为 $(i+h+f+e+2)/4$ ，在场预测中成为 $(I+H+F+E+2)/4$ ；当半像素的矢量为 $(0, +0.5)$ 时，在帧预测中成为 $(e+b+1)/2$ ，在场预测中成为 $(E+B+1)/2$ ；当半像素的矢量为 $(0, 0)$ 时，在帧预测中成为 e ，在场预测中成为 E 。这里，符号 / 表示将除法运算结果四舍五入取整数的操作， $a-i$ 、 $A-I$ 分别表示信号线 3720_{a-i} 、 $A-I$ 的值。在平均值电路 3709、3719 中求平均值的方法都随各电路 3507—1—9 而

异。例如，在平均值电路 3709 中，进行如下计算。

检测电路	对应矢量	计算
3507-1	(-0.5, -0.5)	$(i+h+f+e+2)/4$
3507-2	(-0.5, -0)	$(h+e+1)/2$
3507-3	(-0.5, +0.5)	$(g+h+d+e+2)/4$
3507-4	(0, -0.5)	$(f+e+1)/2$
3507-5	(0, 0)	e
3507-6	(0, -0.5)	$(e+d+1)/2$
3507-7	(+0.5, -0.5)	$(c+b+f+e+2)/4$
3507-8	(+0.5, 0)	$(e+b+1)/2$
3507-9	(+0.5, +0.5)	$(e+d+b+a+2)/4$

场预测信号同样也由延迟电路 3711—3718 延迟指定的时间后，由平均值电路 3719 计算其一部分的平均值，输出半像素帧预测信号 3531。平均值的求法都随各电路 3507-1—9 而异。其中，延迟电路 3713, 3716 是 36 像素的延迟；延迟电路 3703, 3706, 3710 是 18 像素的延迟；除以外的延迟电路是 1 像素的延迟。以上，是按帧单位进行编码的情况，按场单位进行编码时，将 2 个场预测信号输入 3520, 3521，进行与帧预测一样的计算。这时，从外部进行设定，以便延迟电路 3710, 3713, 3716 分别成为 0 像素、18 像素、18 像素的延迟，即，以使半像素电路 3507 的上半部和下半部进行相同的处理。

图 38 是代码量控制电路的实施例。与先有的代码量控制电路不同的地方是将动矢量检测时使用的各误差信号 3810 存储到代码

量存储器 3801 内，用于进行代码量控制。如已说明过的那样，动矢量的检测在编码之前进行。因此，如果根据这时产生的各部分的误差的大小进行画面内的发生信息量的偏移的预测，就可以进行高精度的代码量控制。另外，由于可以将较多的代码分配给信息量多的地方，所以，还具有使画面的画面质量保持一定的效果。具体地说，就是与每个指定的小区域的差分之和成正比地将代码分配给该小区域。即，设第 i 个小区域的误差值为 $Er(i)$ 、到第 i 个小区域为止的误差值的累积值为 $Ser(i)$ 、区域数为 n 、分配给 1 画面的代码量为 B ，则将到进行编码为止的部分的误差值之和与全画面的误差值之和 $Ser(n)$ 的比值即 $Ser(i)/Ser(n)$ 通过信号线 3811 通知给代码量控制电路 3803。在代码量控制电路内，将 $B * Ser(i) / Ser(n)$ 与实际发生的代码量进行比较，如果发生代码量一方多，就控制使画面质量变粗糙，如果发生代码量一方少，就控制使画面质量变精细，以使之成为分配的代码量。上述说明是以画面内的小区域间的代码量的分配法为例进行的，但是，也可以适用于数个画面(例如 P 图像和与其前面连续的 B 图像)中画面间的代码量的分配法。另外，当全画面的误差值之和大于一定值时，将该画面作为 I 图像进行编码的控制方法也包含在本发明中。上述说明是以动矢量检测时使用的每个像素的差分的绝对值之和作为误差值为前提进行的。但是，也可以使用动矢量检测时别的类似度的评价值例如每个像素的差分的平方和或者利用 阿达玛罗变换或 DCT 变换等将差分信号进行正交变换后的信号的绝对值之和等作为评价值。由于这些评价值更接近于实际发生的代码量，所以，可以获得精度更高的代码量控制。另外，使用上述每个像素的差分的绝对值

之和或将上述评价值变换后的值例如进行求平方及取对数处理等处理后的值，也可以获得提高控制精度的效果。另外，既可以应用于将图像进行分割处理的编码装置，也可以应用于由单一的编码电路构成的编码装置。

图 39 是图 38 的代码量控制电路的变形例子。和图 38 的实施例不同的地方是代码量控制用的存储器有 2 套，其中的一套可以从外部与输入图像对应地设定。在图 38 的实施例中，画面内的画面质量控制为一定。但是，实际上使一部分的画面质量更高将会感到整个画面的画面质量提高了，另外，对于编码者有意识地提高画面的一部分的画面质量也是有用的。这时，将代码分配的权重系数 3910 输入代码分配修正用存储器 3901 内，在代码量控制电路 3902 内，对读出的系数 3911 进行加权后确定量化步长尺寸。将画面分割为几个小区域时，将与各小区域对应的代码分配的权重系数存储到代码分配修正存储器 3901 内。例如，每 1 小区域具有 8 位的存储器，设存储在存储器内的值为 $W(0-255)$ 时，使量化的值暂时成为 $W/128$ 倍。

代码分配的权重系数 3911 的输入，既可以在编码开始时一次设定，也可以按每 1 画面进行设定。按每 1 画面设定，可以获得更精细的修正。相反，将输入的代码分配的权重系数的信息量将增加。例如，对于 1920 像素 \times 1024 行 \times 30Hz 的图像，对 16 \times 16 像素输入 8 位的系数时，就成为约 1.8Mbps 的传输速率。用于降低代码分配的权重系数的传输速率的以下的变形例也包括在本发明中。

(1) 扩展代码分配的权重系数对应的区域或减少系数的位数。

例如，对 64×16 像素分配 4 位的系数时，传输速率就成为 $1/8$ 。小区域的形状可以是任意的，但是，按宏块单位设定可以进行正确的修正，采用连续处理的 L 个宏块的形状(水平 $16 \times L$ 像素、垂直 16 像素)时，对代码分配修正用存储器 3901 不进行随机地存取也可以，所以，可以减少存储器的地址电路。另外，应用于水平分割的编码装置时，也可以不具有多余的代码分配修正用存储器。

(2) 将代码分配的权重系数向预先确定的帧数(Nw 帧)输入 1 次。这样，传输速率就成为 $1/Nw$ 。

(3) 将权重系数编码后进行传输，在代码分配修正用存储器 3901 进行输入时，译码后再输入。例如，当相同的权重系数连续时，传输与该系数值连续的个数。设连续数的最大值为 255 个(8 位)，每次系数值变化时发生 16 位的信息。设每 1 宏块行(在上述例中，为 1920×16 像素)平均有 10 次的变化点，传输速率为 $300Kbps$ ，成为 $1/6$ 。如果对连续数使用霍夫曼代码等可变长进行编码处理或用可变长代码对系数值的变化差分值进行编码处理等，则可进一步降低传输速率。但是，在该变形例中，由于每 1 画面的权重系数的代码量可变，所以，必须进行通知传输开始、结束等控制。

(4) 传输描述数帧的权重系数的分配的代码，在代码分配修正用存储器 3901 输出时将该代码展开，得到所希望的系数值。下面，给出分布的描述的例子。该例子是使 3 帧相同的系数值连续之后，由于画面向右移动，所以，系数值也向右偏移的例子。() 表示与() 内的标明的处理对应的代码。

(传输 1 画面系数值) (第 1 系数值) (第 2 系数值) … (最后 1

个系数值)

(使用和前 1 画面相同的系数)

(使用和前 1 画面相同的系数)

(使用前画面左边相邻的系数) (画面左端第 1 系数值)(画面左端第 2 系数值)

.....(画面左端最后 1 个系数值)

.....

通过将上面这样的编码处理与上述(3)的变形例组合，可以进一步降低传输速率。另一方面，虽然代码的分析处理变得复杂，但是，只要设置微处理器或数字信号处理器等，利用软件进行处理，增加很少的硬件就可以实现。另外，既可以应用于将图像进行分割处理的编码装置也可以应用于由单一的编码电路构成的编码装置。

图 40 是图 13 所示的共有存储器电路 1102 的变形例子。在图 13 中，具有 2 套与各小编码或译码装置对应的存储器，分为读出用和写入用，但在图 40 中读出和写入使用 1 个存储器 1303 进行。通过进行这样的处理，虽然存储器管理电路 4001 的电路规模略微增大，但是存储器 1303 的数量可以减半。存储器元件由于其集成度很高，所以，将把 1 画面分割成 4 等分的图像大小的图像(1920 像素×256 行×8 位+相应的颜色信号，约为 6M 位)存储到 1 个元件内是完全可能的，并且，存储到 1 个元件内也可以减小电路规模。

在存储器管理电路 4001 内增加了存储器的读出功能。存储器的读出处理与写入处理一样，利用信号线 1104 设定读出块的开头

像素的地址等，设定之后，将所希望的像素连续地或间歇式地向信号线 1104 的数据线输出。读出地址的设定，也可以设定宏块的顺号、宏块内的块的顺号及该宏块的动矢量来取代开头像素的地址。

图 40 的共有存储器电路，由于存储器的存取次数为 2 倍，并且在设定读出之后到输出相应的像素数据之前的时间有若干延迟，所以，本变形例应用于存取次数比较少的译码电路(图 17)时特别有效。

图 41 是图 40 的变形例，图 40 的存储器 1301—1~4 合并为 1 个存储器 4101。因此，存储器管理电路 4102 利用 1 条总线 4110 进行所有的小编码电路或小译码电路的存储器的存取。在存储器管理电路 4102 内部，FIFO 或缓冲存储器与各地址输入线连接，在该 FIFO 或缓冲存储器内设定地址的时刻对存储器 4101 的指定地址进行存取。基本上在同一时刻进行几个地址设定时，对这些设定标上顺序，按顺序进行处理。为了标上顺序，可以有如下方法，即从较早时刻写入的地址开始进行处理的方法，以及确认 FIFO 或缓冲存储器有无按照预先确定的顺序进行设定，对已作了设定的进行处理的方法等。后者具有可以自由地设定存取的优先顺序，但是，有时优先顺序位低的设定之后到进行数据处理之间的等待时间将增长。

在使用图 40、图 41 的变形例的译码电路中，根据存储器的存取次数最多的情况决定存储器的存取速度。例如，在前面说明过的 MPEG 中，在进行 B 图像的内插预测时，存储器的存取次数最大，每 1 像素为 4 次(预测图像读入 2 次，再生图像写入 1 次，显

示读出 1 次)。另外，虽然省略了说明，但是，在 MPEG2 中采用的双原始预测也和 B 图像一样，需要进行 4 次存取。对于 $1920 \times 256 \times 30Hz \times 1.5$ (颜色信号部分) 的图像，约为 22M 像素/秒，所以，需要进行 88M 像素/秒的存取。现在，大容量的存储器的存取速度约为 30—40ns，所以，通过 1 次存取 2 像素(16 位)，便可实现 88M 像素/秒的存取。但是，这时必须将存取的辅助操作限制到最小限度，所以，电路结构将变得复杂，从而电路规模将增大。另外，实际上由于 1 画面内的预测全部是内插预测或双原始预测的情况几乎没有，所以，平均的存取次数更少。因此，按照存储器的存取次数比 88M 像素/秒少的值设计电路，当存取处理次数超过或有可能超过指定的次数时，通过附加利用简化处理进行内插预测或双原始预测的电路，可以减小小译码电路和整个译码装置的电路规模。作为内插预测或双原始预测的简化处理，如图 42 所示的那样，通过将以往求 2 像素的平均的预测值使用其中的某 1 像素置换而实现。这时，向存储器的存取次数，每 1 像素成为 3 次。图 42 (1) 表示先有的内插预测或双原始预测的内插处理，图 42(2)～(4) 表示简化处理，只读出图中标以圆圈符号或黑圆点符号的像素。利用这些简化处理而再生的图像的画面质量会稍许变差，但是，由于将与两种预测类似的图像的平均值作为预测图像，进行简化处理的块数在概率上非常少，所以，再生图像的恶化通常几乎看不出来。另一方面，简化处理的效果是可以实现上面说明过的电路的小型化。或者反过来讲，使用和先有相同的电路，可以使用更低速的存储器。使用低速存储器时，除了可以降低电路成本外，还可以使用最前端的大容量存储器(通常，与更高速的存储器相

比，存取速度慢），也有减小电路规模的效果。在(2)的简化处理1中，通过将只使用一种预测图像的译码模式强制地从例如内插预测切换为前方预测，可以将电路的增大抑制到最小限度。另一方面，在(3)的简化处理2中，由于按每行切换预测图像，所以，可以在预测图像中反映出2种预测图像的特征。通常，2种预测图像几乎是相同的，在标准化的规定中，允许任意图像的组合。即使2个图像不同，简化处理2也可以将简化处理引起的画面质量恶化抑制到最小限度。简化处理2也包括按垂直方向分割的方法。(4)的简化处理3是在简化处理2上加上水平方向的变化，由于简化处理引起的误差的频率成分不论垂直方向还是水平方向都是高频成分，所以，人的视觉难以感觉到，具有感到画面质量恶化很小的效果。此外，(5)的简化处理4是在简化处理2中，在使用预测图像2的像素的地方根据预测图像1的周边的像素生成空间内插的像素，在该空间的内插像素与预测图像2的像素之间进行平均值处理，生成预测图像。这时，预测图像生成的电路结构略微复杂，但是，对处理速度影响最大的向存储器的存取频度与其他简化处理相同。而简化处理引起的画面质量的恶化可以比其他简化处理时抑制得更小。图中，在空间内插像素作成时，虽然边界的像素不使用空间内插像素，但是，使用块外的像素生成空间内插像素的方法和以块内在空间上位置靠近的像素作为空间内插像素的方法也包括在本发明中。另外，简化处理4是以简化处理2为基础进行的，但是，将空间像素内插的方法应用于简化处理3也可以获得同样的效果。

本发明对于上述说明以外的任何像素数的图像都可以应用，

并且可以获得电路小型化的效果。另外，不限于进行图像分割的译码装置，也可适用于具有单一的译码电路的图像译码装置，并具有相同的效果。

图 40、图 41 所示的电路结构和控制方法可以应用于图像编码装置。

图 43 是应用本发明的图像编码译码装置的实施例。根据画面上的相应位置分割图像信号和代码，进行编码和译码处理。输入图像信号 2—1 和输入代码 7—1 由代码/图像分割电路 4301 按照图像、代码各自独立的定时分割为 4 个，通过信号线 4310—1—4 输入编码译码电路 4301—1—4。在信号线 4310—1—4 中，图像信号和代码信号在空间上是重叠的。小编码译码电路 4301—1—4 对输入的图像信号进行编码处理，对代码进行译码处理。这些处理和已说明过的小编码电路 1101 及小译码电路 1702 相同。编码或译码的结果由图像/代码合成电路 4303 按照代码、再生图像各自独立的定时进行合成，得到输出代码 7—2 和再生图像信号 2—2。

编码译码中的参照图像，存储在共有存储器 4304 内，使用存取信号 4312 和读出信号 4313 进行存取。这些存取信号 4312 和读出信号 4313 在小编码装置和小译码装置中既可以在空间上重叠也可以在时间上重叠。共有存储器电路 4303 内部的存储器数可以是分别与小编码电路及小译码电路对应地各 1 个存储器，共计 8 个独立的存储器结构；也可以是对应的小编码电路及小译码电路各 1 个存储器，共计 4 个独立的存储器结构；也可以是小编码电路 1 个存储器、小译码电路 1 个存储器共计 2 个独立的存储器结构；或者是 1 个存储器结构。如果减少独立的存储器数，电路规模便减小，

相反，对1个小编码电路或小译码电路的存取速度将变慢，或者需要非常高速的存储器元件。存储器结构和存取用的信号的重叠方法可以分别独立，也可以全部组合。

图44是图11所示的图像编码装置的变形例。图44的变形例不仅可以适用于编码装置，而且也可以适用于译码装置和编码译码装置。

图44将图11的共有存储器电路1102分散地设置在各小编码电路4401内。因此，共有的部分的图像信息通过信号线4410—4415传输，存储到各小编码电路内的共有存储器内。在图44中，共有信息是只设定在小编码电路4401—1和2、2和3、3和4之间的例子。

图45是小编码电路4401—2的详细图。小共有存储器电路4501除了设置的位置与图12的小编码电路1101不同外，其动作与图12的小编码电路1101相同。小共有存储器电路4501除了存储相同的小编码电路4401局部再生的参照图像1103外，还以共有图像的小编码电路接收共有图像信号4411，4413，并存储到与参照图像1103相同的存储器内。另一方面，在参照图像11—3中，在其他小编码电路中作为共有图像使用的信号向共有图像信号4410或4412输出，传输给相应的小编码电路。小编码电路4401—3的结构和小编码电路4401—2基本上相同，与共有图像信号4410—4413的部分不同的信号线连接。另外，小编码电路4401—1、4的共有图像信号线的数量从4条变为2条。

图46是图45的小共有存储器电路4501的详细图。参照图像信号1103和共有图像信号4410，4413输入存储器管理电路4601，

存储到存储器管理电路 4601 内的缓冲存储器内或 FIFO 内。当数据输入缓冲存储器或 FIFO 内时，存储器管理电路 4601 就将该数据写入到存储器 1303 或 1304 的相应的位置。另一方面，存储器 1303 或 1304 的读出通过信号线 1104 和图 13 所示的共有存储器电路一样进行。

参照图像信号 1103 也输入传输开关 4604，如果输入的信号是共有的部分的信号，传输开关就向共有图像信号 4410 或 4412 输出，传输给相应的小编码电路。

按照上述图 44—图 46 的变形例，可以利用和图 11 相同的编码处理速度达到相同的编码效率。另外，通过将在图 11 中集中在共有存储器电路 1102 内的信号线进行分散，可以减少总体的信号线数。例如，设每个小编码电路的存取信号 1103 的信号线为数据 8 条，控制 2 条，读出信号 1104 的信号线为数据 8 条，地址 10 条，控制 4 条，则共有存储器电路 1102 的输入信号线数共为 128 条。另一方面，在图 44 的变形例中，设共有图像信号 4410—4413 的信号线分别为数据 8 条，控制 2 条，则共计为 60 条，减少为一半以下。另外，信号线的集中程度也与在图 11 中共有存储器电路一处有 128 条的情况相反，在变形例中成为 40 条。通过减少信号线的集中，当将图像编码装置 800 集成为 1 个 LSI(大规模集成电路)时，信号线的排列容易，芯片尺寸也可以减小。将小图像编码电路和共有存储器电路分别集成为 1 个 LSI 时，还可以避免由于共有存储器电路的 LSI 的引线数增加而引起成本上升。另外，将编码电路和共有存储器电路分别制作在 1 个基板上，利用接续器及电缆等将它们连接时，可以减少接续器或电缆数。在将图像进行水

平分割时，本变形例减少信号线条数的效果特别大。另外，分割数越多，减少信号线条线的效果越大。

图 47 是图 25 的动矢量检测电路 2401 的变形例。通过以动矢量检测电路 2401 为中心设置其周边电路，扩展动矢量的检测范围。在说明图 47 的详细情况之前，先利用图 48A, B, C 说明其动作的概况。图 48A, B, C 表示动检测使用的宏块的顺序和位置。第 1 例的上部为编码图像的宏块串，下部是参照图像的宏块串。1 个四边形与 1 个宏块(16×16 像素)对应，由 256 像素构成，从图左边的宏块开始顺序输入，进行处理。在图 25 的动矢量检测电路的说明中，假定各像素是从上面的像素开始沿水平方向扫描而输入的，但在本变形例中，是从左侧的像素开始垂直地扫描而输入的。这只是将图 25 的电路的动作的垂直地址(位置)与水平地址(位置)进行了交换，各动作完全相同。

在第 1 例的图 48A 中，参照宏块 1A, 1B, 1C 与代码宏块 1 的输入对应地输入，使用 1A, 1B, 1C, 2A, 2B, 2C 检索代码宏块 1 的动矢量。对于代码宏块 2，使用参照宏块 1A, 1B, 1C, 2A, 2B, 2C, 3A, 3B, 3C，其中，1A, 1B, 1C, 2A, 2B, 2C 保持着前面的代码宏块 1 的处理时输入的像素，只输入新的 3A, 3B, 3C 的像素。

代码宏块 2 和参照宏块 1B 在位置上对应，检索水平垂直士 16 像素(仅第 1 宏块为水平 0—+16) 的范围。通常，与参照宏块 2B 的位置的像素的类似性最高时，规定为动矢量(0, 0)，在读出参照像素的地址加上固定的偏移值，也可以以(0, 0)以外的点为中心进行检索。例如，在水平及垂直地址加上(8, 1)的偏移值，就可以

检索水平—8—+24 和垂直—15—+17 的范围。在第 1 例中，图示的参照图像的各宏块的顺序和画面上的宏块的位置一致。

图 48B 的例子是使上述偏移值按每个宏块变化的情况。例如，对于偏码宏块 2，使用参照宏块 $1A'$, $1B'$, $1C'$, $2A'$, $2B'$, $2C'$, $3A$, $3B$, $3C$ ，由于 $1A'$ 等是与 $1A$, $1B$, $1C$, $2A$, $2B$, $2C$ 不同位置的像素，所以，必须再次读出。结果，当使参照图像的读出速度与第 1 例相同时，处理速度成为 $1/3$ 。

图 48C 的例子是使偏移值按每 4 宏块改变的例子。这个例子与图 47 的电路相当。在第 3 例中，与第 1 例相比，处理量成为 $2/3$ ，但是，如果使改变偏移值的单位成为 8 宏块，则处理量成为 $8/10$ ，如果使改变偏移值的单位成为 16 宏块，则处理量成为 $16/18$ ，与例 1 相近。

现在再加到图 47 进行说明。当输入的参照图像 11(例如，图 48C 的 $3A-C$) 或 214 输入矢量检测电路 2401 时，便同时存储到存储器 4701-1, 2, 3 中的任 1 个之内(例如 4701-1)。另一方面，与此同时，在前面的例子中，从存储器 4701-2, 3 内读出存储的像素的数据(例如图 48C 的 $1A-C$, $2A-C$)，与输入参照图像 11 或 214(例如图 48C 的 $3A-C$)同时输入矢量检测电路 2401。另一方面，编码图像 202(例如，图 48C 的宏块 2)由延迟电路 4708 延迟指定的时间(在图 48A, B, C 的例子中，为 1 宏块的时间)后，输入矢量检测电路 2401，求出矢量。在求出的 3 个(帧，奇数场，偶数场)矢量 2410, 2411, 2412 输出的同时，分别输入加法器 4702, 4704, 4706。由这些加法器与存储在存储器 4703, 4705, 4707 内的同一编码画面的别的宏块的矢量值加法结果 4714, 4715, 4716 按

水平及垂直分量进行加法运算，然后再次分别存储到存储器 4703, 4705, 4707 内。控制电路 4750 将画面内的宏块分割为几个组，在存储器 4703, 4705, 4707 内按各组设置区域，将矢量值的相加结果存储到这些区域内。处理中的宏块属于某一组时，控制电路 4750 输出相应的存储器的地址 4713，将同一组内的所有宏块的矢量值按水平及垂直分量相加。控制电路 4750 在各组最后一个宏块处理结束时读出这些相加结果 4710, 4711, 4712。将这些相加结果除以组内的宏块数，便可得到各组的平均矢量。对于同一编码画面，从下一个连续的画面开始进行矢量检索时，将这些平均矢量作为各组的偏移值。在生成参照图像地址 4761 时，控制电路 4750 可以通过将该宏块所属的组的平均矢量作为偏移值加上去而实现。编码图像地址 4762 和通常的处理时一样，通过顺序读出编码图像的宏块而生成地址。

对于同一编码画面，从下一个连续的画面开始进行矢量检测时，通过将这些平均矢量作为各组的偏移值，即使缩小对 1 画面的矢量检索范围，也可以求出较宽范围的矢量。具体地说，就是当按 I、B、B、D 的顺序进行编码时，通过根据最开始的 I 图像求第 1B 图像的矢量，然后将求出的矢量的每 1 组的平均矢量作为偏移值和根据 I 图像求第 2B 图像的矢量并将第 2B 图像的矢量作为偏移值以及根据 I 图像求 P 图像的矢量的操作，对于 P 图像可以追踪 1 次矢量检索范围的水平垂直各 3 倍范围的活动。

画面内各组的形状是自由的，可以是分散的，但是，如在图 48C 的例子中说明的那样，最好在水平方向上几个宏块是连续的。具体地说，就是在水平方向大于 8，从电路结构和存储器的读出速

度角度考虑，最好是画面上水平宏块数(44 或 45)的整数分之一或 2 的幂次方。具体说来就是 8 或 9 或 11 或 16 宏块中的某一数与垂直 1—4 宏块中的某一数的组合。

组内的宏块数是 2 的幂次方时，平均矢量的计算可以利用移位操作，在电路方面也是有利的。当不是 2 的幂次方时，也可以用大于该数的 2 的幂次方相除。例如，当 1 个组为水平 8 宏块、垂直 3 宏块时，每 1 组就是 24 宏块，计算平均值时也可以用 32 相除。这时，得到的平均矢量为正确的平均矢量的 $3/4$ 的值，检索范围也是 $3/4$ (在前面例子的 P 图像中，为 $3 * 3/4 = 2.25$ 倍的范围)，具有可以减小组内的不规则移动等对矢量的影响的效果，在实际编码时，动矢量的代码量减少，有时也会获得高质量的画面。

在上面的说明中，假定组没有重复现象，但是，也可以使组相互有重复。但是，必须预先确定作为偏移值而使用的平均矢量是使用哪一组的平均值。作为组重复的例子，例如使用同一偏移值的组有水平 8 宏块、垂直 1 宏块、以及平均值计算使用的组为水平 8 宏块、垂直 3 宏块(上下 1 宏块)等。通过进行这样的重复，可以提高偏移值的矢量的精度，从而可以提高编码效率。计算平均矢量时，也可以使用加权平均值，在上述重复块的例子中，上下块的矢量也可以按 $1/2$ 的权重进行计算。另外，例如，在上述例子的重复块的处理中，存储器 4703、4705、4707 的读出速度和加法器 4702、4704、4706 的处理需要 3 倍的处理速度。

按照本发明，由于几乎不降低图像的编码效率便可实现电路各处的动作速度低速化，所以，可以实现小型化、价格低的图像编码装置或图像译码装置或图像编码译码装置。

说 明 书 附 图

图 1

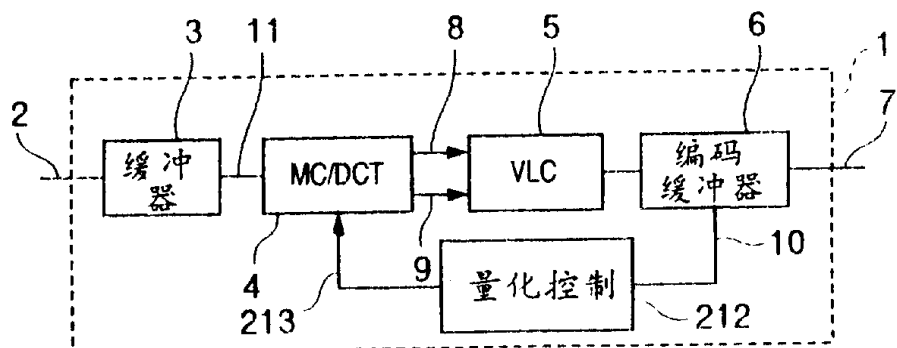


图 2

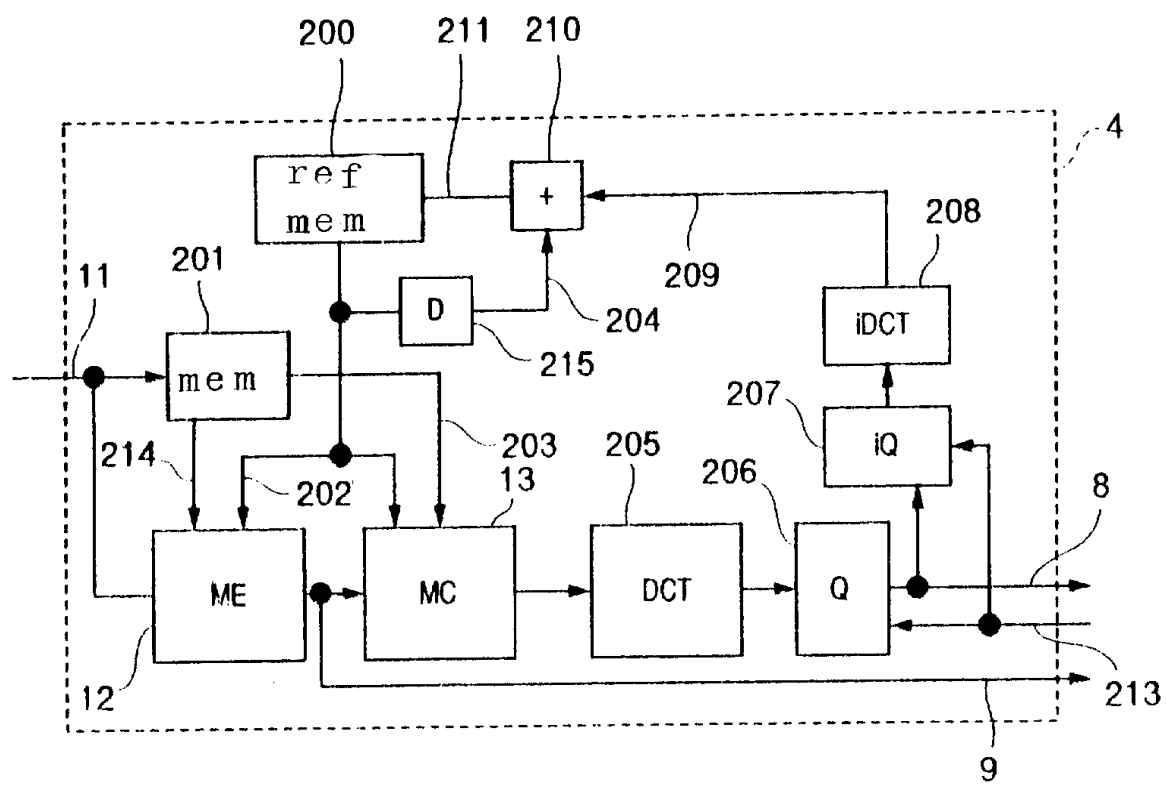


图 3

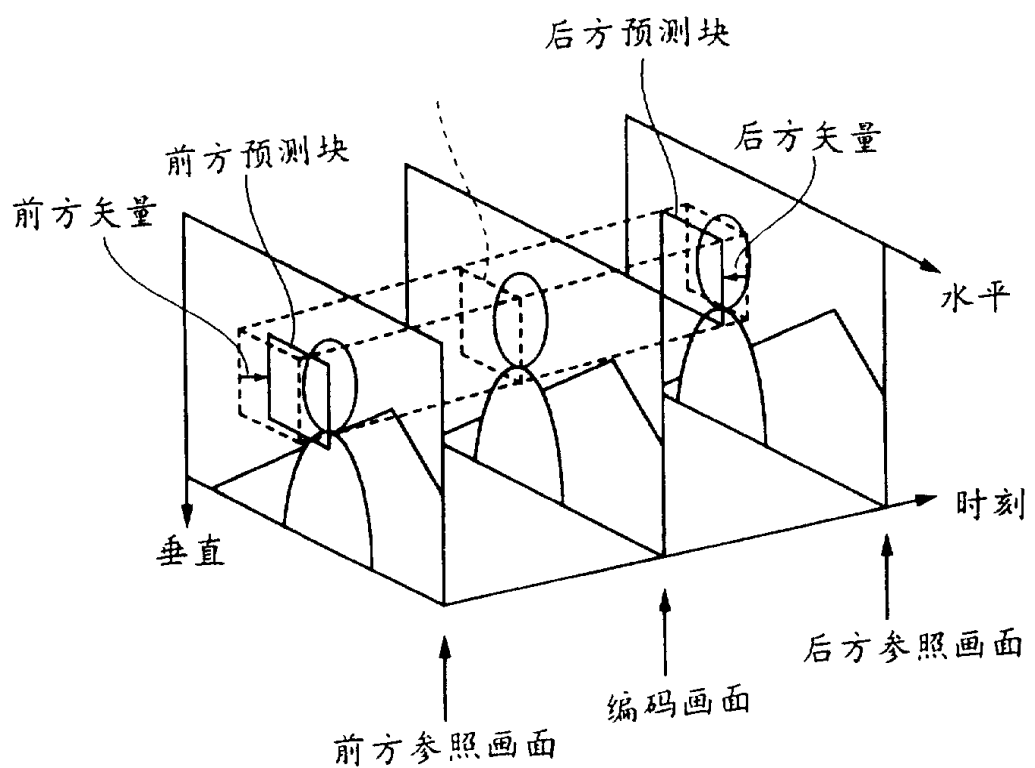


图 4

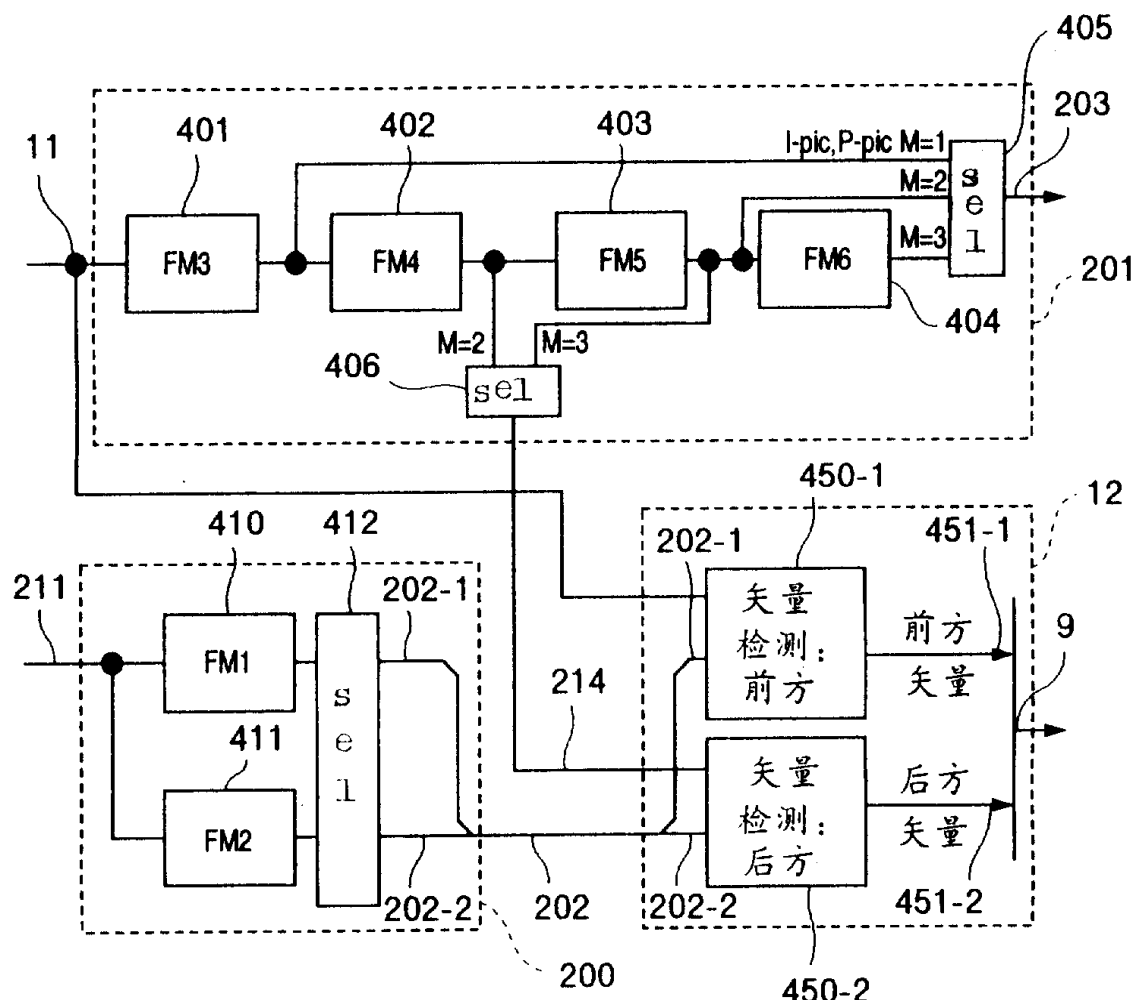


图 5

输入图像	0	1	2	3	4	5	6	7	8	9
输入 I1	1	2	3	4	5	6	7	8	9	
参照	0		3		6					
202-1										
输入 214	1	2		4	5					
参照	3			6						
202-2										
编码	0	3	1	2	6	4	5			
203										

图 6

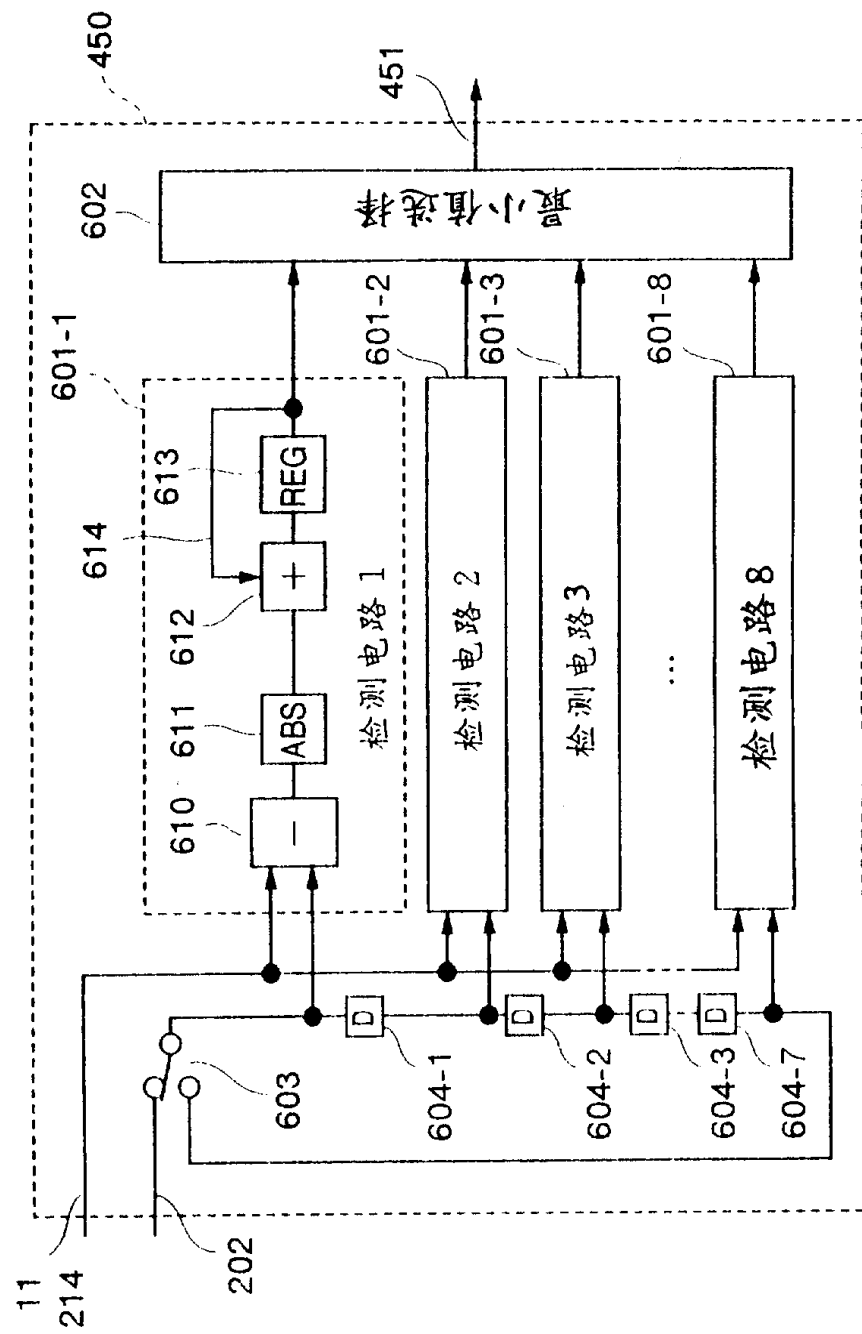


图 7

参照 11/214 R[i]	0	1	2	3	4	5	6	7	8	9	10	11	12	13	14	15	16	17
输入 202 F[i]	A	B	-	-	-	C	D											反复输入
检测电路 1 输入	0	1	2	3	4	5	6	7	8	9	10	11	12	13	14	15	16	17
检测电路 1 计算	+ +	F[i]-R[i]	+ + + +	F[i]-R[i+8]	+ +													
检测电路 2 输入	0	1	2	3	4	5	6	7	8	9	10	11	12	13	14	15	16	17
检测电路 2 计算	+ +	F[i]-R[i+1]	+ + + +	F[i]-R[i+9]	+ +													
检测电路 3 输入	0	1	2	3	4	5	6	7	8	9	10	11	12	13	14	15	16	17
检测电路 3 计算	+ +	F[i]-R[i+2]	+ + + +	F[i]-R[i+10]	+ +													
			0	1	2	3	4	5	6	7	8	9	10	11	12			
检测电路 8 计算			+ +	F[i]-R[i+7]	+ +													
最小值选择电路输入			+0	+1	+2	+3	+4	+	+6	+7	+8	+9	+10	-	+12			

0	1	2	3	4	5
6	7	8	9	10	11
12	13	14	15	16	17

A	B																	
C	D																	

参照画面

编码画面

图 8

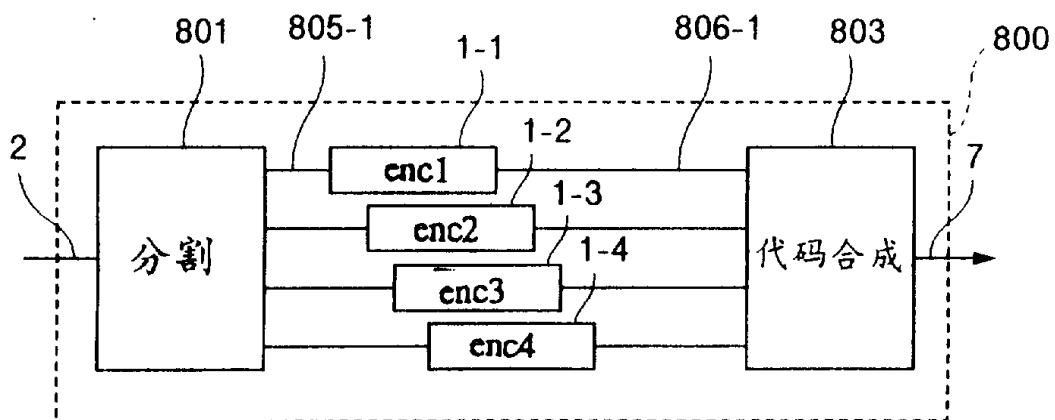


图 9

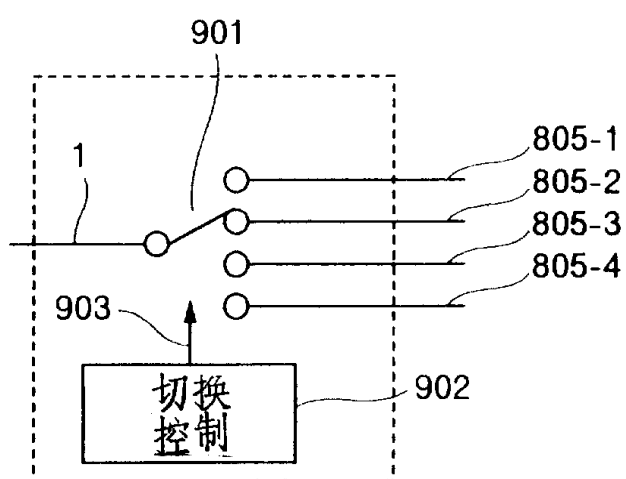


图 10

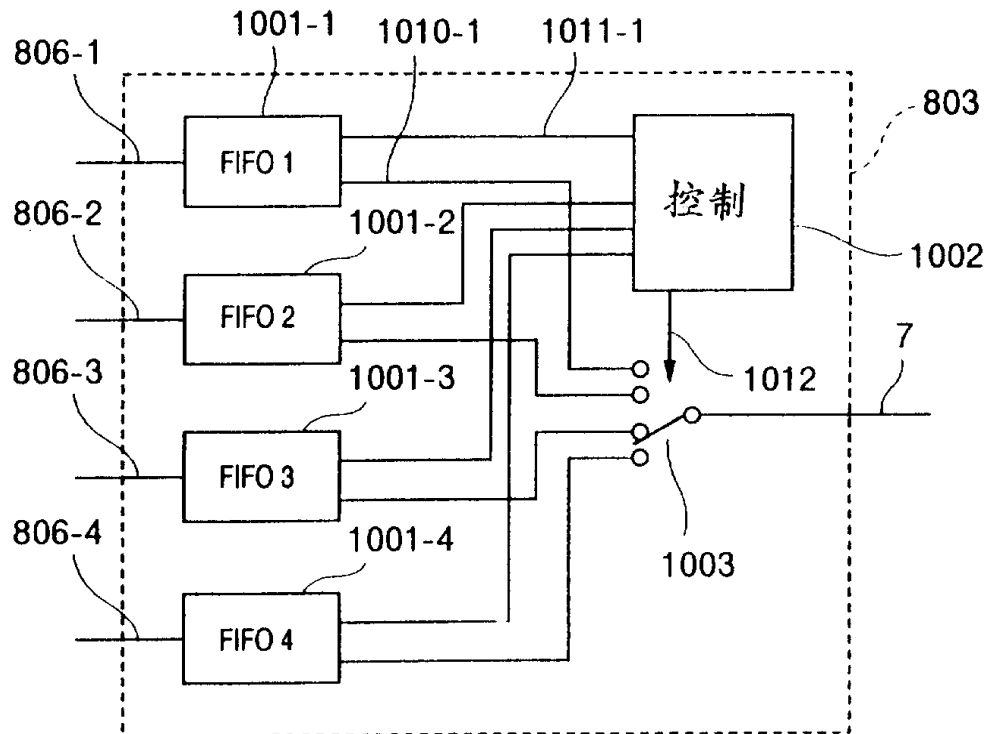


图 11

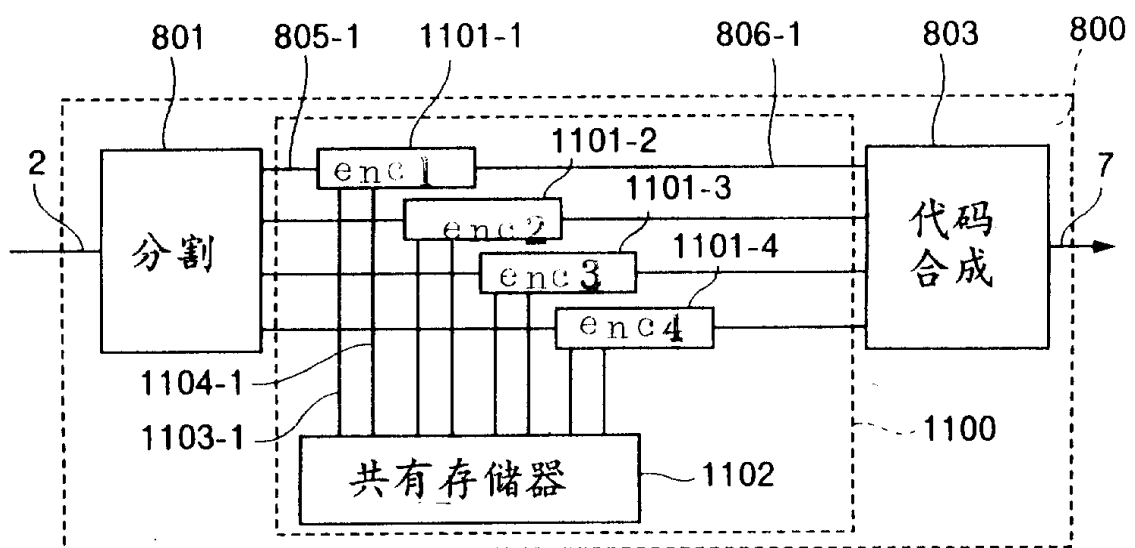


图 12

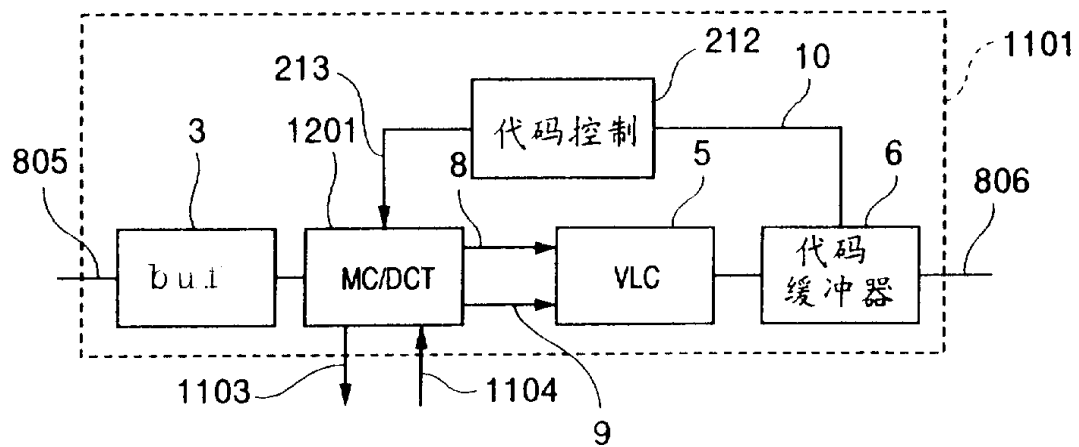


图 13

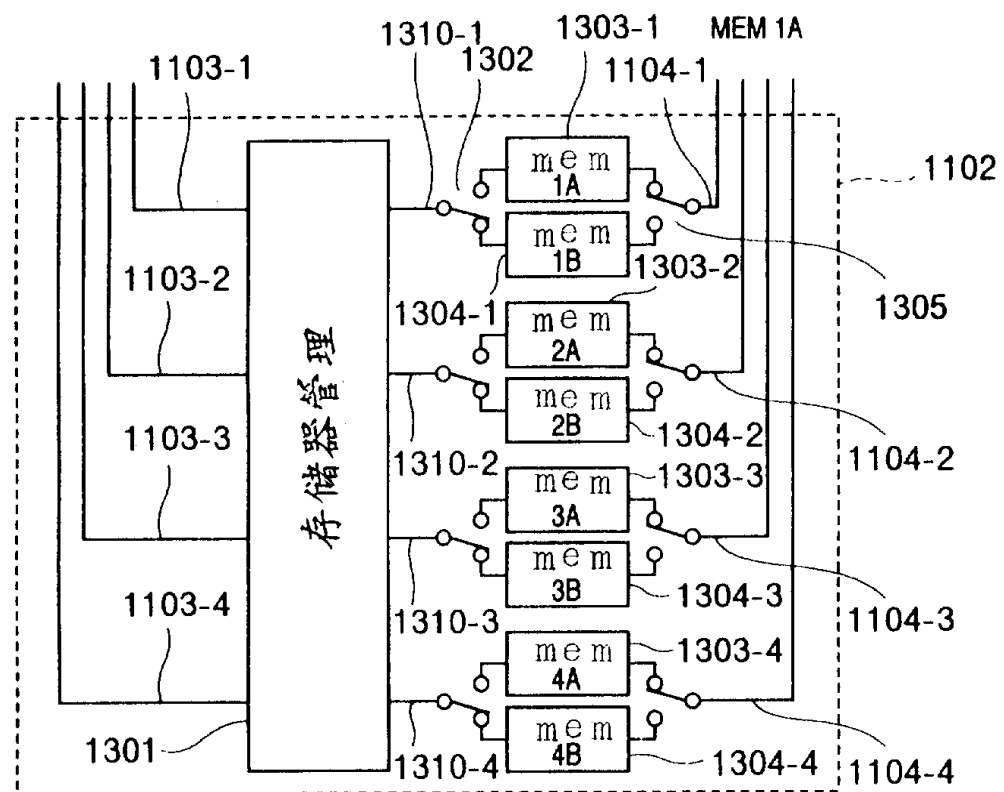


图 14

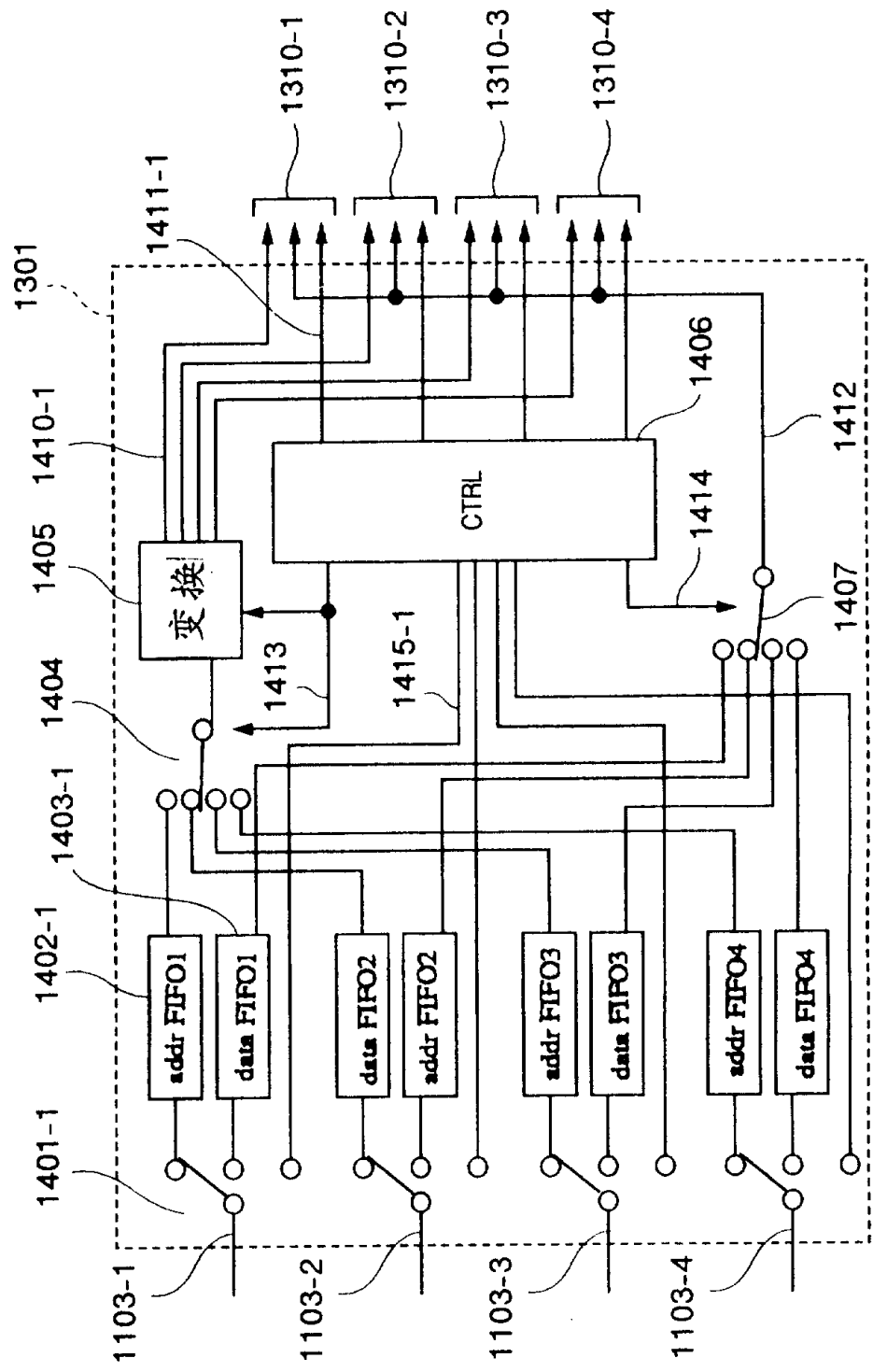


图 15A

水平分割 扫描线序号 画面	
0	1919
256	区域 1
512	区域 2
768	区域 3
1023	区域 4

1 — C — 1

图 15B

水平垂直分割 扫描线序号 画面	
0	1919
511	区域 1 (960X512)
512	区域 2 (960X128)
640	区域 3 (128X512)
768	区域 4 (128X128)
1023	

图 16

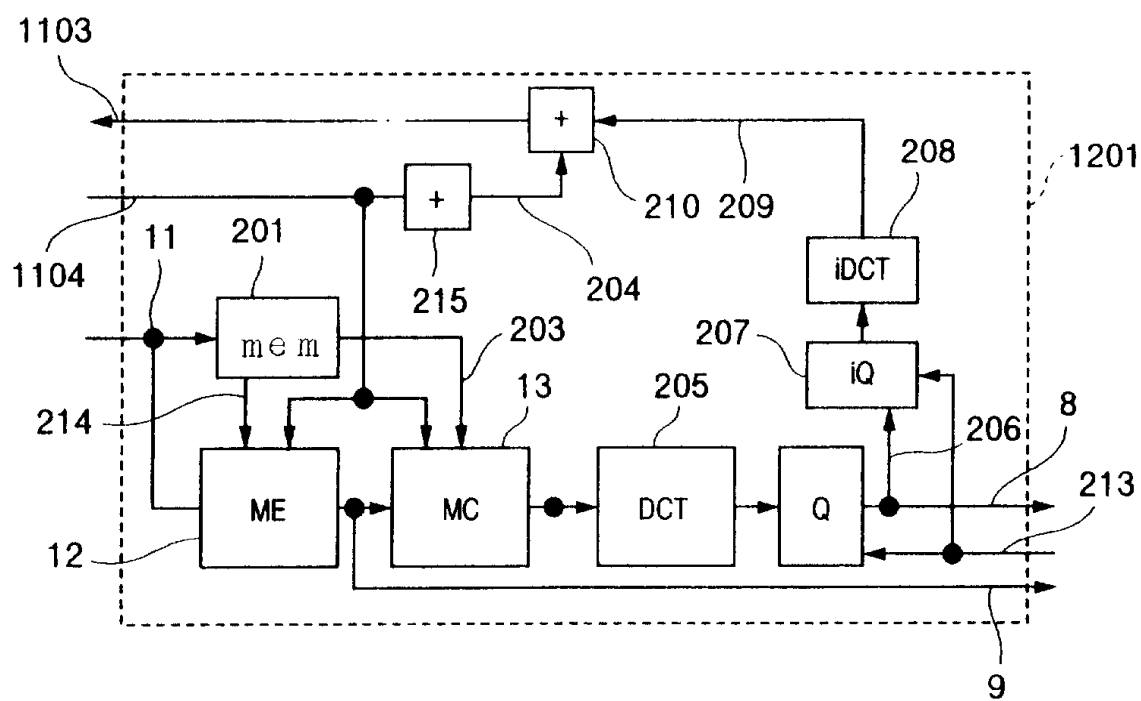


图 17

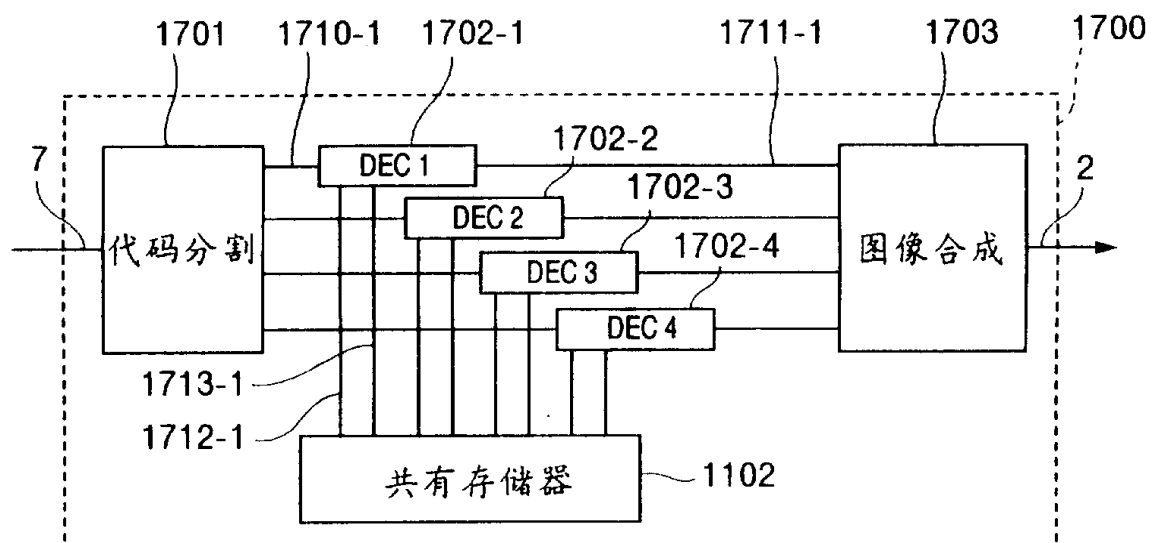


图 18

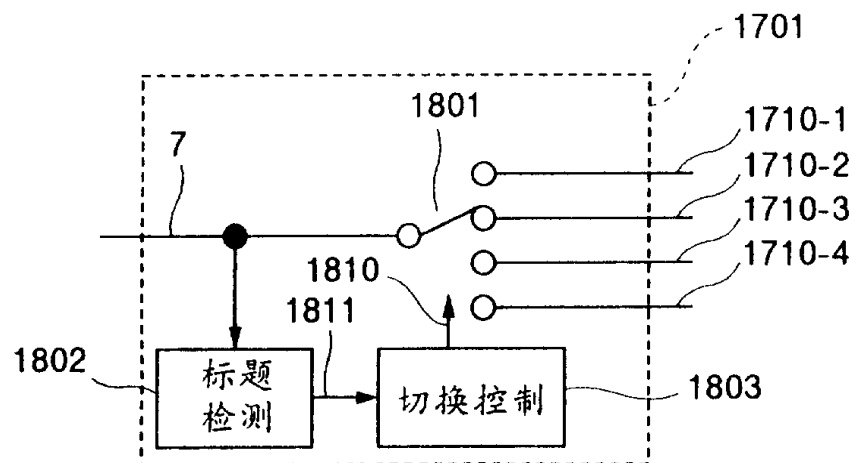


图 19

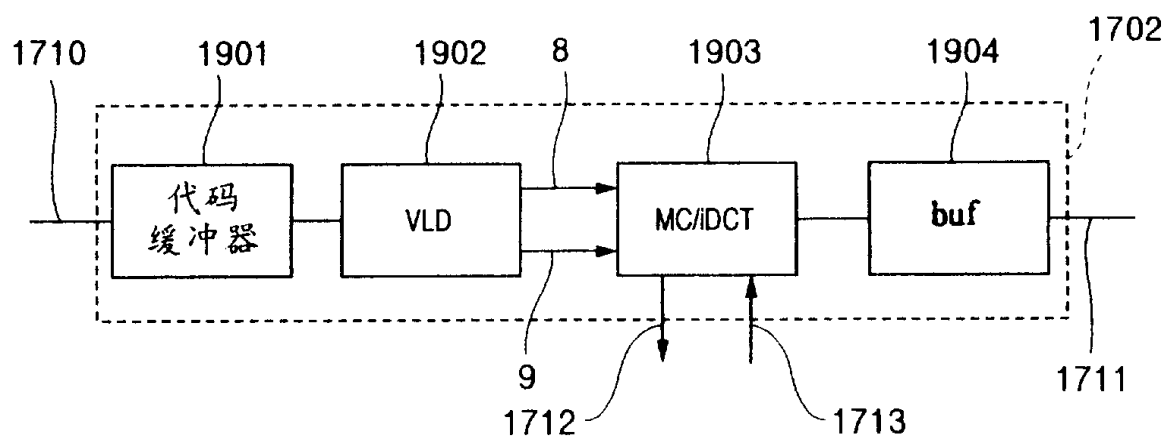


图 20

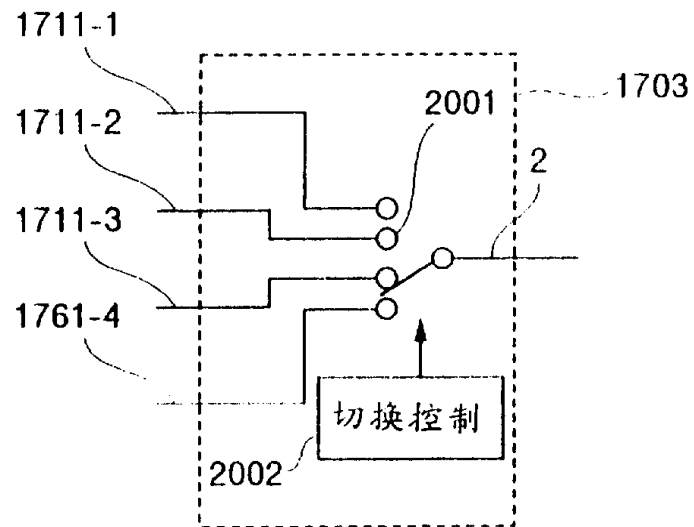


图 21

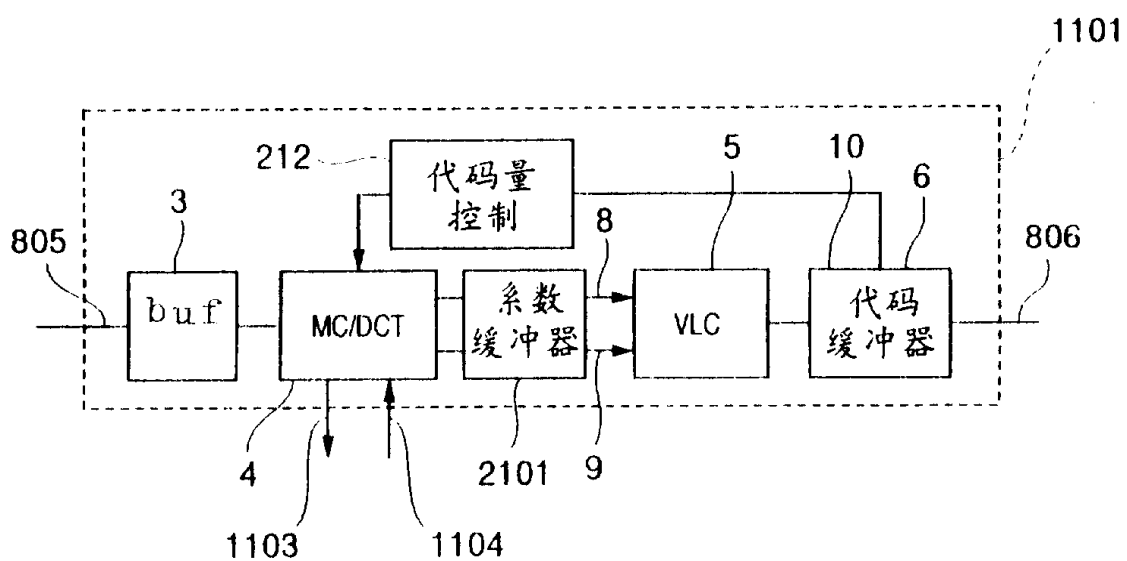


图 22

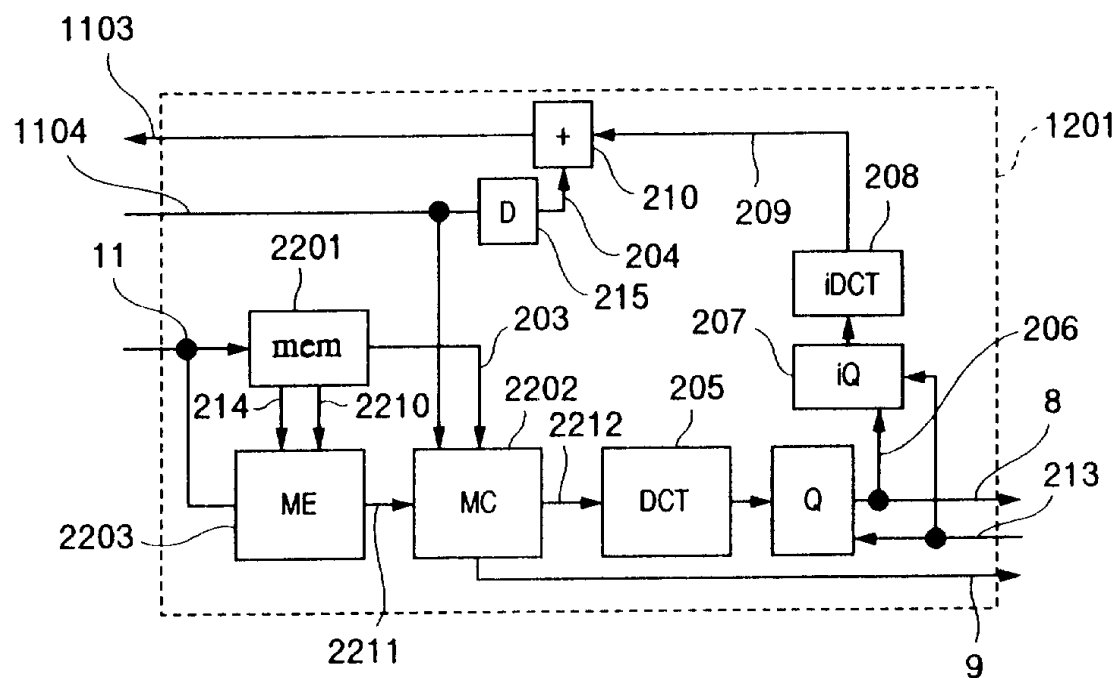


图 23

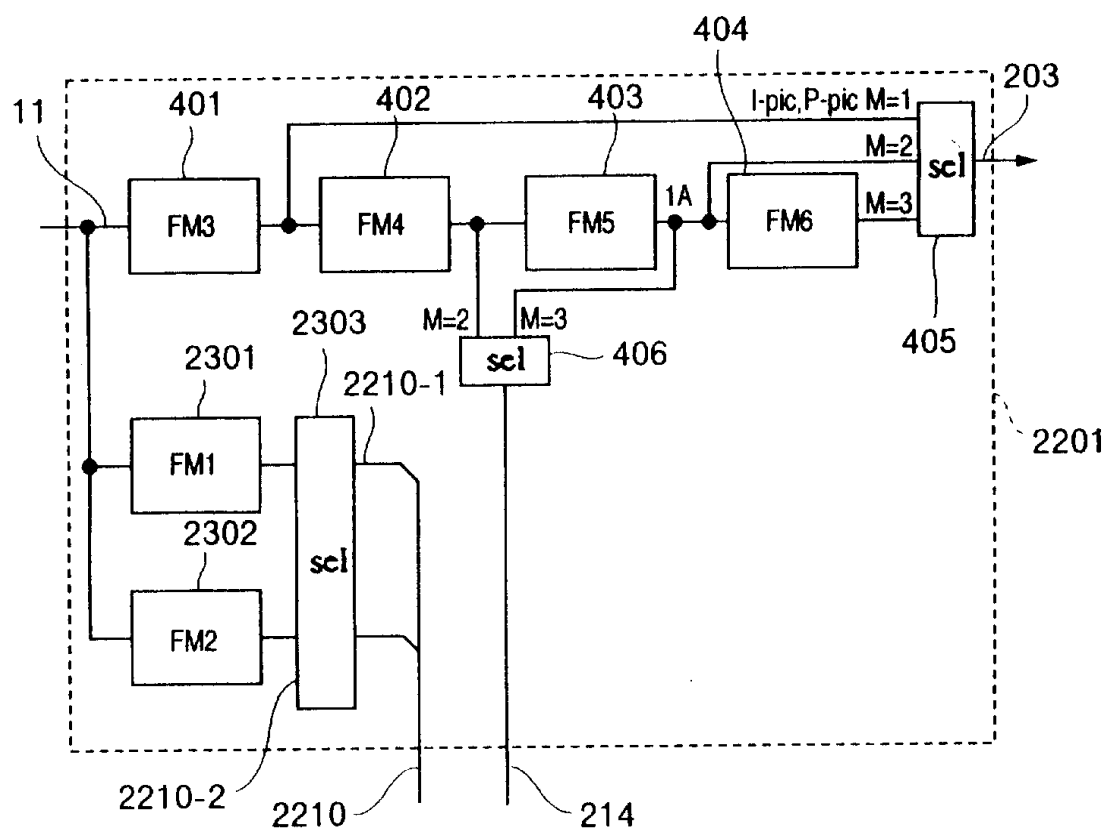


图 24

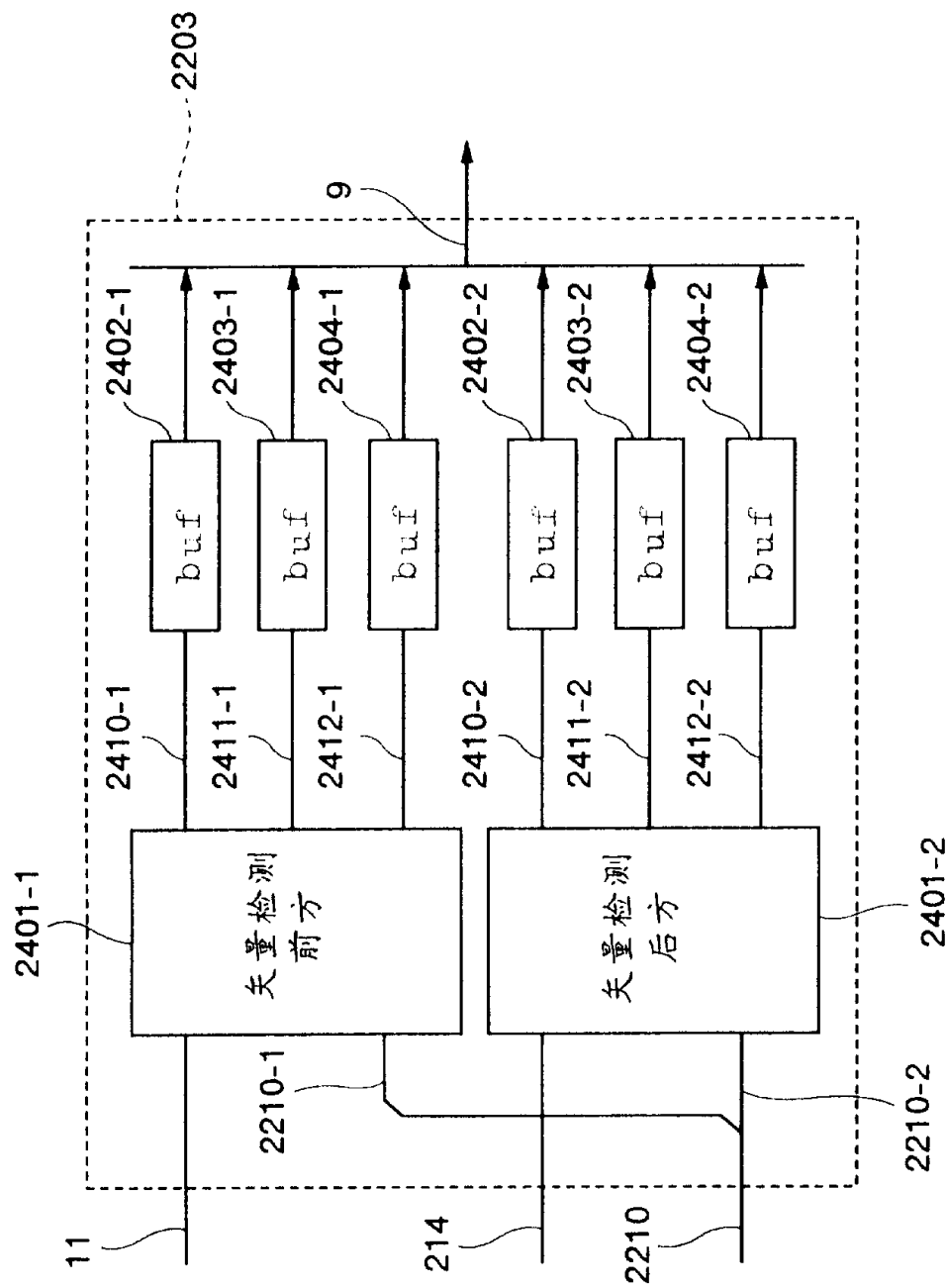


图 25

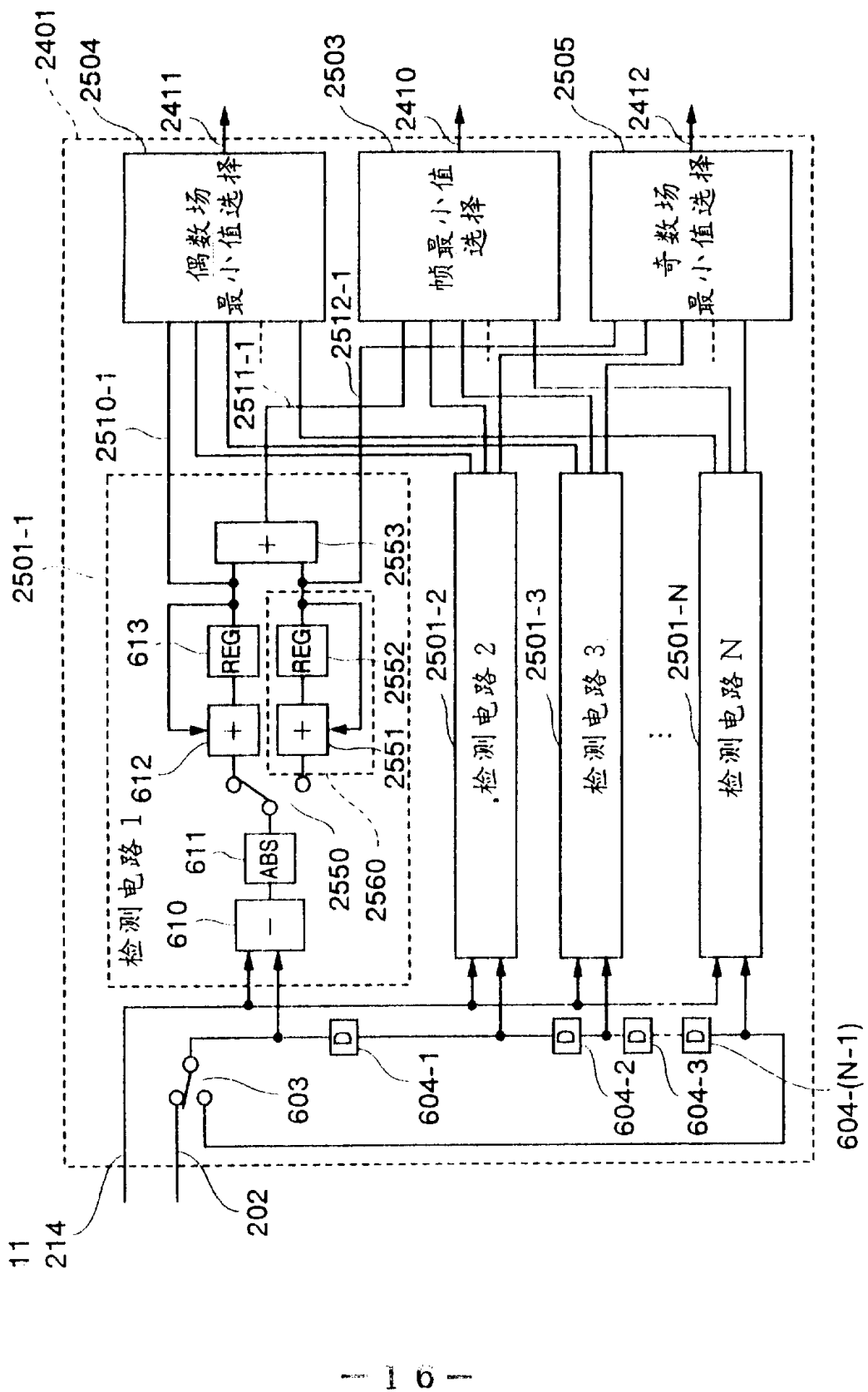


图 26A

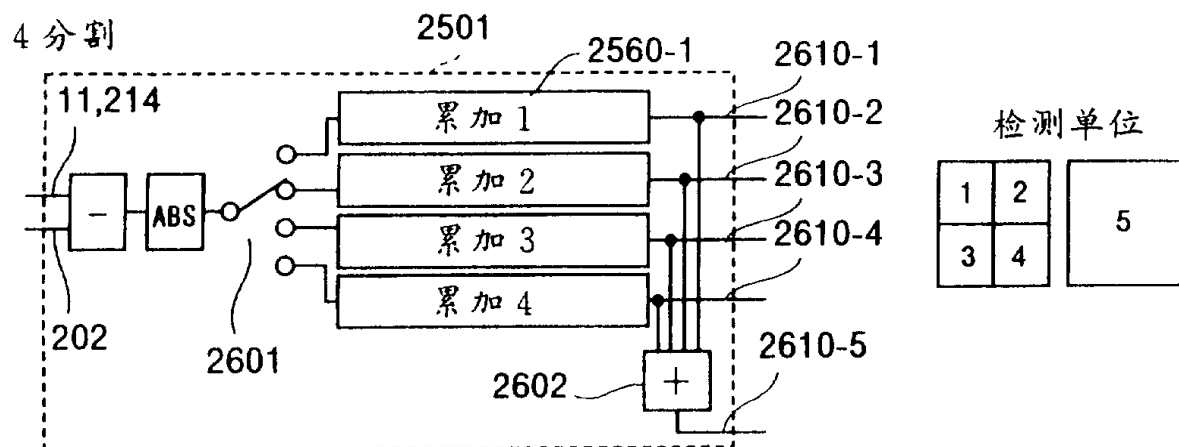


图 26B

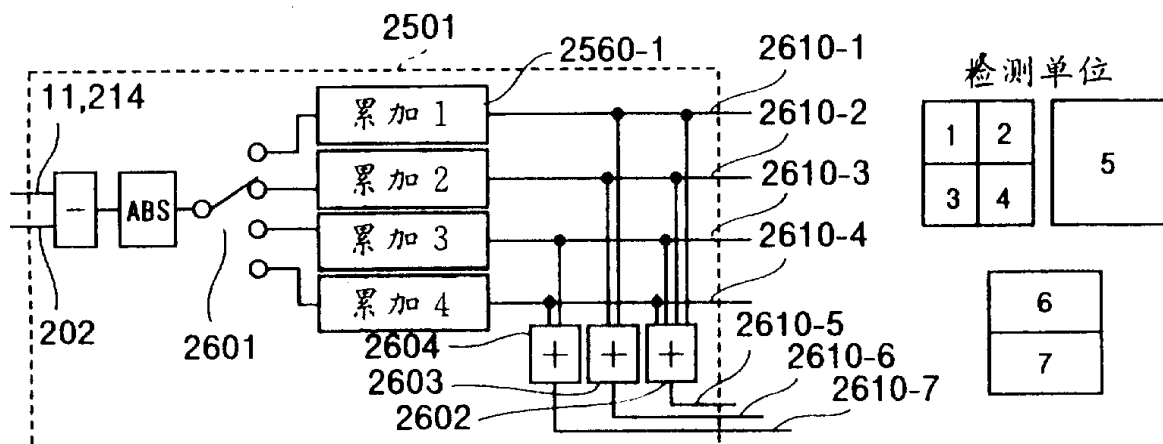


图 26C

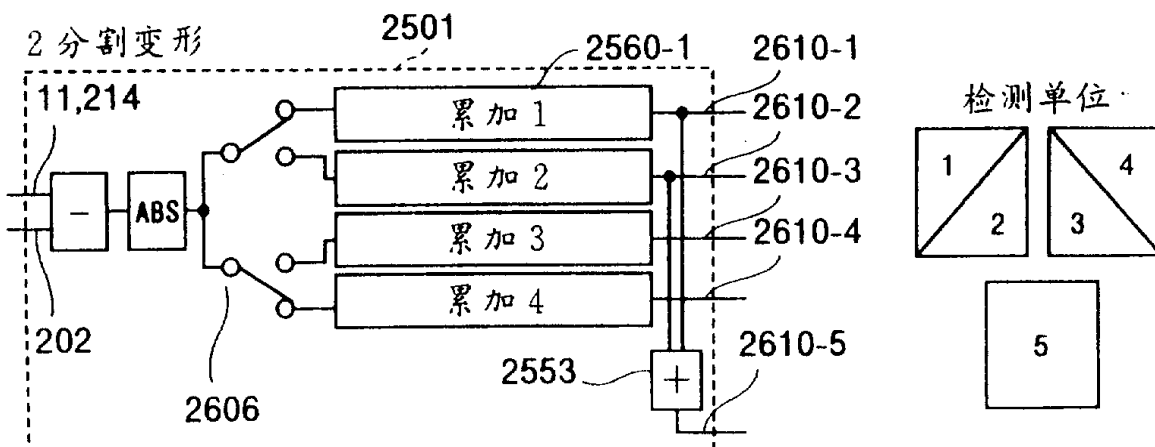


图 27

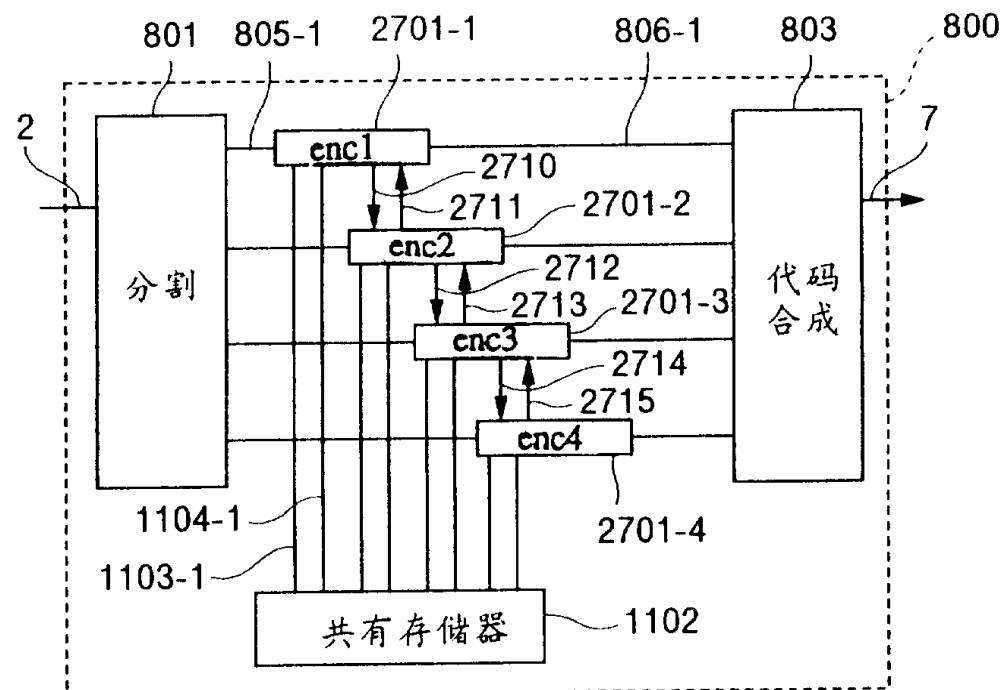


图 28

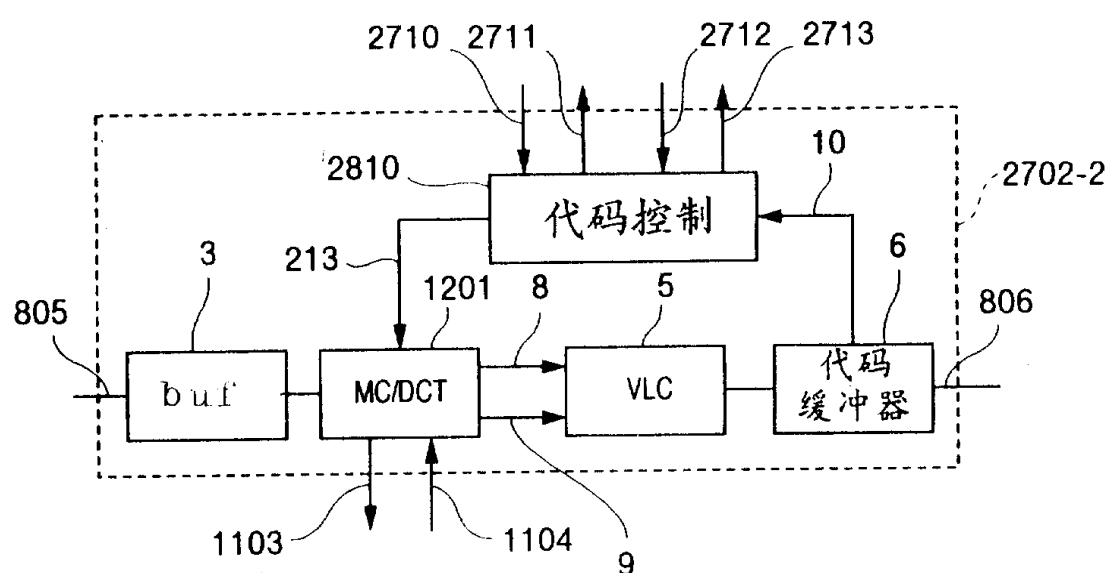


图 29

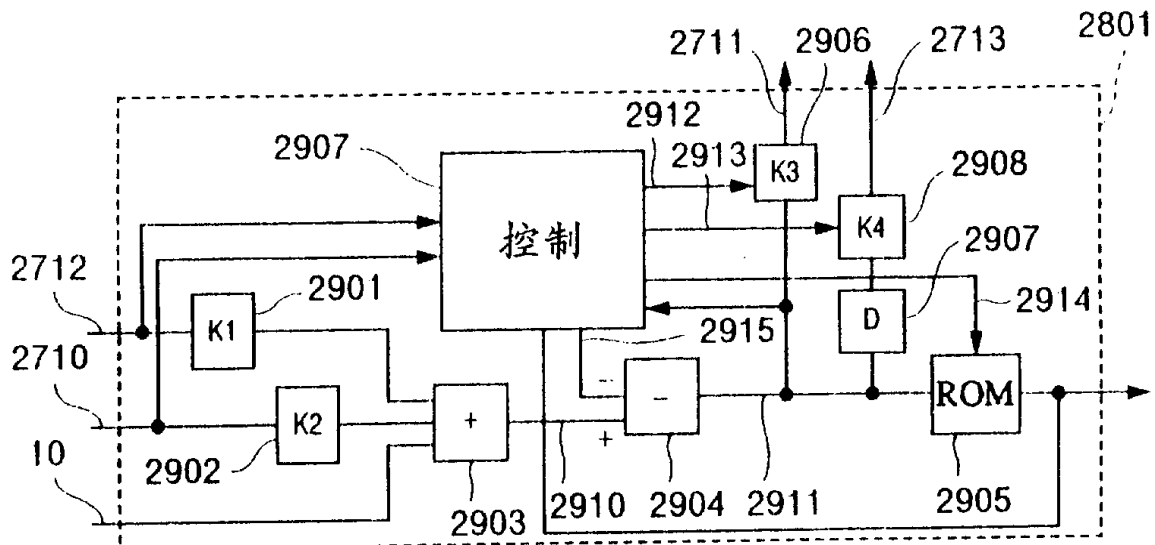


图 30

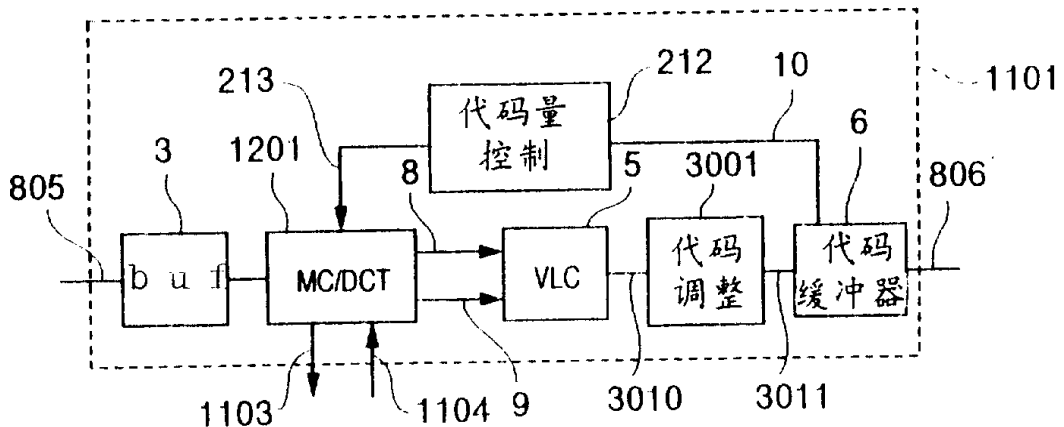


图 31

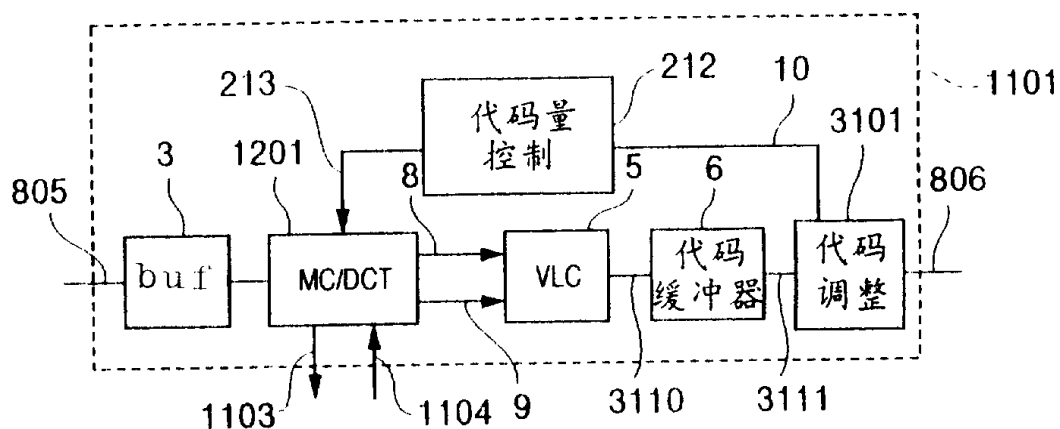
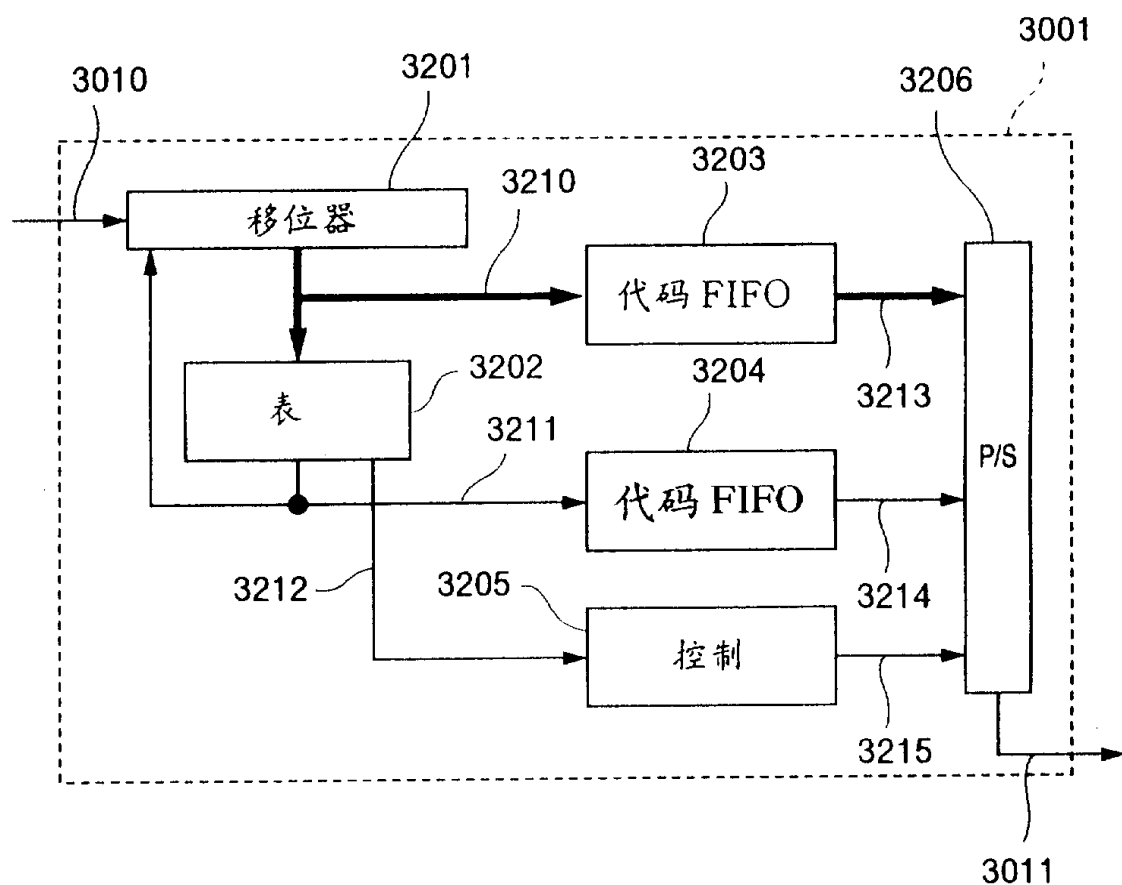


图 32



33

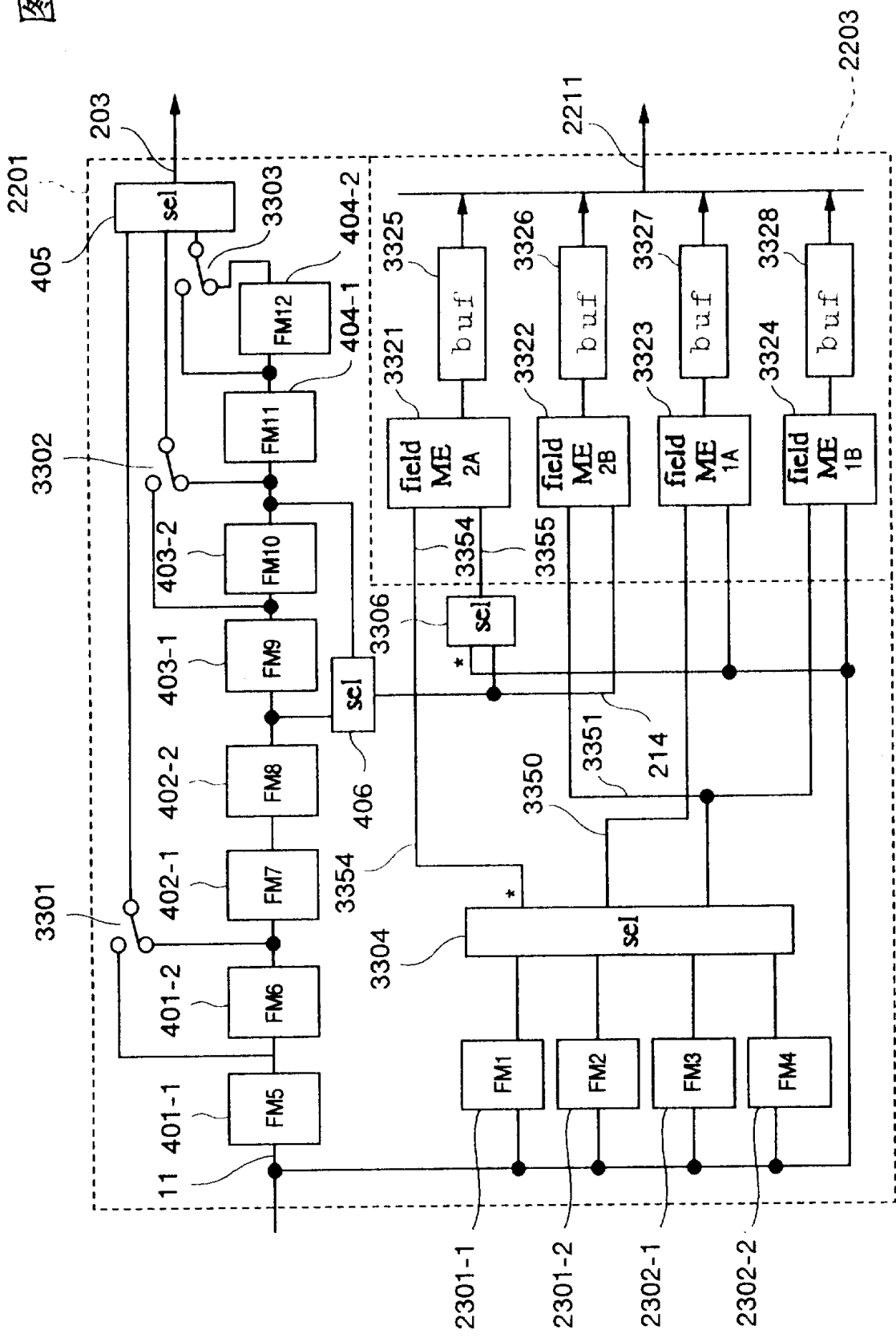



图 34

ME1 A/B 输入 11	1A	2B	3A	3B	4A	4B	5A	5B	6A	6B	7A	7B	8A	8B	9A	9B			
ME1A 参照 3350					4A	4B	5A	5B	6A	6B	7A	7B	8A	8B	9A	9B			
ME1B 参照 3351					3A										6A				
ME2A 参照 3354															3B				
ME2A 参照 3355															6B				
ME2B 输入 214															3B *	1A	1B	2A	2B
ME2B 参照 3351															3A				
编码 203															6B *	4A	4B	5A	5B

203

图 35

3506-1

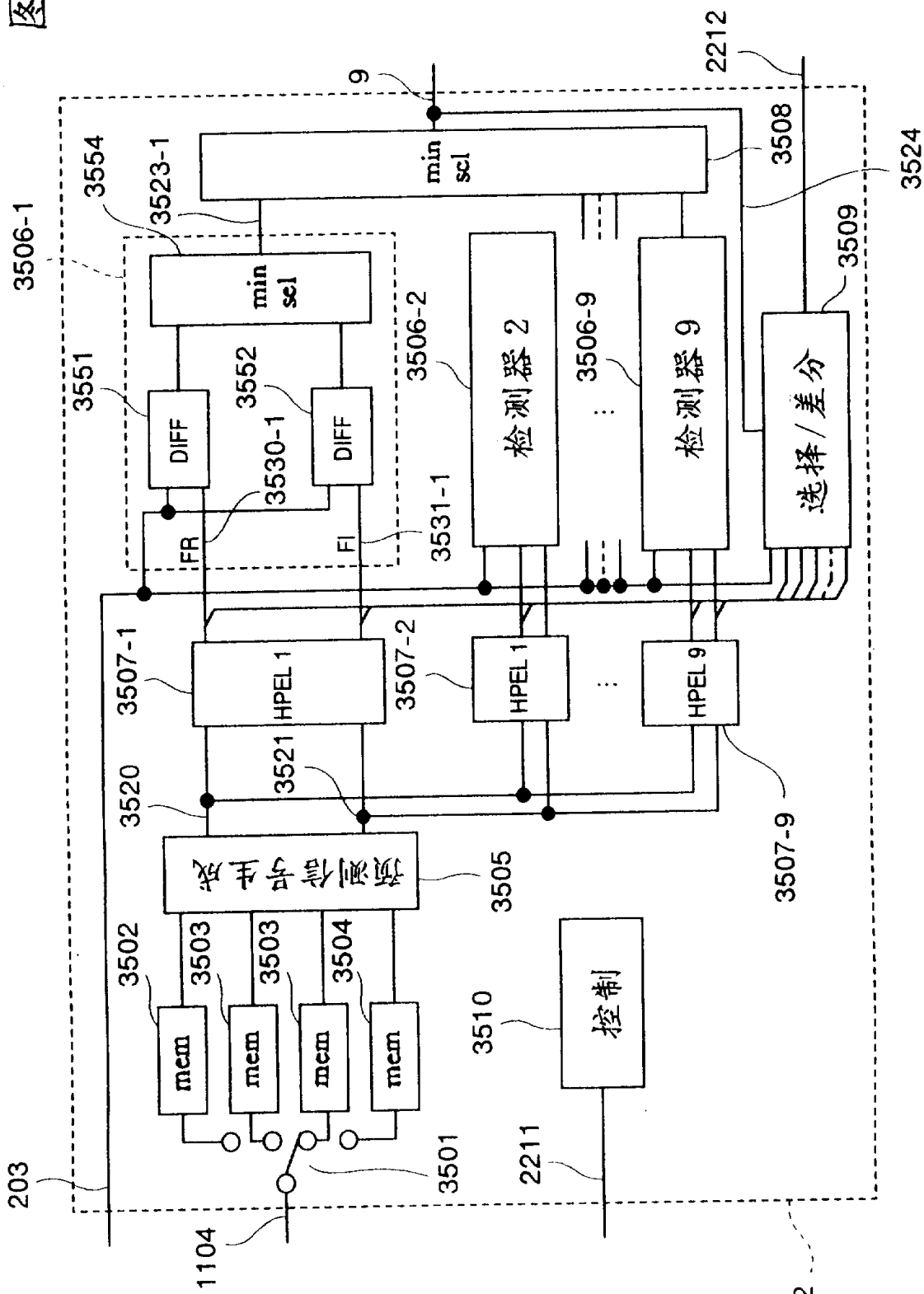
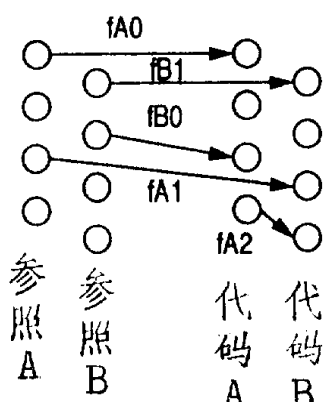


图 36A

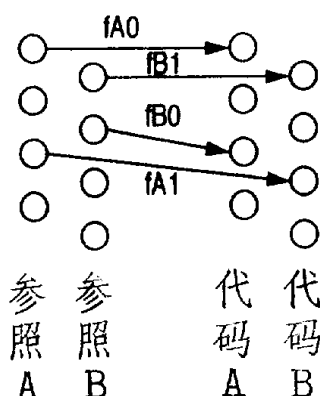
P 图像(场)



存储器名	存储信号	
	代码A时	代码B时
mem3502	R(A,fA0)	-
mem3503	R(B,fB0)	-
mem3504	-	R(B,fB1)
mem3505	-	R(A,fA2)

图 36B

B 图像前方/P 图像(帧)

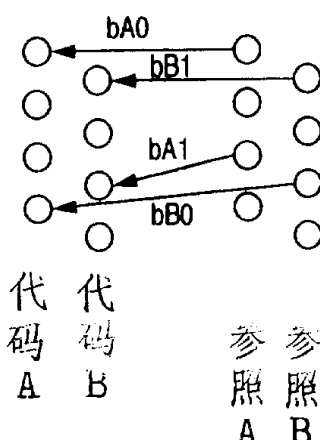


存储器名	存储信号
mem3502	R(A,fA0)
mem3503	R(B,fA0)orR(A,fB1)
mem3504	R(B,fB1)
mem3505	R(B,fB0)

预测信号
R(A,fA0) : R(B,fA0)
R(A,fB1) : R(B,fB1)
R(B,fB0) : R(B,fB1)

图 36C

B 图像后方



存储器名	存储信号
mem3502	R(A,bA0)
mem3503	R(B,bA0)orR(A,bB1)
mem3504	R(B,bB1)
mem3505	R(A,bA1)

预测信号
R(A,bA0) : R(B,bA0)
R(A,bB1) : R(B,bB1)
R(A,bA0) : R(A,bA1)

图 37

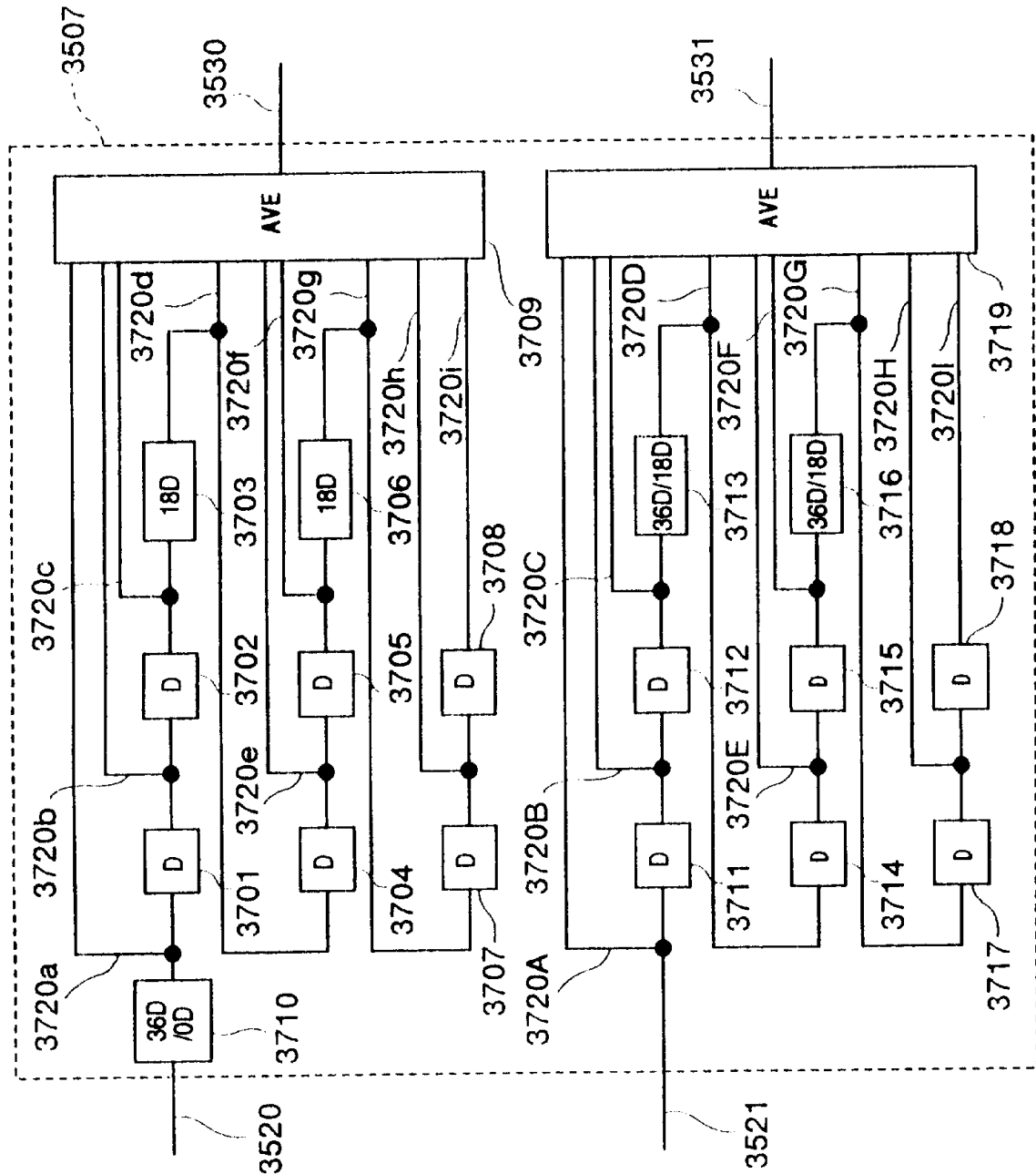


图 38

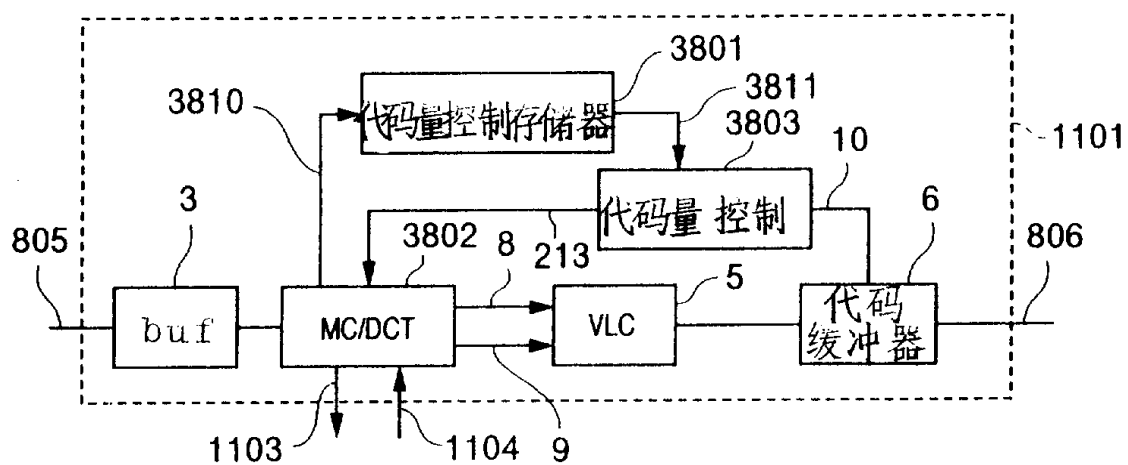


图 39

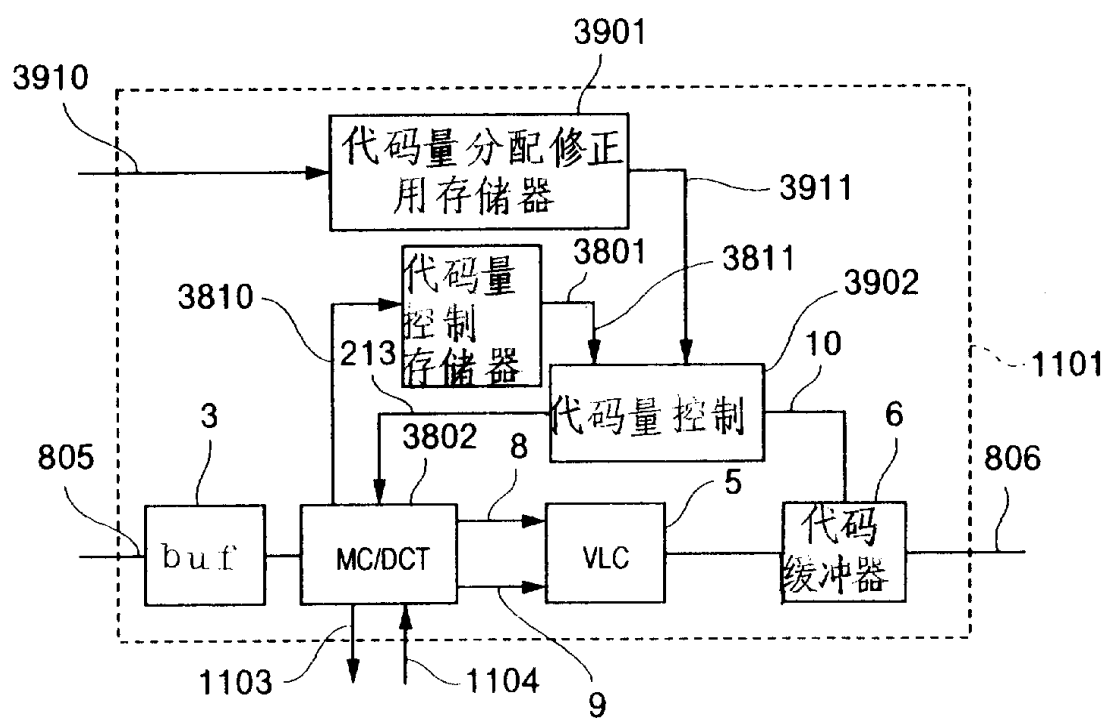


图 40

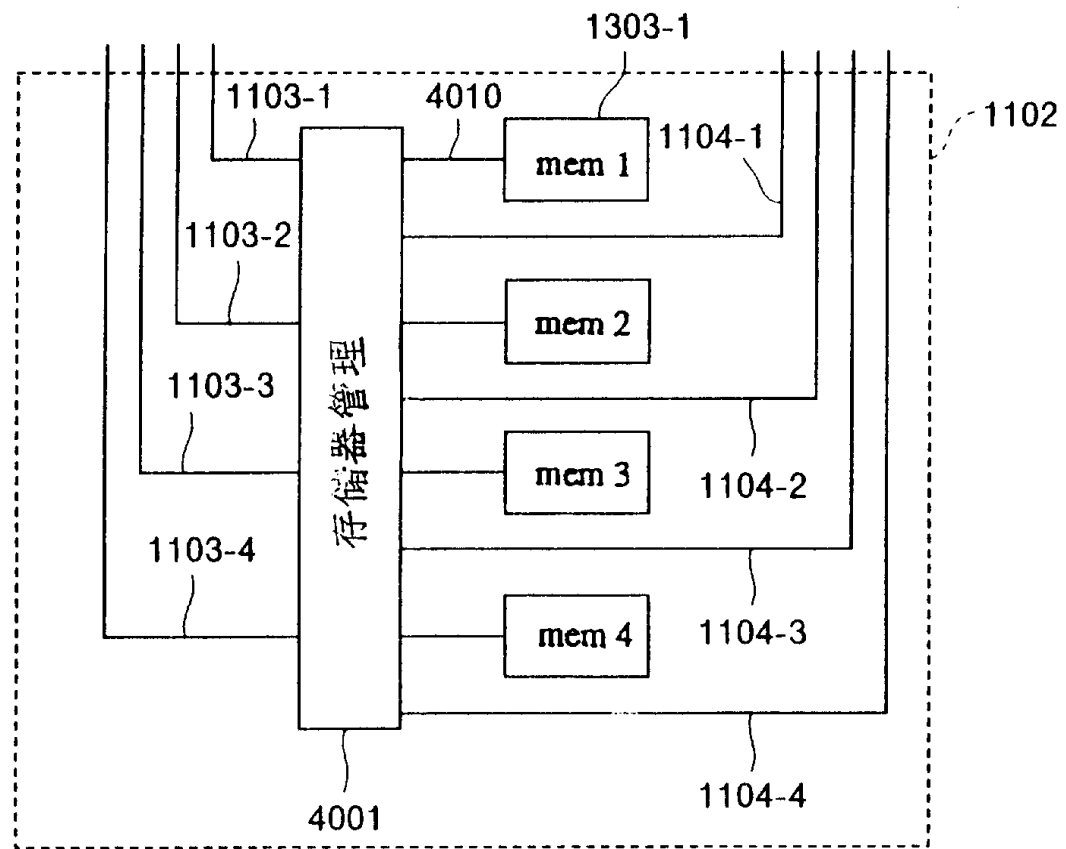


图 41

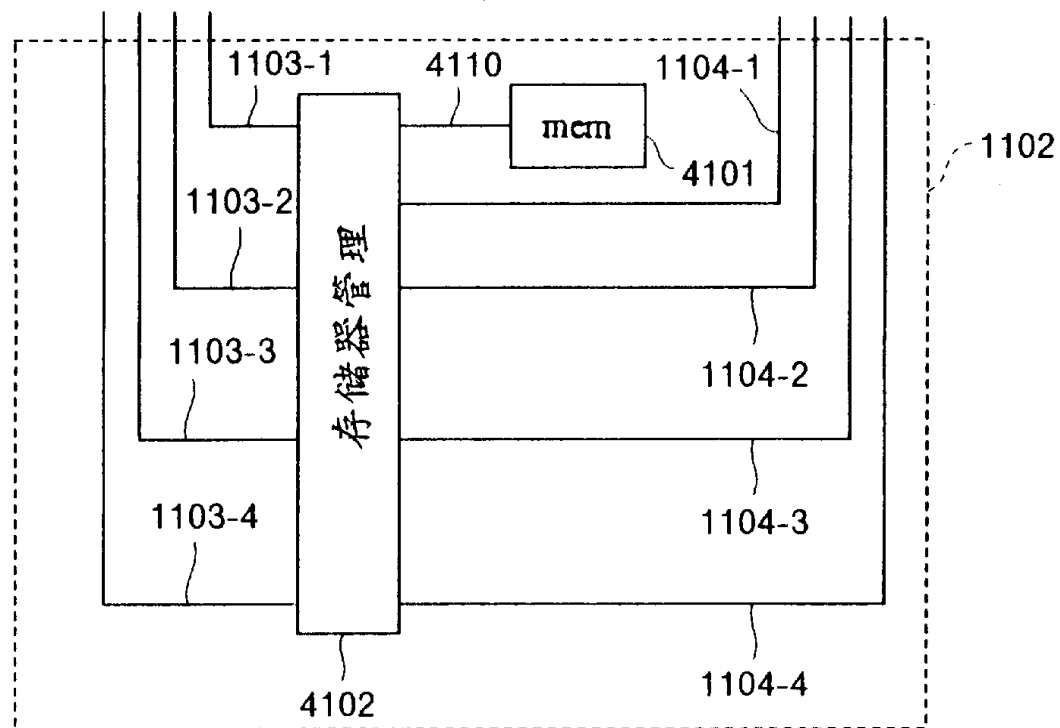
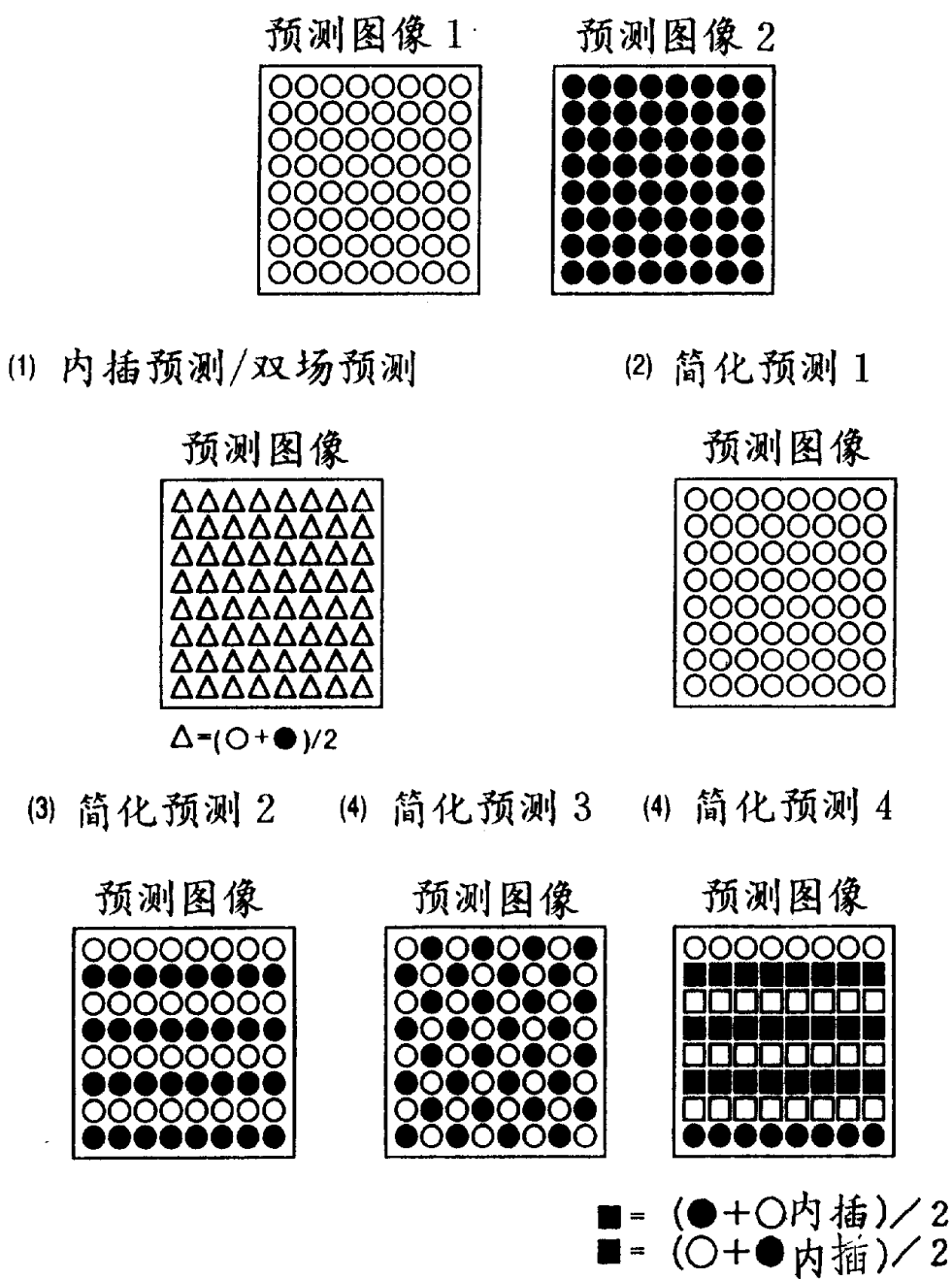


图 42



$$\blacksquare = (\text{●} + \text{○内插})/2$$
$$\blacksquare = (\text{○} + \text{●内插})/2$$

图 43

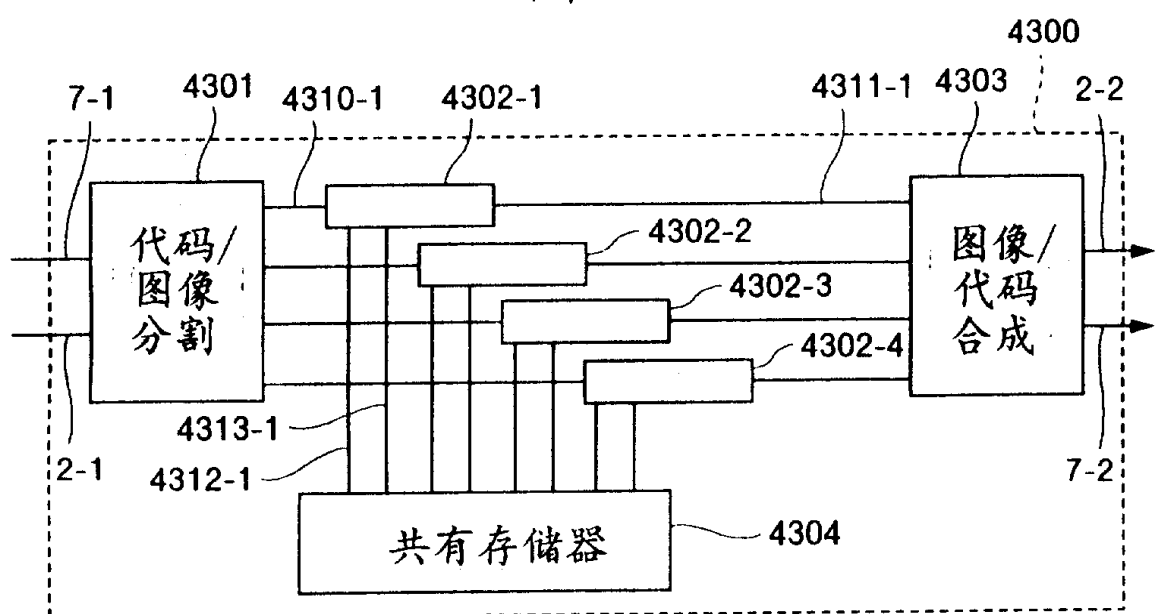


图 44

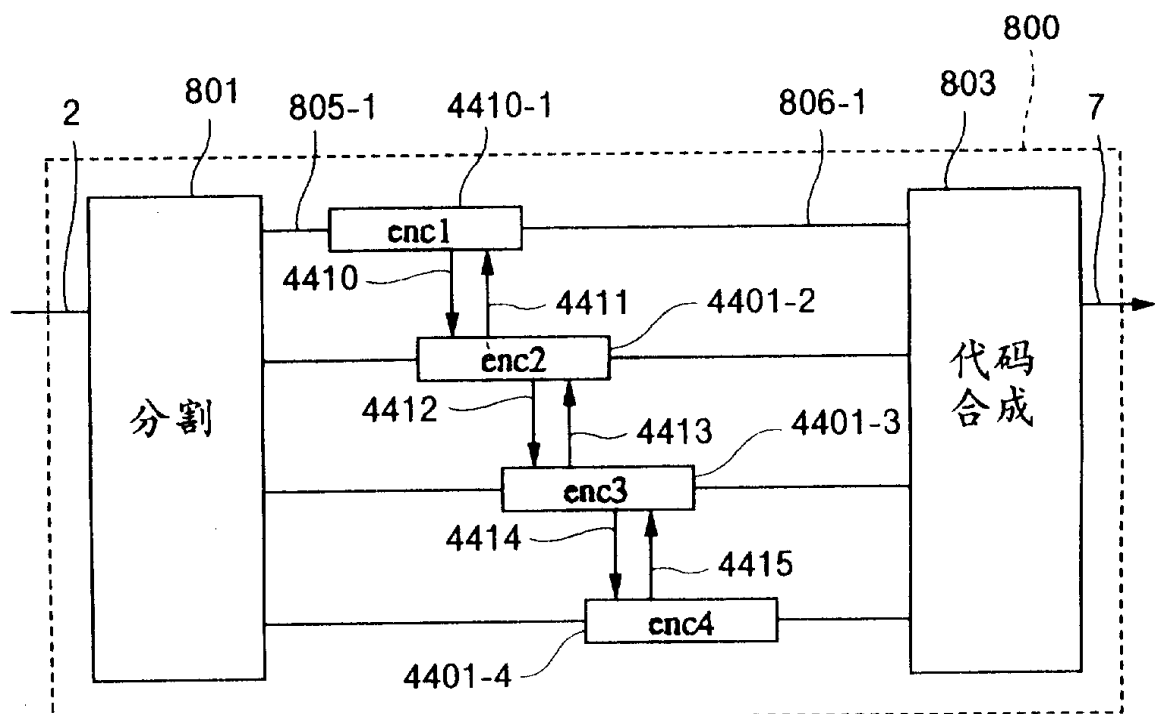


图 45

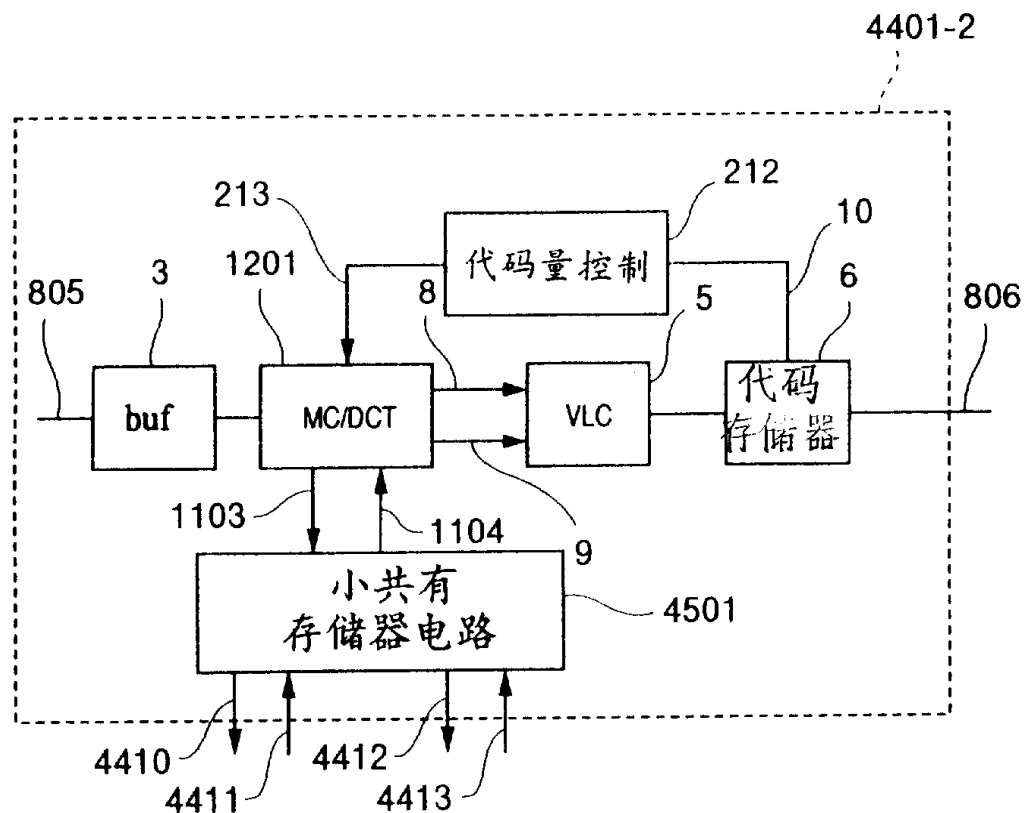


图 46

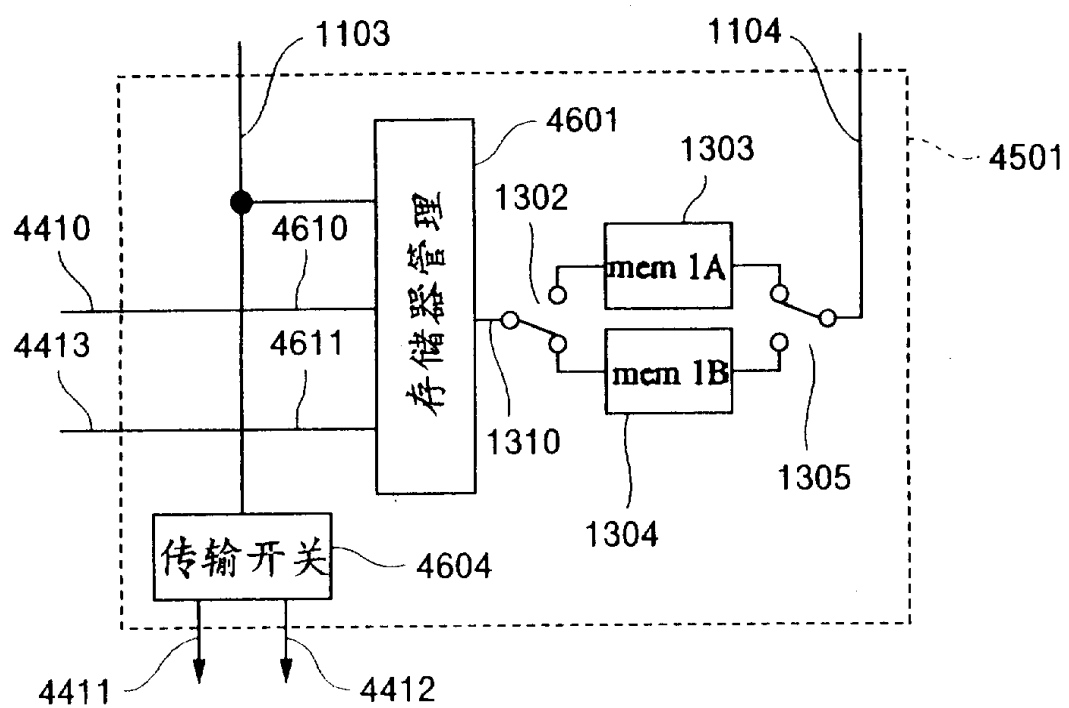


图 47

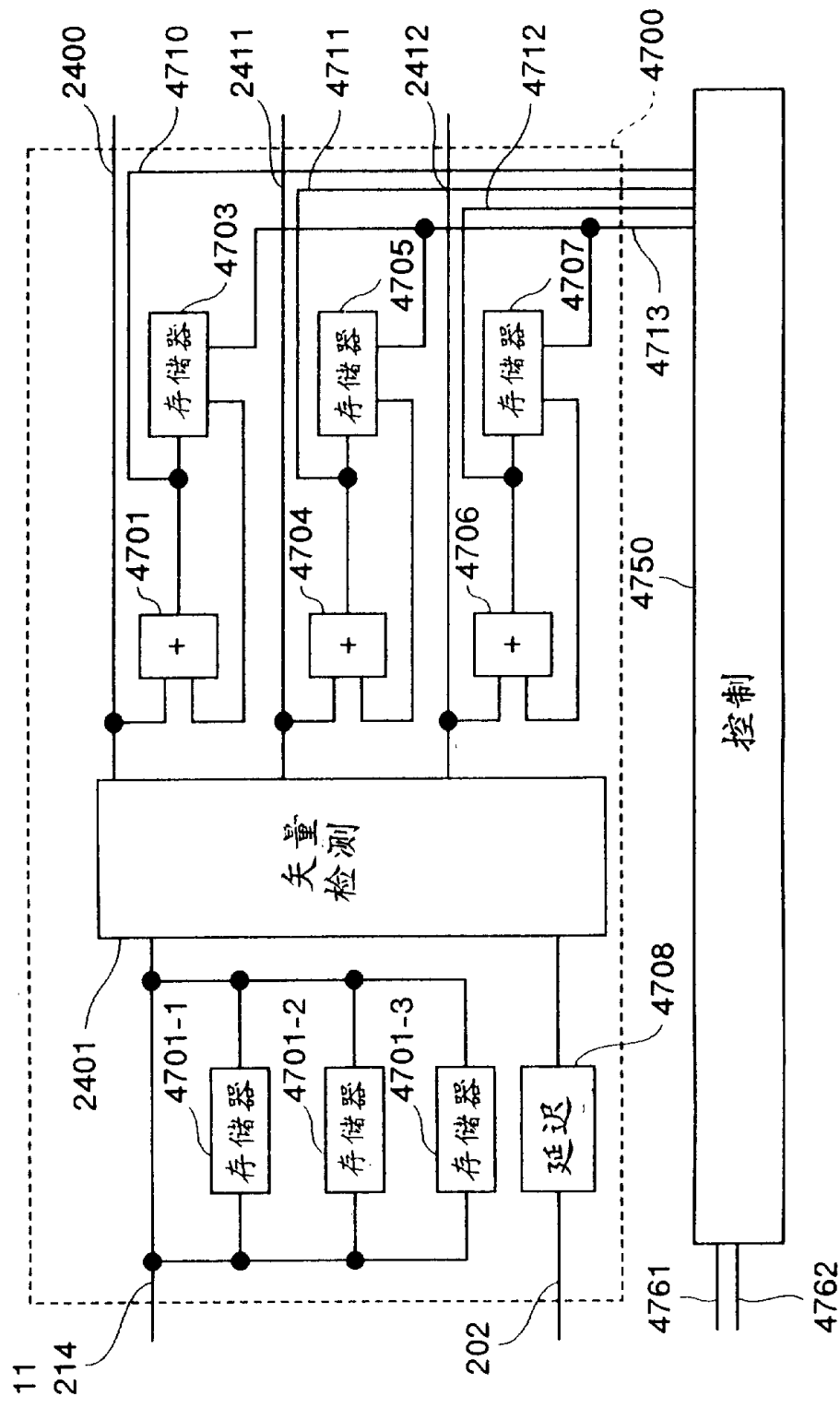


图 48A

通常(同一偏移值)

代码图像	1	2	3	4	5	6	7	
参照图像	1A	2A	3A	4A	5A	6A	7A	
	1B	2B	3B	4B	5B	6B	7B	
	1C	2C	3C	4C	5C	6C	7C	

图 48B

其他偏移值例(MB 单位)

代码图像	1	2	3					
参照图像	1A	2A	1A'	2A'	3A	2A''	3A'	4A
	1B	2B	1B'	2B'	3B	2B''	3B'	4B
	1C	2C	1C''	2C''	3C	2C''	3C'	4C
						3A''		
						3B''		
						3C''		

图 48C

其他偏移值例(4MB 单位)

代码图像	1	2	3	4		5	6	7	
参照图像	1A	2A	3A	4A	5A	4A'	5A'	6A	7A
	1B	2B	3B	4B	5B	4B'	5B'	6B	7B
	1C	2C	3C	4C	5C	4C''	5C''	6C	7C